



دانشکده مهندسی هوافضا

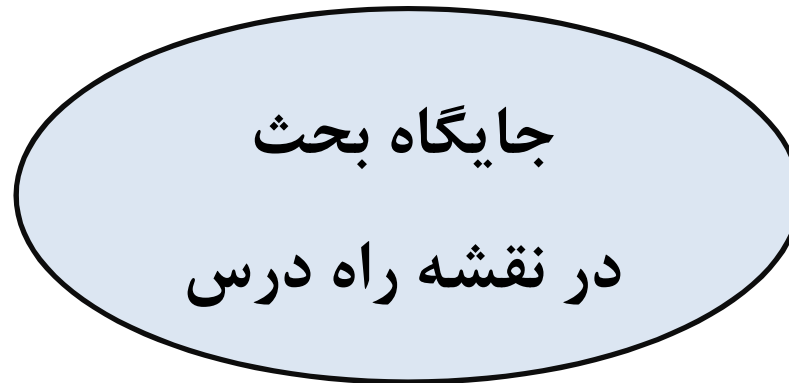
دینامیک پرواز ۲

Flight Dynamics 2

فصل ۲

مدل سازی نیروها و گشتاورهای آیرودینامیکی

مدل سازی نیروها و گشتاورهای آیرودینامیکی

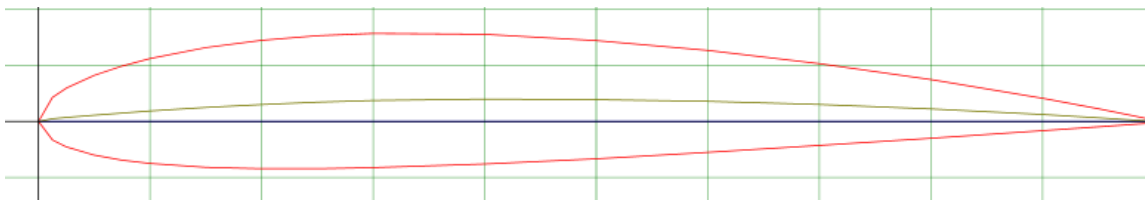
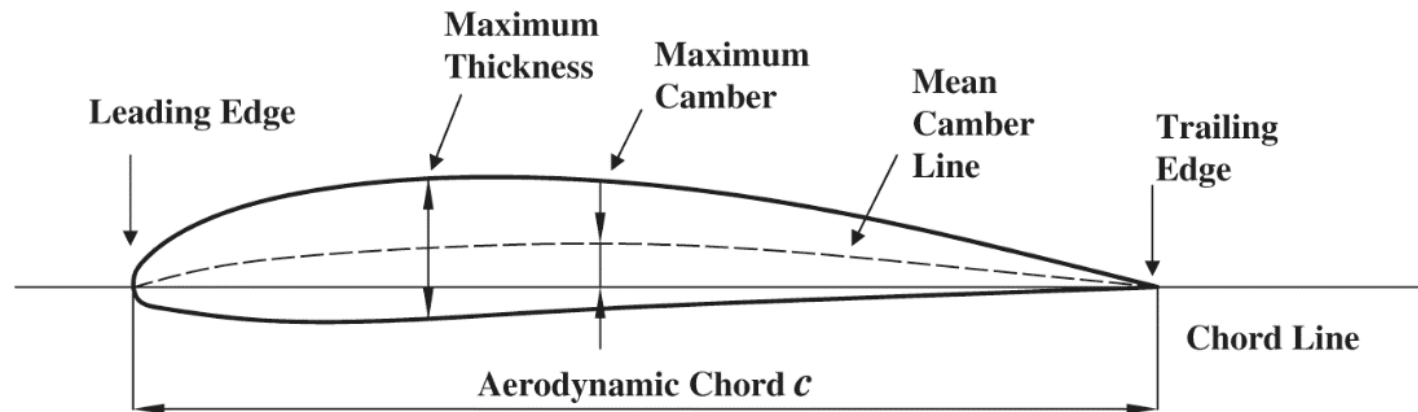
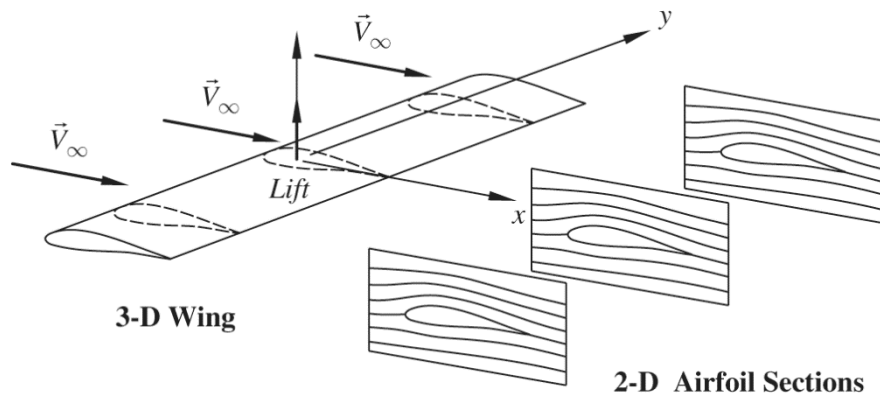


- ❖ Aircraft Equations of Motion
- ❖ Modeling of Aerodynamic and Thrust Forces and Moments
- ❖ Aircraft Stability and Design for Trim Conditions
- ❖ Aircraft Stability and Control for Perturbed-State Flight
- ❖ Supplementary Topics

• مروری بر مشخصات کلیدی آیرودینامیکی مقاطع بال

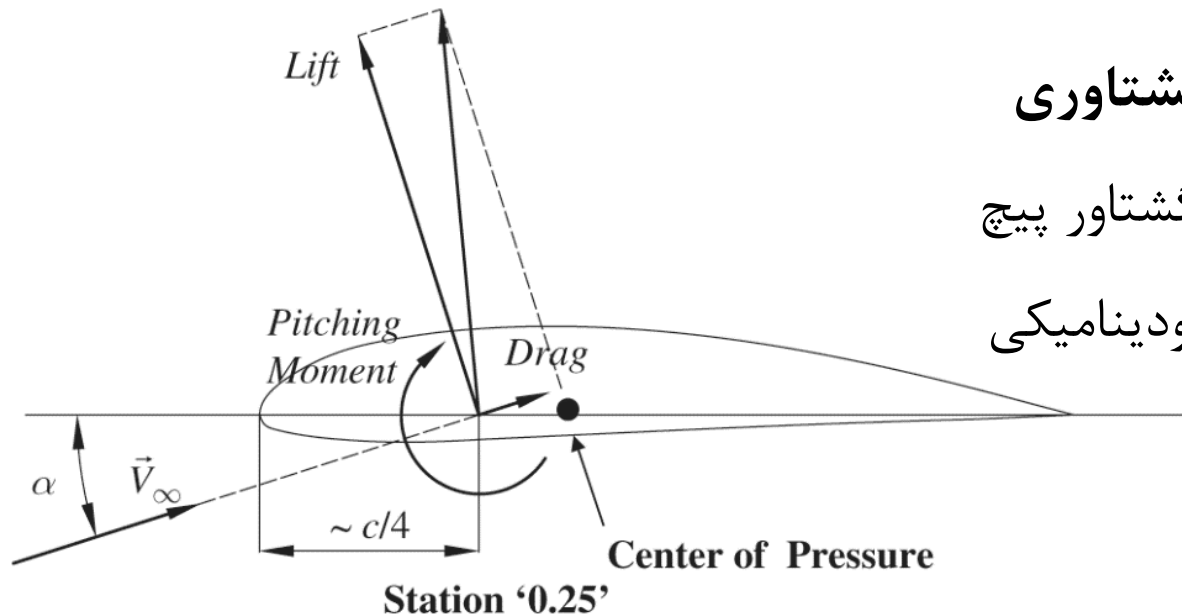
✓ مشخصه‌های هندسی کلیدی:

- انحنای (شکل خط میانی)
- حداکثر نسبت ضخامت به وتر
- شکل لبه حمله



NACA 2412 airfoil has a maximum camber of 2% located 40% (0.4 chords) from the leading edge with a maximum thickness of 12% of the chord.

• مروری بر مشخصات کلیدی آیرودینامیکی مقاطع بال



✓ مشخصه‌های نیرویی و گشتاوری

■ نیروهای برا و پسا، و گشتاور پیچ

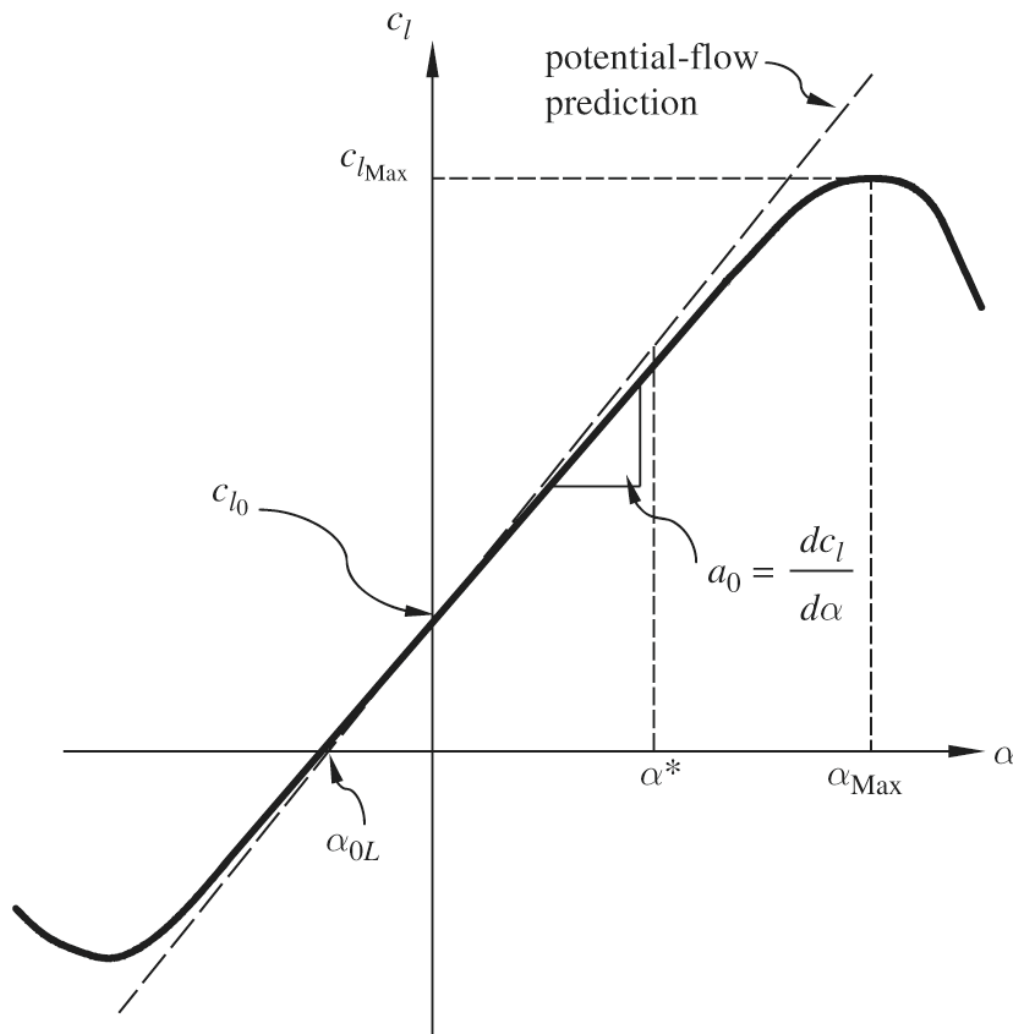
■ مرکز فشار و مرکز آیرودینامیکی

مرکز آیرودینامیکی $C_{m_\alpha} = 0$

$$M_{AC} = -L(x_{CP} - x_{AC}) \xrightarrow{\frac{M = \bar{q} S \bar{c} C_m}{L = \bar{q} S \bar{c} C_L}} C_{m_{AC}} = -C_L \frac{(x_{CP} - x_{AC})}{\bar{c}} = -C_L (\bar{x}_{CP} - \bar{x}_{AC})$$

$$\bar{x}_{AC} \in [0.25 - 0.27] \xrightarrow[\text{Tuck}]{\text{Transonic F.C.}} \bar{x}_{AC} \simeq 0.5$$

• مروری بر مشخصات کلیدی آیرودینامیکی مقاطع بال



$$C_L - \alpha \quad \checkmark$$

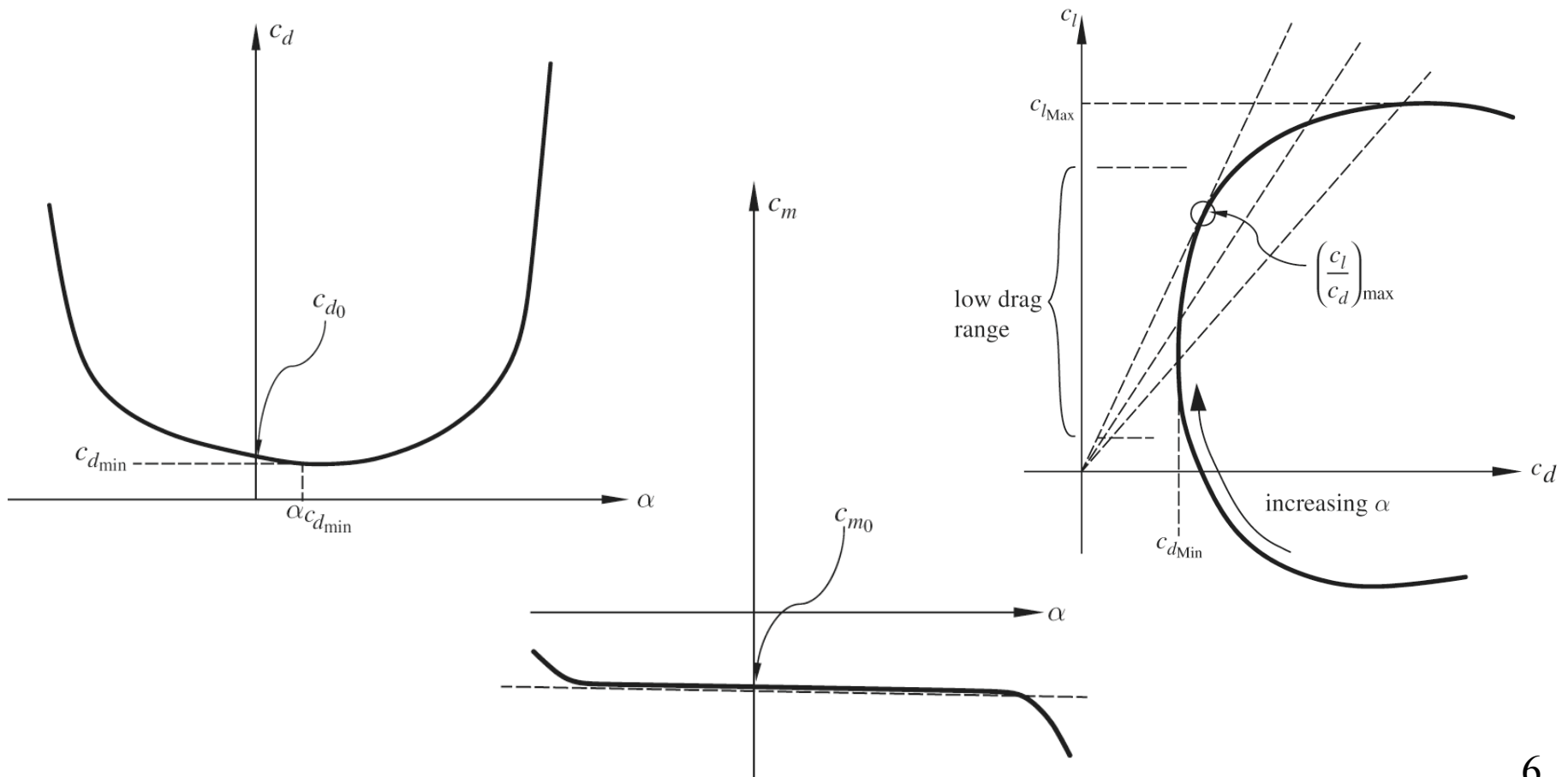
تبدیل پرانتل - گلارت

$$C_{L\alpha} \Big|_{Mach} = \frac{C_{L\alpha} \Big|_{M=0}}{\sqrt{1-M^2}}$$

$$M \notin [0.85 - 1.15]$$

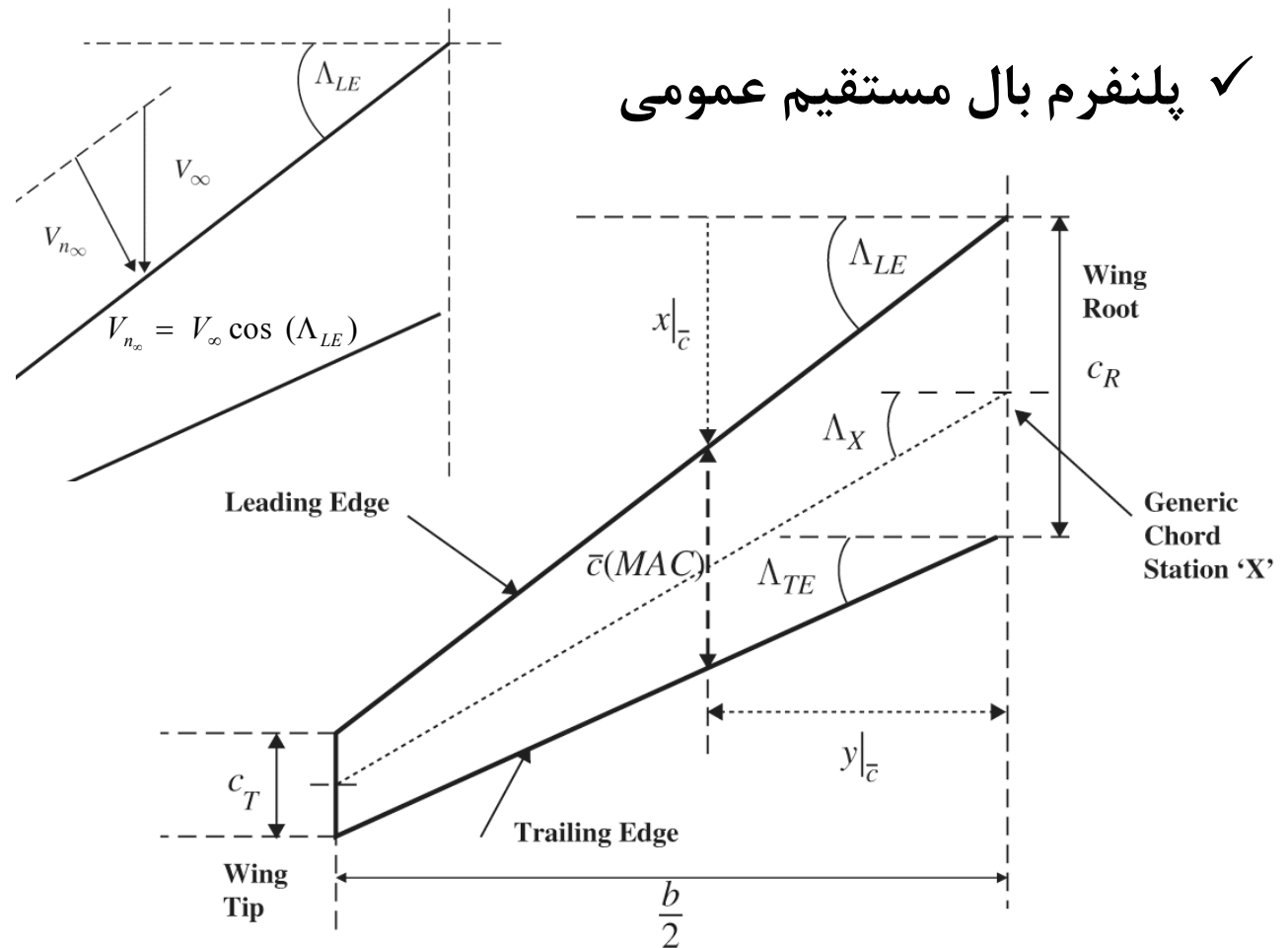
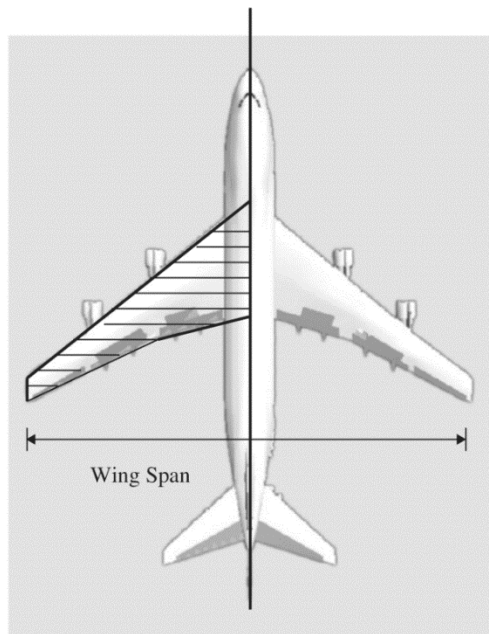
• مروری بر مشخصات کلیدی آیرودینامیکی مقاطع بال

Polar Curve و منحنی قطبی $C_m - \alpha$ ، $C_D - \alpha$ ✓



• مشخصات آیرودینامیکی بال محدود

✓ پلنفرم بال مستقیم عمومی



$$AR = \frac{b^2}{S}$$

aspect ratio
نسبت منظری

$$\lambda = \frac{c_T}{c_R} \in [0-1]$$

taper ratio

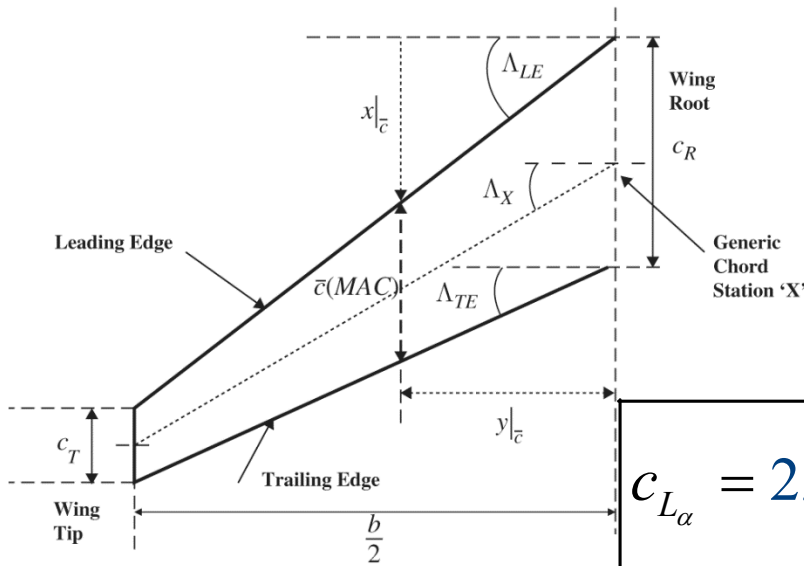
نسبت باریک شوندگی

$\lambda = 1$: rectangular wing

$\lambda = 0$: delta wing

• مشخصات آیرودینامیکی بال محدود

✓ فرمول پلهیمس Polhamus Formula



$$C_{L\alpha} = 2\pi \frac{AR}{2 + \sqrt{\frac{AR^2(1-M^2)}{k^2} \left(1 + \frac{\tan^2(\Lambda_{0.5})}{(1-M^2)} \right) + 4}}$$

$$\text{for } AR < 4 \quad k = 1 + \frac{AR(1.87 - 0.000233 \Lambda_{LE})}{100}$$

$$\text{for } AR \geq 4 \quad k = 1 + \frac{[(8.2 - 2.3 \Lambda_{LE}) - AR(0.22 - 0.153 \Lambda_{LE})]}{100}$$

$$M < M_{CRIT} \quad ; \quad \Lambda_{LE} < [30 - 32]^\circ \quad ; \quad AR \in [3 - 8] \quad ; \quad \lambda \in [0.4 - 1.0]$$

• مشخصات آیرودینامیکی بال محدود

✓ تعیین مرکز آیرودینامیکی بال و بال+بدنه Munk's theory

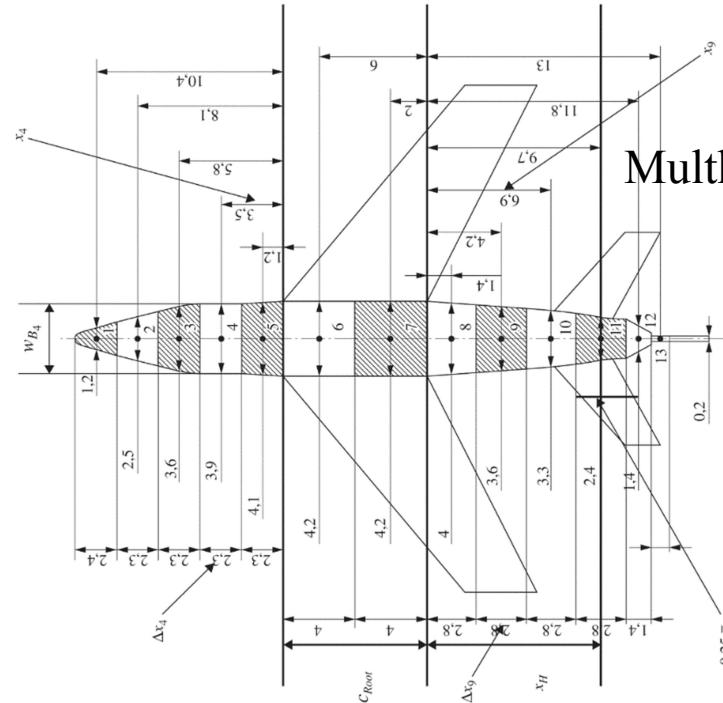
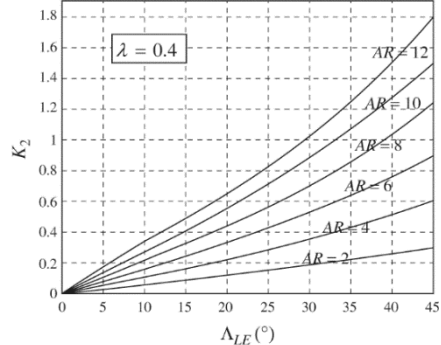
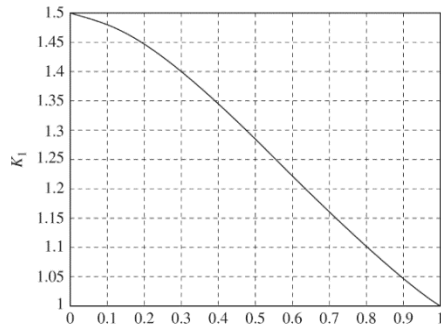
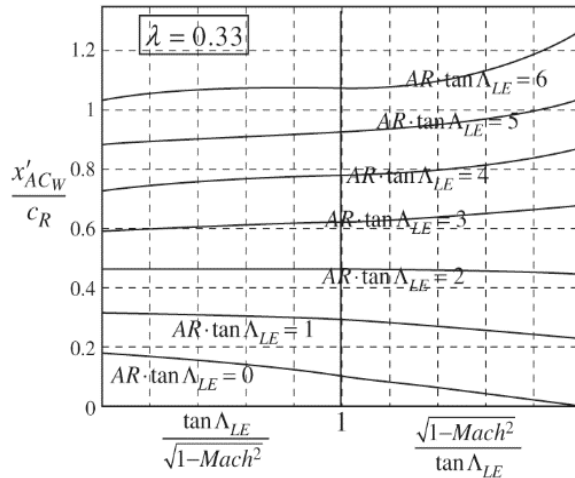
$$\bar{x}_{AC_{WB}} = \bar{x}_{AC_W} + \Delta \bar{x}_{AC_B}$$

▪ یافتن مقدار $\left(\frac{x'_{AC}}{c_R}\right)$ با میانبایی از نمودارهای مربوطه

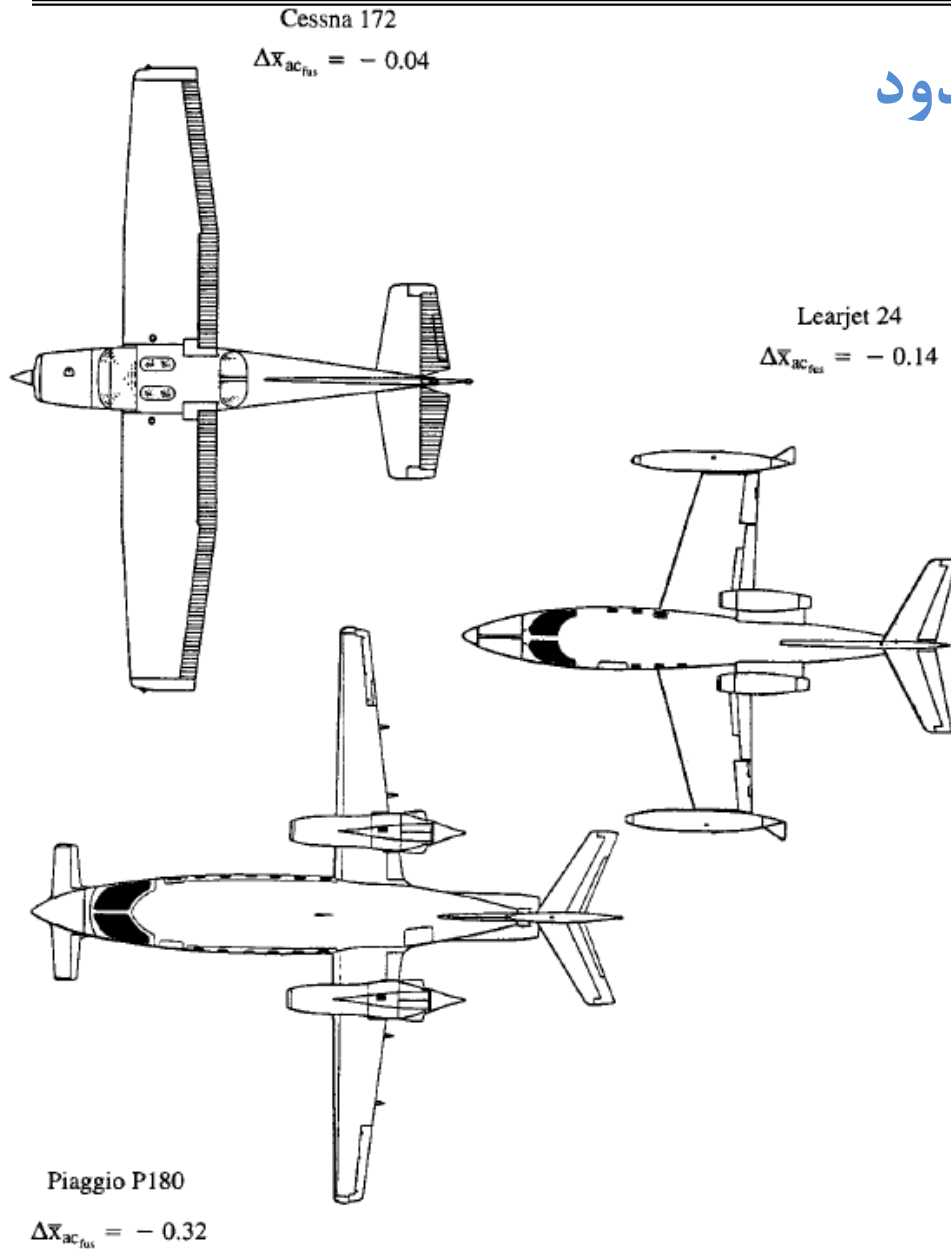
▪ تعیین مرکز آیرودینامیکی بال $\bar{x}_{AC_W} = K_1 \left(\frac{x'_{AC}}{c_R} - K_2 \right)$

▪ تعیین اثر بدنه $\Delta \bar{x}_{AC_B}$

Multhopp strip-integration method
روش تجمیع نواری مولتاپ



• مشخصات آیرودینامیکی بال محدود



Munk Effect

$$\bar{x}_{ac_{WB}} = \bar{x}_{ac_W} + \Delta \bar{x}_{ac_B}$$

$\Delta \bar{x}_{ac_B}$: Fuselage Induced AC Shift

$$\Delta \bar{x}_{ac_B} = \frac{C_{m_{\alpha_B}}}{C_{L_{\alpha_{WB}}}} \approx \frac{C_{m_{\alpha_B}}}{C_{L_{\alpha_B}}}$$

مدل سازی نیروها و گشتاورهای آیرودینامیکی

• آیرودینامیک دم



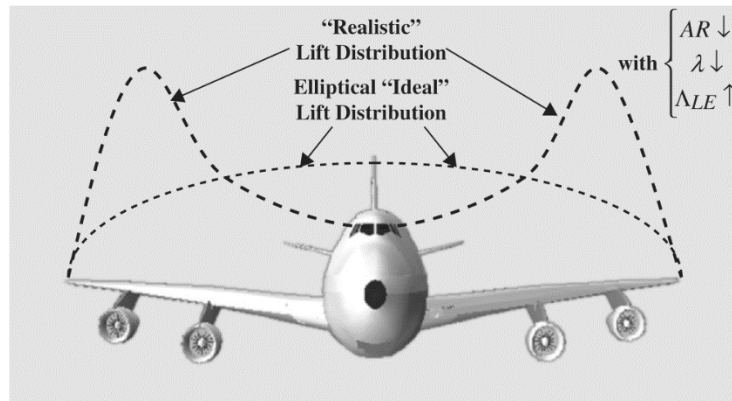
Cessna Citation

«تداخل» آیرودینامیکی ایجاد شده توسط بال روی دم افقی

$$\varepsilon = \varepsilon|_{\alpha=0^\circ} + \frac{d\varepsilon}{d\alpha}\alpha = \varepsilon_0 + \frac{d\varepsilon}{d\alpha}\alpha \quad \xrightarrow{\text{If } \varepsilon_0 \approx 0}$$

$$\alpha_H = \alpha - \varepsilon = \alpha - \frac{d\varepsilon}{d\alpha}\alpha = \alpha \left(1 - \frac{d\varepsilon}{d\alpha}\right)$$

با هوشمندی، زاویه حمله مؤثر دم افقی را به زاویه حمله هواپیما مربوط کردیم

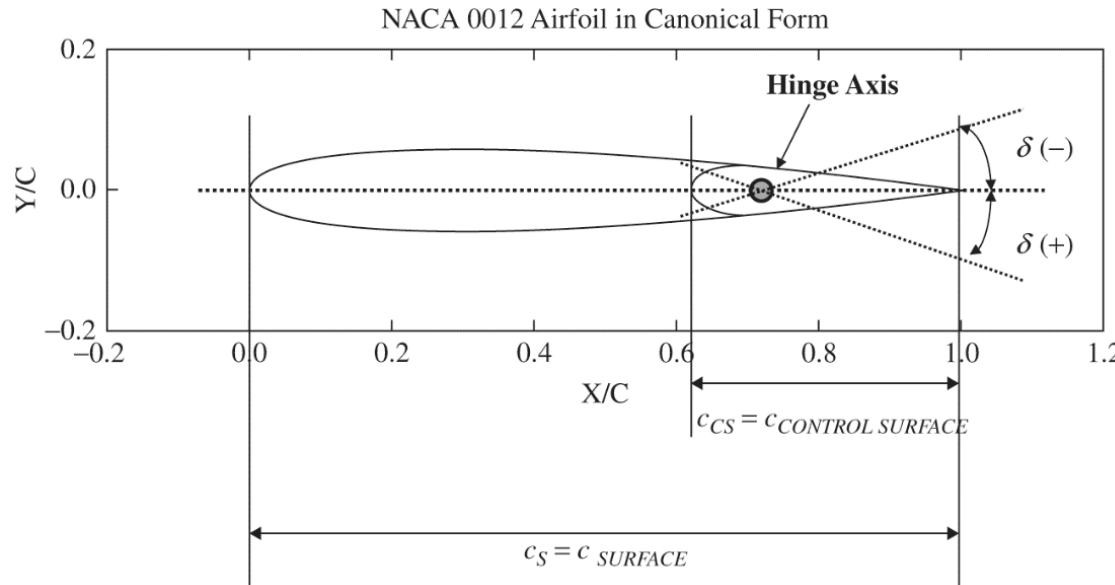


نسبت های فشار دینامیکی:

$$\eta_H = \frac{\frac{1}{2}\rho V_H^2}{\frac{1}{2}\rho V^2} = \frac{\bar{q}_H}{\bar{q}}, \quad \eta_V = \frac{\frac{1}{2}\rho V_V^2}{\frac{1}{2}\rho V^2} = \frac{\bar{q}_V}{\bar{q}}$$

مجددا هوشمندی

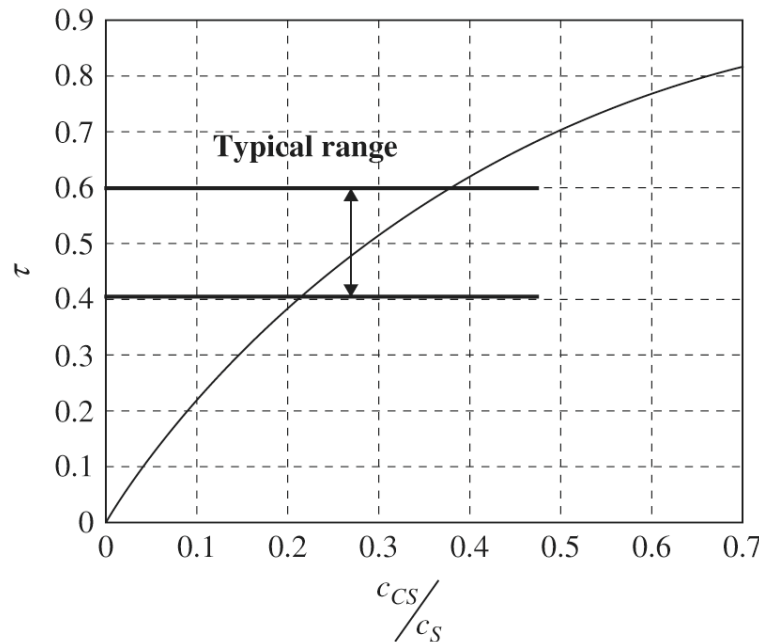
مدل سازی نیروها و گشتاورهای آیرودینامیکی



• سطوح کنترلی دم

✓ استاندارد زوایا

طبق قرارداد انحراف سطوح کنترلی هنگامی مثبت فرض می شود که برای دم افقی لبه فرار به سمت پایین و برای دم عمودی، لبه فرار به سمت چپ نسبت به خلبان منحرف گردد.



✓ فاکتور کارآمدی τ_E, τ_R, τ_A

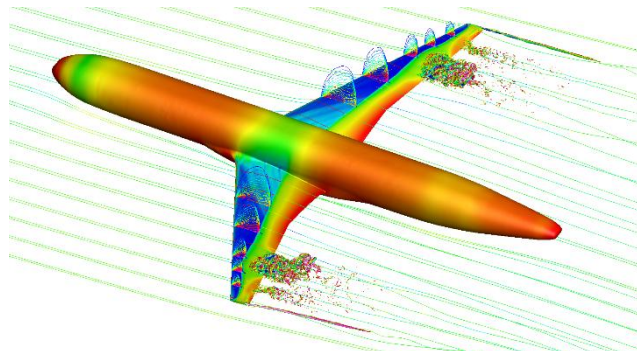
با هوشمندی، زاویه حمله مؤثر دم افقی را به

زاویه حمله هواپیما مربوط کردیم

$$\alpha_H = \tau_E \delta_E$$

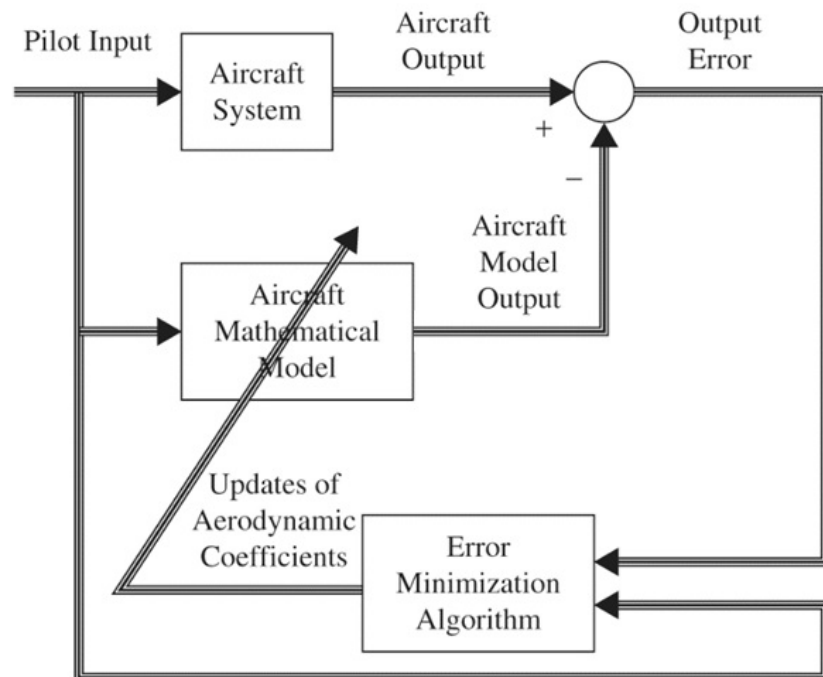
مدل سازی نیروها و گشتاورهای آیرودینامیکی

• رویکردهای عمومی تعیین مشخصات آیرودینامیکی هواپیما



✓ تحلیل تونل باد

✓ تحلیل دینامیک سیالات محاسباتی (CFD)



✓ شناسایی پارامتر (PID) از داده‌های پروازی

✓ به دست آوردن رابطه بین داده‌های تونل باد

و مشاهدات تجربی «تجميع مؤلفه‌ها»

Empirical "Build-Up" method (Engineering)

• رویکرد اتخاذی: روش مهندسی

مطالعه نقش مؤلفه‌های کلیدی هواپیما در الگوی نیرو و گشتاورها



مطالعه نحوه اثرگذاری مؤلفه‌ها در رفتار مطلوب / نامطلوب هواپیما

در این روش نیرو و گشتاورها بر اساس الگوهایی مدل سازی می شوند که درون آنها پارامترهایی به عنوان **مشتقات** وجود دارند. مشتقات به نوبه خود نشان دهنده سطح پایداری استاتیکی می باشند.



$$\rightarrow C_{L_\alpha}, C_{m_\alpha}, C_{L_{\delta_E}}, \dots$$

در ادامه درس، بدلیل سهولت و ارتباط صریح با معماری هواپیما (نقش مولفه ها)، از رویکرد مهندسی برای استخراج نیرو و گشتاورها در دو حالت، استفاده خواهد شد:

1. Steady State Flight
$$L_A = \left(C_{l_0} + C_{l_\beta} \beta + C_{l_{\delta_A}} \delta_A + C_{l_{\delta_R}} \delta_R \right) \bar{q} S b$$
2. Perturbed State Flight
$$l_A = \left(C_{l_p} p + C_{l_r} r + \dots \right) \bar{q} S b$$

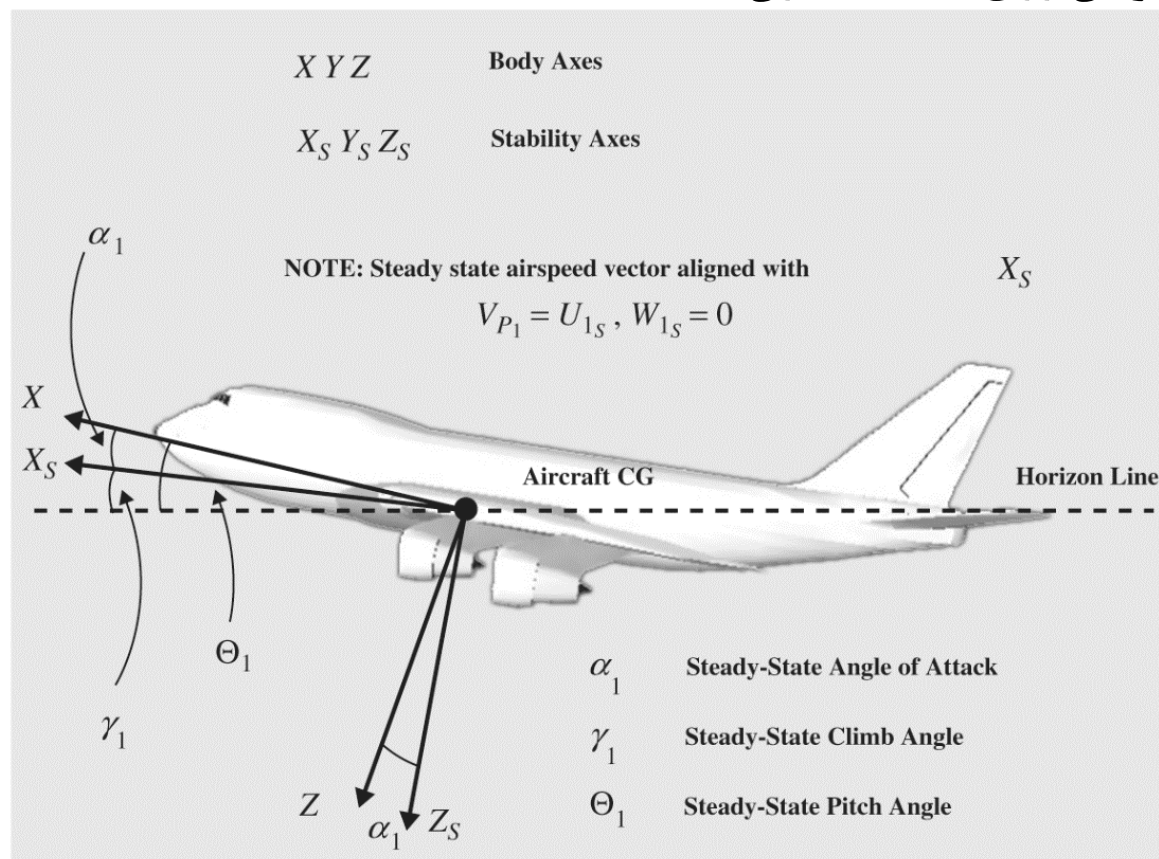
مدل سازی نیروها و گشتاورهای آیرودینامیکی

• مرور بحث

- نیروها و گشتاورها از روش مهندسی **تجميع مؤلفه‌ها** Component Build-Up برآورد می‌گردد.
- نیروها و گشتاورها در **دستگاه پایداری** محاسبه می‌گردد.
- الگوی نیروها و گشتاورها در دو حالت **دائم** و **اختلالی** معرفی خواهد شد.
- به طور کلی نیرو و ممان‌ها در دو بخش **طولی**، **جانبی-جهتی** طبقه‌بندی می‌گردند و الگوی آنها براساس نقش کلیدی مؤلفه‌ها، سطوح کنترلی و پارامترهای پروازی ارائه می‌گردد.
- پارامترهای مدل (ضرائب نیرو و ممان) **مشتقات** نامیده می‌شوند که از روش مؤلفه‌ها به خواص آیرودینامیکی، هندسی اجزاء هواپیما مرتبط خواهد شد (**ارتباط با طراحی**).
مشتقات به تبع به گروه‌های **استاتیکی**، **دینامیکی** و **کنترلی** قابل تقسیم‌بندی می‌باشند.

• دستگاه پایداری هواپیما

دستگاه پایداری $X_s Y_s Z_s$ توسط چرخش دستگاه بدنی XYZ حول $Y = Y_s$ به میزان α_1 حاصل می شود. توجه کنید که امتداد X_s در پرواز متقارن $\beta_1 = 0$ ، در راستای بردار سرعت و در پروازهای نامتقارن، در امتداد تصویر آن روی صفحه تقارن است.



هنگامی که هواپیما پرواز دائم خود را با $\beta_1 \neq 0$ انجام دهد، اصطلاحاً در پرواز نامتقارن (Side slipping) قرار دارد. در این حالت بردار سرعت در صفحه تقارن هواپیما قرار ندارد. در این شرایط دستگاه بدنی با دو دوران α_1 و β_1 به دستگاهی به نام دستگاه باد (X در راستای بردار سرعت) تبدیل می گردد.

در مقابل α_T, ϕ

• دستگاه پایداری هواپیما

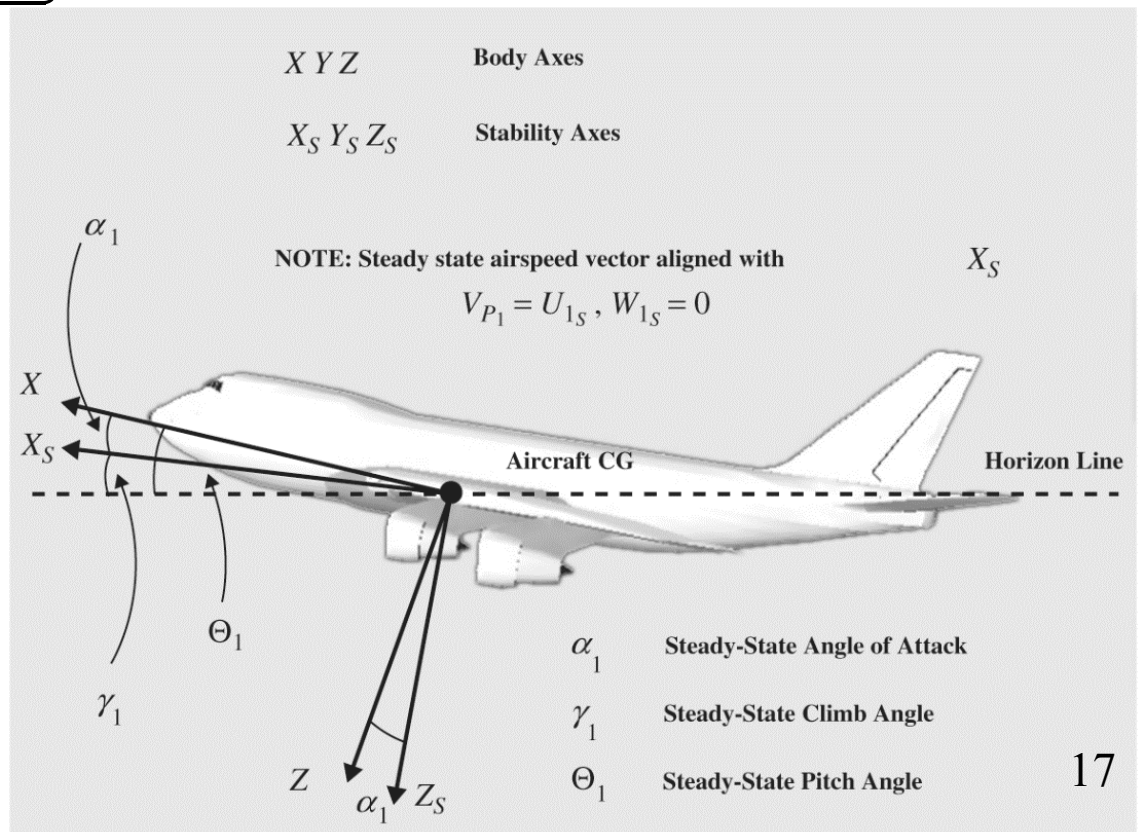
پرواز متقارن :

$$\vec{V}_{P_1}^S = [V_{P_1} \quad 0 \quad 0]^T$$

$$\vec{V}_{P_1}^B = T^{BS}(\alpha) \vec{V}_{P_1}^S \rightarrow$$

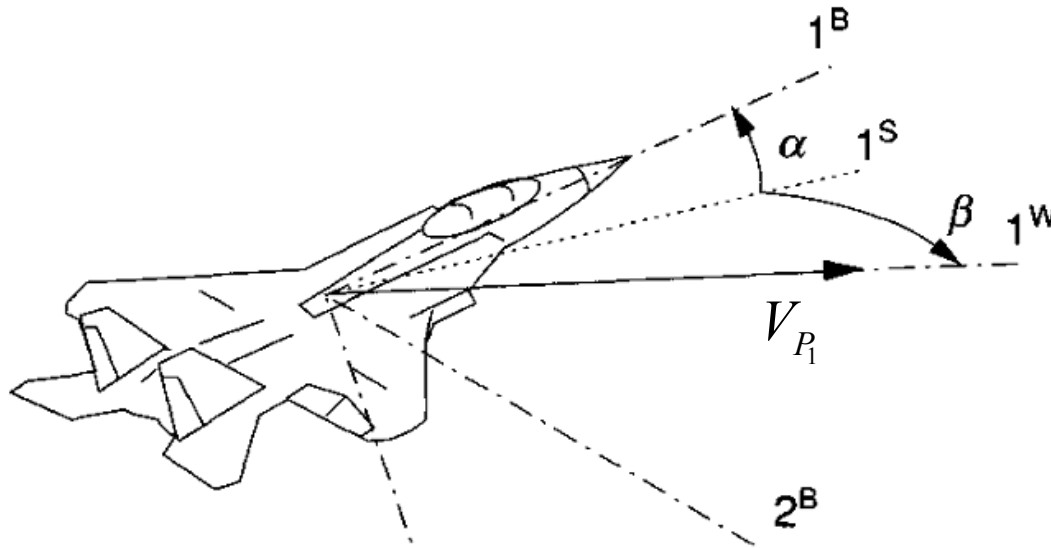
$$\vec{V}_{P_1}^B = [\underbrace{V_{P_1} \cos \alpha_1}_{U_1} \quad 0 \quad \underbrace{V_{P_1} \sin \alpha_1}_{W_1}]^T$$

$$\Rightarrow \begin{cases} F_{A_{X_{1s}}} = -D = -C_D \bar{q} S \\ F_{A_{Z_{1s}}} = -L = -C_L \bar{q} S \\ M_{A_{1s}} = M_{A_1} = C_m \bar{q} S \bar{c} \end{cases}$$



• دستگاه پایداری هواپیما

پرواز نامتقارن:



$$\vec{V}_{P_1}^W = \begin{bmatrix} V_{P_1} & 0 & 0 \end{bmatrix} \quad 3^B$$

$$\vec{V}_{P_1}^S = \begin{bmatrix} V_{P_1} \cos \beta_1 & V_{P_1} \sin \beta_1 & 0 \end{bmatrix}^T$$

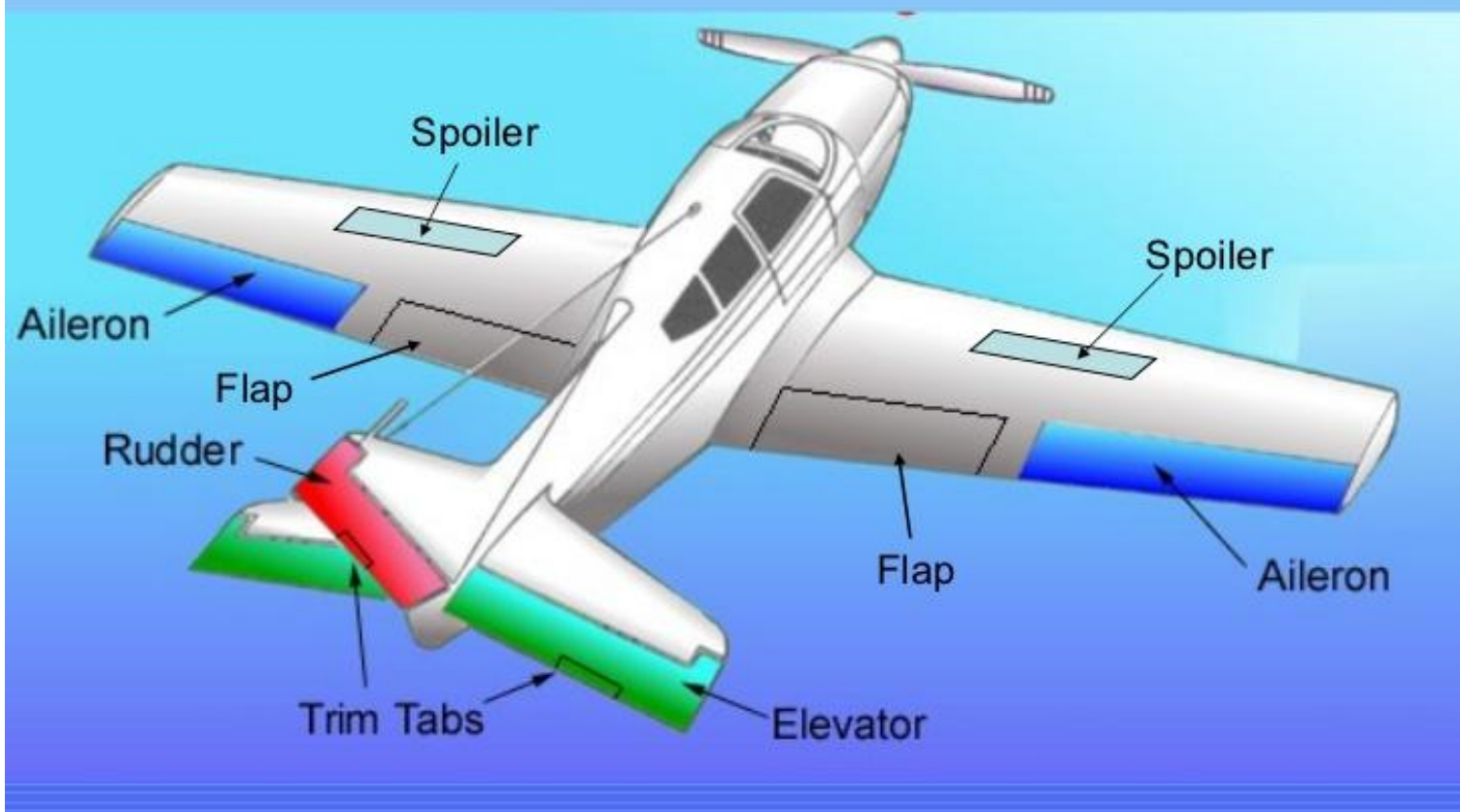
$$\beta_1 = \sin^{-1} \left(\frac{V_1}{V_{P_1}} \right) \approx \frac{V_1}{V_{P_1}} \approx \frac{V_1}{U_1}$$

$$\alpha_1 = \tan^{-1} \left(\frac{W_1}{U_1} \right) \approx \frac{W_1}{U_1}$$

$$\vec{V}_{P_1}^B = T^{BW}(\alpha_1, \beta_1) \vec{V}_{P_1}^W \Rightarrow \vec{V}_{P_1}^B = \underbrace{\begin{bmatrix} V_{P_1} \cos \beta_1 \cos \alpha_1 \\ V_{P_1} \sin \beta_1 \\ V_{P_1} \cos \beta_1 \sin \alpha_1 \end{bmatrix}}_{\begin{matrix} U_1 \\ V_1 \\ W_1 \end{matrix}}^T$$

Flight Control Surfaces

سطوح کنترلی هواپیما



مدل سازی نیروها و گشتاورهای آیرودینامیکی

• نیروها و گشتاورهای دائمی

Variables	All=0	α	β	δ_A	δ_E	δ_R
$F_{A_{x1}}$	Drag at Zero Lift	Drag Due to α	Negligible for Small β	Negligible	Negligible	Negligible
$F_{A_{y1}}$	Zero	Indirect	Side Force Due to β	Negligible	Zero	Side Force Due to δ_r
$F_{A_{z1}}$	Lift at zero α	Lift Due to α	Negligible for Small β	Negligible	Lift Due to δ_e	Negligible
L_{A1}	Zero	Indirect	Rolling Moment Due to β	Rolling Moment Due to δ_a	Zero	Rolling Moment Due to δ_r
M_{A1}	Pitching Moment at Zero α	Pitching Moment Due to α	Negligible for Small β	Negligible	Pitching Moment Due to δ_e	Negligible
N_{A1}	Zero	Indirect	Yawing Moment Due to β	Small but Not Negligible	Zero	Yawing Moment Due to δ_r

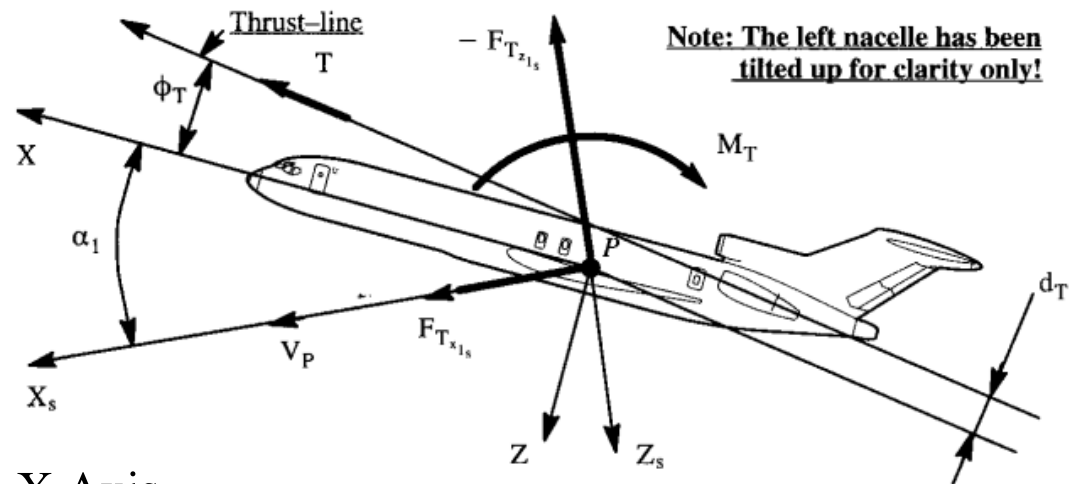
• الگوی نیرو و گشتاورهای طولی در پرواز دائم Longitudinal

پیشرانش □

$$F_{T_{X_{1s}}} = T \cos(\phi_T + \alpha_1)$$

$$F_{T_{Z_{1s}}} = -T \sin(\phi_T + \alpha_1)$$

$$M_{T_{1s}} = -Td_T$$



ϕ_T = Thrust Angle Relative to X Axis

نیرو و ممان‌های مربوط به نیروی پیشرانش کلاً با مشخص بودن T که تابعی از پارامترهای زیر است، مشخص می‌شود:

$$T = f(h, M, \text{Inlet(Prop)}, \alpha, \text{Throttle Setting})$$

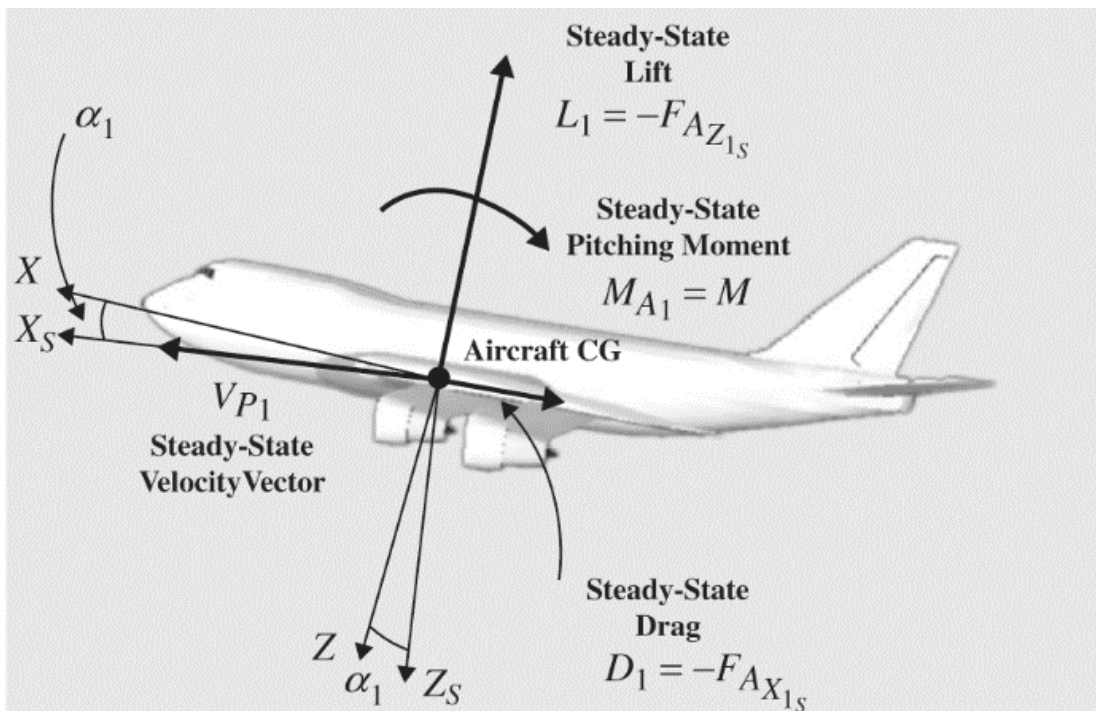
• الگوی نیرو و گشتاورهای طولی در پرواز دائم Longitudinal

$$F_{A_{X_{1s}}} = -D_1 = -\left(C_{D_0} + C_{D_\alpha} \alpha + C_{D_{\delta_E}} \delta_E + C_{D_{i_H}} i_H\right) \bar{q}_1 S$$

□ آیرودینامیک

$$F_{A_{Z_{1s}}} = -L_1 = -\left(C_{L_0} + C_{L_\alpha} \alpha + C_{L_{\delta_E}} \delta_E + C_{L_{i_H}} i_H\right) \bar{q}_1 S$$

$$M_{A_{1s}} = M_{A_1} = \left(C_{m_0} + C_{m_\alpha} \alpha + C_{m_{\delta_E}} \delta_E + C_{m_{i_H}} i_H\right) \bar{q}_1 S \bar{c}$$



• الگوی نیرو و گشتاورهای طولی در پرواز دائم Longitudinal

نکات مهم!

- از اینجا به بعد اندیس‌های 1 و s حذف می‌شوند؛ چون به طور کلی این نیروها در شرایط دائم و در محور مختصات پایداری مطرح می‌شوند.
- برای به دست آوردن نیروها که برابر با پسا و برآ و گشتاور که گشتاور پیچ را شامل می‌شود، از روش تجميع مؤلفه‌ها استفاده می‌کنیم.
- نیرو و ممان‌های طولی در شرایط دائم متکی به پارامترهای زیر می‌باشند:
 $\alpha, \delta_E, i_H, \bar{q}, M, Re$
- اثرات سرعت و ارتفاع در \bar{q}_1 نهفته و مشتقات در M ثابت در نظر گرفته می‌شوند.
- مشتقات از طریق قیاس الگوی مدل ضرائب با فیزیک کلان هواپیما حاصل می‌گردند.
- مشتقات بی‌بعد هستند!

• نیروی پسا (Drag Force)

Total Airplane Drag:

پسای هواپیما بر حسب ضرایب بی بعد آن به صورت زیر می باشد:

$$D = C_D \bar{q} S \xrightarrow{C_D = f(\alpha, \delta_E, i_H)}$$

$$C_D = C_{D_0} + C_{D_\alpha} \alpha + C_{D_{\delta_E}} \delta_E + C_{D_{i_H}} i_H$$

$$C_{D_0} = \text{Total Airplane Drag Coef. for } \alpha = i_H = \delta_E = 0$$

$$C_{D_\alpha} = \frac{\partial C_D}{\partial \alpha} \quad \text{Total Airplane Drag Change with } \alpha$$

$$C_{D_{i_H}} = \frac{\partial C_D}{\partial i_H} \quad \text{Total Airplane Drag Change Due to } i_H$$

$$C_{D_{\delta_E}} = \frac{\partial C_D}{\partial \delta_E} \quad \text{Total Airplane Drag Change Due to } \delta_E$$

• نیروی پسا (Drag Force)

$$C_D = C_{D_0} + C_{D_\alpha} \alpha + C_{D_{\delta_E}} \delta_E + C_{D_{i_H}} i_H$$

$$C_D = C_{D_0} + \frac{C_L^2}{\pi A Re} \quad \text{رابطه پیرانتل}$$

$$C_{D_0} = f(\text{Wing-Body Configuration}, \delta_E, i_H)$$

$$C_{D_\alpha} \approx \frac{\partial \frac{C_L^2}{\pi A Re}}{\partial \alpha} \rightarrow \boxed{C_{D_\alpha} = \left(\frac{2C_L}{\pi A Re} \right) C_{L_\alpha}}$$

• نیروی برآ (Lift Force)

Total Airplane Lift:

برای هواپیما بر حسب ضرایب بی بعد آن به صورت زیر است:

$$L = C_L \bar{q}_1 S$$

$$C_L = C_{L_0} + C_{L_\alpha} \alpha + C_{L_{\delta_E}} \delta_E + C_{L_{i_H}} i_H$$

$$C_{L_0} = \text{Total Airplane Lift Coef. for } \alpha = i_H = \delta_E = 0$$

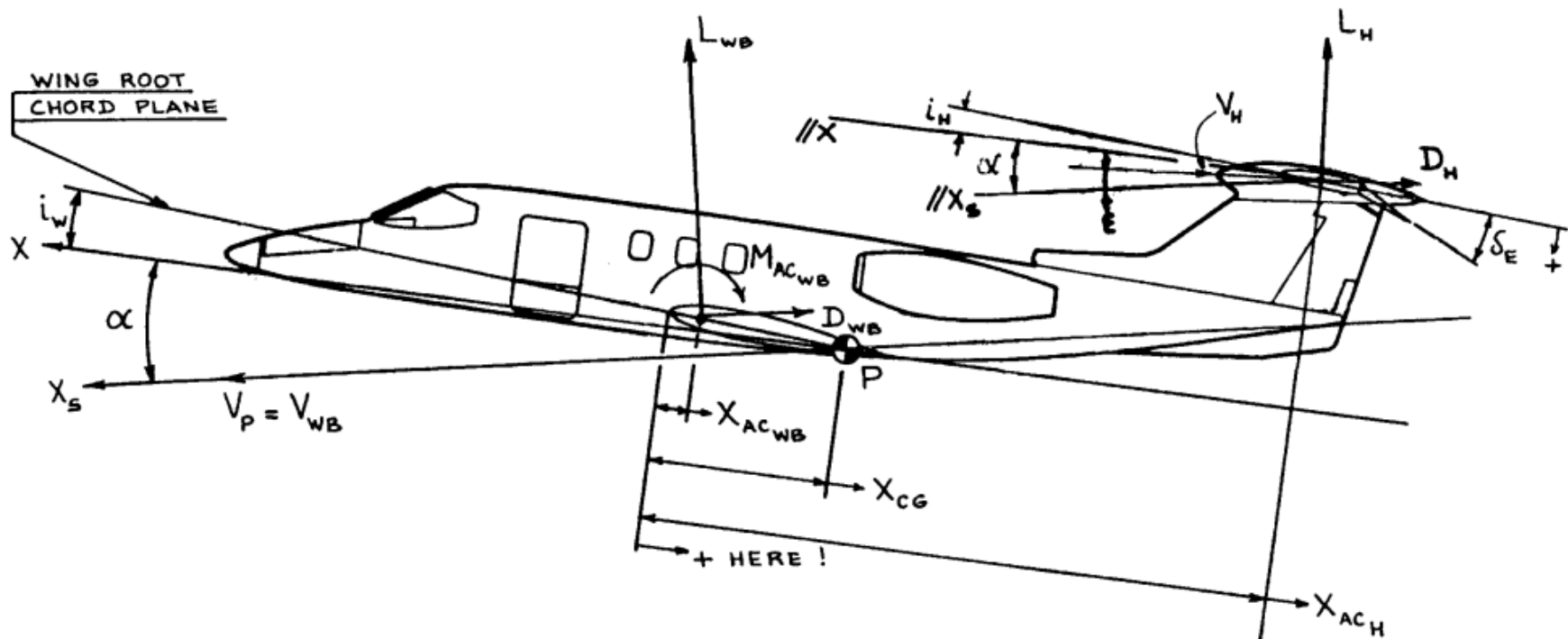
$$C_{L_\alpha} = \frac{\partial C_L}{\partial \alpha} \quad \text{Total Airplane Lift Curve Slope}$$

$$C_{L_{i_H}} \text{ OR } C_{L_{\delta_E}} \quad \text{Change in Airplane } C_L \text{ for Unit Stabilizer OR Elevator Angle}$$

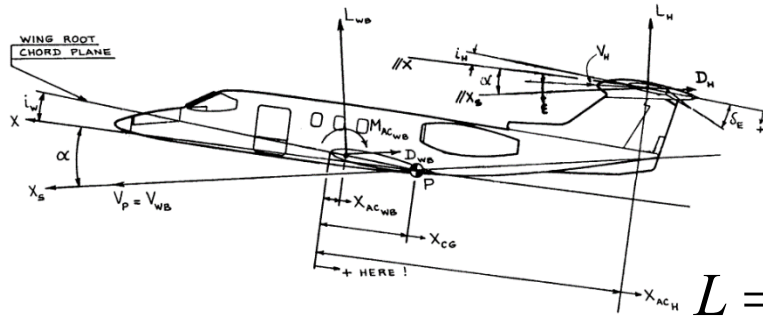
• $C_{L_0}, C_{L_\alpha}, C_{L_{i_H}}, C_{L_{\delta_E}}$ به M بستگی دارند!

• قراردادهای تعریف مشتقات

برای به دست آوردن روابطی برای پارامترهای معرفی شده در الگوی نیرو و ممان ها، براساس مؤلفه های قراردادی هواپیما شکل زیر را در نظر بگیرید:



• محاسبه نیروی برآ (Lift Force)



توجه کنید که:

$$L = L_{WB} + L_H \cos \varepsilon - D_H \sin \varepsilon \approx L_{WB} + L_H$$

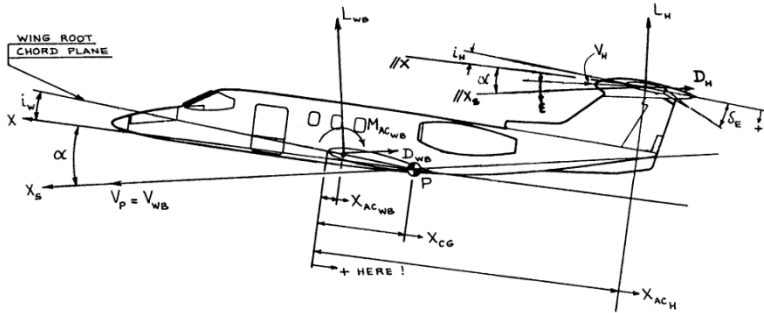
که در فرم ضرایب به صورت زیر می شود:

$$\Rightarrow C_L \bar{q} S = C_{L_{WB}} \bar{q} S + C_{L_H} \bar{q}_H S_H$$

$$\Rightarrow \boxed{C_L = C_{L_{WB}} + C_{L_H} \eta_H \frac{S_H}{S}} \quad ; \quad \eta_H = \frac{\bar{q}_H}{\bar{q}}$$

این معادله به این اشاره می کند که فشار دینامیکی روی دم لزوماً برابر فشار دینامیکی بال نخواهد بود.

• محاسبه نیروی برآ (Lift Force)



متعاقباً ضریب برای بدنه-بال به صورت زیر نوشته می شود:

$$C_{L_{WB}} = C_{L_{0WB}} + C_{L_{\alpha WB}} \alpha$$

به دلیل اثرات تداخلی (Interference Effects) $C_{L_{\alpha WB}} \neq C_{L_{\alpha W}}$
 برای پیکربندی هایی که دارای b/d_B بزرگ باشند: $C_{L_{\alpha WB}} \approx C_{L_{\alpha W}}$

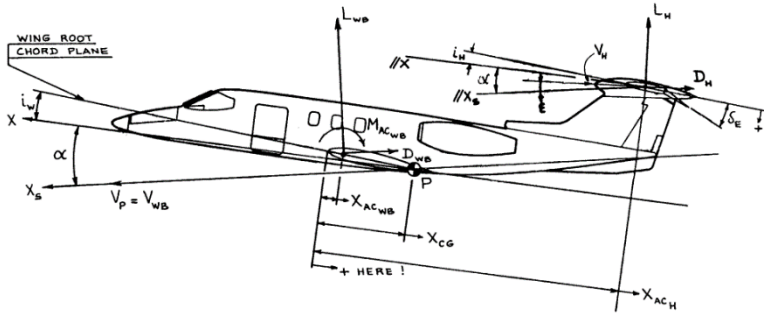
همچنین زاویه حمله بال با زاویه حمله هواپیما فرق می کند!

$$\alpha_w = \alpha + i_w$$

البته می توان محور X را طوری انتخاب کرد که $i_w = 0$ شود.

• محاسبه نیروی برآ (Lift Force)

همچنین داریم:



$$C_{L_H} = C_{L_{0H}} + C_{L_{\alpha_H}} \alpha_H + C_{L_{\alpha_H}} \tau_E \delta_E$$

$$= C_{L_{0H}} + C_{L_{\alpha_H}} (\alpha + i_H - \varepsilon + \tau_E \delta_E)$$

Where: $\alpha_H = \alpha + i_H - \varepsilon + \tau_E \delta_E$ Horizontal Tail A.O.A

ε = Average Downwash Angle Induced by Wing on Horiz. Tail

i_H = Horiz. Tail Incidence Angle

δ_E = Elevator Deflection Angle

$\tau_E = \frac{\partial \alpha_H}{\partial \delta_E}$ = Angle of Attack Effectiveness of Elevator

$$0 \leq \tau_E = f(c_f/c) \leq 1$$

• محاسبه نیروی برآ (Lift Force)

$$C_L = C_{L_{WB}} + C_{L_H} \eta_H \frac{S_H}{S} \frac{C_{L_{WB}} = C_{L_{0WB}} + C_{L_{\alpha WB}} \alpha}{C_{L_H} = C_{L_{0H}} + C_{L_{\alpha H}} (\alpha + i_H - \varepsilon + \tau_E \delta_E)} \rightarrow$$

$$C_L = C_{L_{0WB}} + C_{L_{\alpha WB}} \alpha + \cancel{C_{L_{0H}}}^{=0} \eta_H \frac{S_H}{S} + C_{L_{\alpha H}} \eta_H \frac{S_H}{S} \left(\alpha + i_H - \left(\varepsilon_0 + \frac{d\varepsilon}{d\alpha} \alpha \right) + \tau_E \delta_E \right)$$

از طرفی:

$$C_L = C_{L_0} + C_{L_\alpha} \alpha + C_{L_{\delta_E}} \delta_E + C_{L_{i_H}} i_H$$

$$C_{L_0} = C_{L_{0WB}} - C_{L_{\alpha H}} \eta_H \frac{S_H}{S} \varepsilon_0$$

$$C_{L_{i_H}} = C_{L_{\alpha H}} \eta_H \frac{S_H}{S}$$

$$C_{L_\alpha} = C_{L_{\alpha WB}} + C_{L_{\alpha H}} \eta_H \frac{S_H}{S} \left(1 - \frac{d\varepsilon}{d\alpha} \right)$$

$$C_{L_{\delta_E}} = C_{L_{\alpha H}} \eta_H \frac{S_H}{S} \tau_E$$

$$F_{A_{Z_{l_s}}} = F_{A_Z} = -L = - \left(C_{L_0} + C_{L_\alpha} \alpha + C_{L_{\delta_E}} \delta_E + C_{L_{i_H}} i_H \right) \bar{q} S$$

• گشتاور پیچ (Pitching Moment)

Total Airplane Pitching Moment:

$$M_A = C_m \bar{q}_1 S \bar{c}$$

$$C_m = C_{m_0} + C_{m_\alpha} \alpha + C_{m_{\delta_E}} \delta_E + C_{m_{i_H}} i_H$$

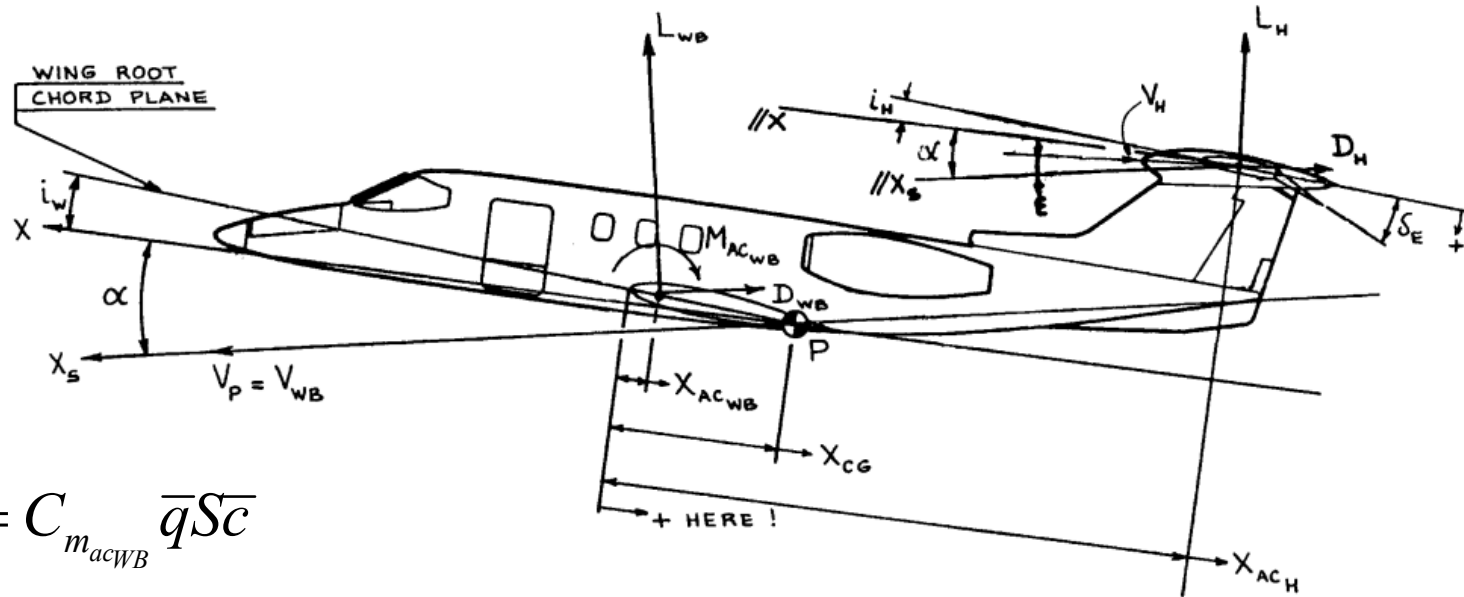
$$C_{m_0} = \text{Total Airplane Pitching Moment Coef. for } \alpha = i_H = \delta_E = 0$$

$$C_{m_\alpha} = \frac{\partial C_m}{\partial \alpha} = \text{Total Airplane Pitching Moment Versus } \alpha \text{ Slope}$$

$$C_{m_{i_H}}, C_{m_{\delta_E}} = \text{Change in Total Airplane Pitching Moment Coef.}$$

for Unit Stabilizer OR Elevator Angle

• گشتاور پیچ (Pitching Moment)



$$M_A = C_{m_{acWB}} \bar{q} S \bar{c}$$

$$+ L_{WB} \cos(\alpha + i_w)(x_{cg} - x_{acWB}) + \underbrace{D_{WB} \sin(\alpha + i_w)(x_{cg} - x_{acWB})}_{\text{negligible}}$$

$$- L_H \cos(\alpha + i_w - \epsilon)(x_{acH} - x_{cg}) + \underbrace{D_H \sin(\alpha + i_w - \epsilon)(x_{acH} - x_{cg})}_{\text{negligible}}$$

+()

• گشتاور پیچ (Pitching Moment)

با حذف ترم مربوط به D_{WB} و فرض $\cos(\bullet) \approx 1$ خواهیم داشت:

$$M_A = C_{m_{ac_{WB}}} \bar{q} S \bar{c} + L_{WB} \cos(\alpha + i_w) (x_{cg} - x_{ac_{WB}}) - L_H \cos(\alpha + i_w - \varepsilon) (x_{ac_H} - x_{cg})$$

$$C_m = C_{m_{ac_{WB}}} + C_{L_{WB}} \left(\frac{x_{cg} - x_{ac_{WB}}}{\bar{c}} \right) - C_{L_H} \frac{\bar{q}_H S_H}{\bar{q} S} \left(\frac{x_{ac_H} - x_{cg}}{\bar{c}} \right)$$

اگر $\bar{x} = \frac{x}{\bar{c}}$ خواهیم داشت:

$$C_m = C_{m_{ac_{WB}}} + \left(C_{L_{0WB}} + C_{L_{\alpha WB}} \alpha \right) (\bar{x}_{cg} - \bar{x}_{ac_{WB}})$$

$$- C_{L_{\alpha H}} \eta_H \frac{S_H}{S} (\bar{x}_{ac_H} - \bar{x}_{cg}) \left\{ \alpha - \left(\varepsilon_0 + \frac{d\varepsilon}{d\alpha} \alpha \right) + i_H + \tau_E \delta_E \right\}$$

از طرفی :

$$C_m = C_{m_0} + C_{m_\alpha} \alpha + C_{m_{\delta_E}} \delta_E + C_{m_{i_H}} i_H$$

• گشتاور پیچ (Pitching Moment)

$$C_m = C_{m_{ac_{WB}}} + (C_{L_{0_{WB}}} + C_{L_{\alpha_{WB}}} \alpha) (\bar{x}_{cg} - \bar{x}_{ac_{WB}}) - C_{L_{\alpha_H}} \eta_H \frac{S_H}{S} (\bar{x}_{ac_H} - \bar{x}_{cg}) \left\{ -\varepsilon_0 + \left(1 - \frac{d\varepsilon}{d\alpha} \right) \alpha + i_H + \tau_E \delta_E \right\}$$

$$C_{m_0} = C_{m_{ac_{WB}}} + C_{L_{0_{WB}}} (\bar{x}_{cg} - \bar{x}_{ac_{WB}}) + \underbrace{C_{L_{\alpha_H}} \eta_H \frac{S_H}{S} (\bar{x}_{ac_H} - \bar{x}_{cg}) \varepsilon_0}_{\text{Negligible}}$$

$$= C_{m_{ac_{WB}}} + C_{L_{0_{WB}}} (\bar{x}_{cg} - \bar{x}_{ac_{WB}})$$

$$C_{m_\alpha} = C_{L_{\alpha_{WB}}} (\bar{x}_{cg} - \bar{x}_{ac_{WB}}) - C_{L_{\alpha_H}} \eta_H \frac{S_H}{S} (\bar{x}_{ac_H} - \bar{x}_{cg}) \left(1 - \frac{d\varepsilon}{d\alpha} \right)$$

$$C_{m_{i_H}} = -C_{L_{\alpha_H}} \eta_H \frac{S_H}{S} (\bar{x}_{ac_H} - \bar{x}_{cg}) = -C_{L_{\alpha_H}} \eta_H \bar{V}_H$$

$$C_{m_{\delta_E}} = -C_{L_{\alpha_H}} \eta_H \bar{V}_H \tau_E \quad \bar{V}_H = \frac{S_H}{S} (\bar{x}_{ac_H} - \bar{x}_{cg})$$

Horizontal Tail Volume Coefficient

• مرکز آیرودینامیکی هواپیما

برای مرکز آیرودینامیکی: $C_{m_\alpha} = 0$

$$C_{m_\alpha} = C_{L_{\alpha_{WB}}} (\bar{x}_{cg} - \bar{x}_{ac_{WB}}) - C_{L_{\alpha_H}} \eta_H \frac{S_H}{S} (\bar{x}_{ac_H} - \bar{x}_{cg}) (1 - \frac{d\varepsilon}{d\alpha})$$

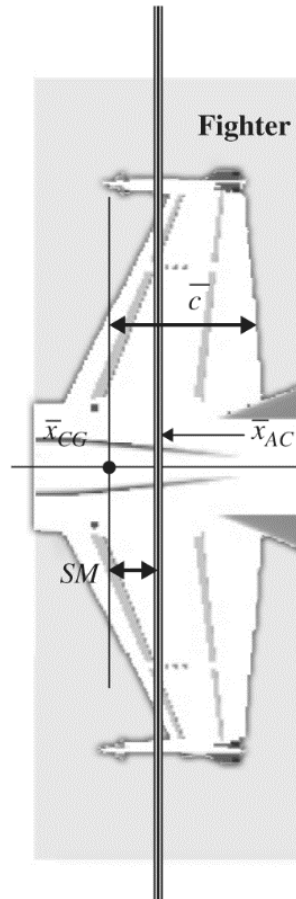
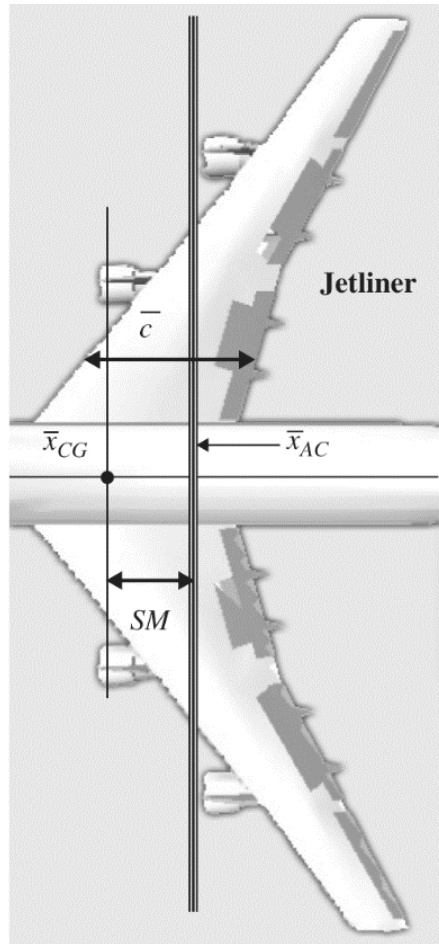
برای یافتن مرکز آیرودینامیکی، فرض می کنیم در یک شرایط مرکز ثقل بر مرکز آیرودینامیکی هواپیما منطبق است. بنابراین داریم:

$$\xrightarrow{\bar{x}_{ac} = \bar{x}_{cg}} C_{m_\alpha} = 0$$

$$\Rightarrow 0 = C_{L_{\alpha_{WB}}} (\bar{x}_{ac} - \bar{x}_{ac_{WB}}) - C_{L_{\alpha_H}} \eta_H \frac{S_H}{S} (\bar{x}_{ac_H} - \bar{x}_{ac}) (1 - \frac{d\varepsilon}{d\alpha})$$

$$\Rightarrow \bar{x}_{ac} = \frac{\bar{x}_{ac_{WB}} + \frac{C_{L_{\alpha_H}}}{C_{L_{\alpha_{WB}}}} \eta_H \frac{S_H}{S} \bar{x}_{ac_H} (1 - \frac{d\varepsilon}{d\alpha})}{1 + \frac{C_{L_{\alpha_H}}}{C_{L_{\alpha_{WB}}}} \eta_H \frac{S_H}{S} (1 - \frac{d\varepsilon}{d\alpha})} \quad \text{Power-off A.C.}$$

برای هوانوردی عمومی $[0.4 - 0.6]$
 برای هوانوردی تجاری و حمل و نقل نظامی $[0.35 - 0.45]$
 برای هواپیمای جنگنده $[0.3 - 0.35]$



• حاشیه پایداری Static Margin

$$C_{m_\alpha} = C_{L_\alpha} (\bar{x}_{cg} - \bar{x}_{ac})$$

$$\text{Static Margin} = SM: \bar{x}_{cg} - \bar{x}_{ac}$$

$$\text{Desired: } \begin{cases} C_{L_\alpha} > 0 \\ C_{m_\alpha} < 0 \end{cases} \quad SM < 0$$

$$SM = -0.1 = -10\% \Rightarrow X_{CG} - X_{AC} = -0.1\bar{c}$$

$SM < 0 \Rightarrow C_{m_\alpha} < 0 \Rightarrow \text{Positive Static Stability} \rightarrow \text{Stable}$

$SM = 0 \Rightarrow \text{Neutral (or Relax) Static Stability}$

$SM > 0 \Rightarrow C_{m_\alpha} > 0 \Rightarrow \text{Negative Static Stability} \rightarrow \text{Unstable}$

• حاشیه پایداری Static Margin

$[0.15 - 0.25]$ برای هوانوردی تجاری و حمل و نقل نظامی
 $[0.05 - 0.15]$ برای هواپیمای جنگنده



You don't fly an F-16; it flies you
It has up to negative 5% in subsonic,
and becomes slightly positive in supersonic flight.

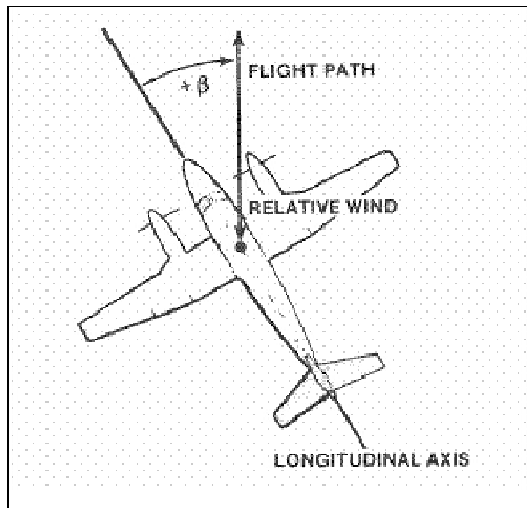
• الگوی نیرو و ممان‌های عرضی - سمتی در پروازهای دائم

همانند بخش طولی نیرو و ممان‌ها توسط ضرایب بسط داده می‌شوند:

$$L_{A_{1s}} = C_l \bar{q}_1 S b \quad ; \quad C_l = \text{ضریب گشتاور رول (Roll)}$$

$$F_{A_{y1s}} = C_y \bar{q}_1 S \quad ; \quad C_y = \text{ضریب نیروی عرضی (Side Force)}$$

$$N_{A_{1s}} = C_n \bar{q}_1 S b \quad ; \quad C_n = \text{ضریب گشتاور سمتی (Yaw)}$$



در پرواز دائم نیرو و ممان‌های عرضی-سمتی زمانی به وجود خواهند آمد که $\beta_1 \neq 0$ و اصطلاحاً هواپیما در حال **Side slipping** باشد.

• بسط ضرایب بر اساس مشتقات پایداری و کنترل

Lateral-Directional

$$C_l = C_{l_0} + C_{l_\beta} \beta + C_{l_{\delta_A}} \delta_A + C_{l_{\delta_R}} \delta_R$$

$$C_y = C_{y_0} + C_{y_\beta} \beta + C_{y_{\delta_A}} \delta_A + C_{y_{\delta_R}} \delta_R$$

$$C_n = C_{n_0} + C_{n_\beta} \beta + C_{n_{\delta_A}} \delta_A + C_{n_{\delta_R}} \delta_R$$

این مشتقات در هر حالت دائم، برای ماخ ثابت و زاویه حمله ثابت محاسبه شده است.

$C_{l_{\delta_A}}$	Roll Control Power
$C_{n_{\delta_R}}$	Directional Control Power
$C_{l_{\delta_A}}, C_{l_{\delta_R}}, C_{n_{\delta_A}}, C_{n_{\delta_R}}$	Control Derivatives

• گشتاور رول (Rolling Moment)

$$L_A = C_l \bar{q} S b$$

$$C_l = C_{l_0} + C_{l_\beta} \beta + C_{l_{\delta_A}} \delta_A + C_{l_{\delta_R}} \delta_R$$

C_{l_0} = Rolling moment coef. for zero β & zero control deflections
(usually it is zero for A/C with xz plane of symmetry)

C_{l_β} = Dihedral Effect $= \frac{\partial C_l}{\partial \beta}$ = Change in C_l due to unit β change

$C_{l_{\delta_A}}$ = Change in C_l due to unit change in aileron deflection

$C_{l_{\delta_R}}$ = Change in C_l due to unit change in rudder deflection

$$C_l = C_{l_0} + C_{l_\beta} \beta + C_{l_{\delta_A}} \delta_A + C_{l_{\delta_R}} \delta_R$$

• گشتاور رول (Rolling Moment)

Dihedral Effect: $C_{l_\beta} = C_{l_{\beta_{WB}}} + C_{l_{\beta_H}} + C_{l_{\beta_V}}$

وجود این خاصیت در هواپیما از طریق نقش مؤلفه‌های کلیدی هواپیما قابل بررسی است.

مکانیزم‌های مؤثر در تولید C_{l_β} از طریق WB و H یکسان است و عبارتند از:

- a) Wing Dihedral Angle
- b) Wing Position on Fuselage
- c) Wing Sweep Angle

$$C_l = C_{l_0} + \textcolor{red}{C_{l_\beta}} \beta + C_{l_{\delta_A}} \delta_A + C_{l_{\delta_R}} \delta_R \quad \bullet \text{ گشتاور رول (Rolling Moment)}$$

$$\text{Dihedral Effect: } C_{l_\beta} = C_{l_{\beta_{WB}}} + \textcolor{blue}{C_{l_{\beta_H}}} + C_{l_{\beta_V}}$$

در رابطه اخیر $C_{l_{\beta_H}}$ مقیاس شده است، به عبارت دیگر اگر $C_{l_{\beta_H}}$ براساس خواص هندسی/آیرودینامیکی خودش موجود باشد و آن را $\bar{C}_{l_{\beta_H}}$ بنامیم، روش مقیاس نمودن به صورت زیر خواهد بود:

$$\bar{C}_{l_{\beta_H}} \beta \bar{q}_H S_H b_H = C_{l_{\beta_H}} \beta \bar{q} S b$$

$$\Rightarrow \boxed{C_{l_{\beta_H}} = \bar{C}_{l_{\beta_H}} \frac{\bar{q}_H}{\bar{q}} \frac{S_H}{S} \frac{b_H}{b}}$$

$$C_l = C_{l_0} + C_{l_\beta} \beta + C_{l_{\delta_A}} \delta_A + C_{l_{\delta_R}} \delta_R$$

• گشتاور رول (Rolling Moment)

Dihedral Effect: $C_{l_\beta} = C_{l_{\beta_{WB}}} + C_{l_{\beta_H}} + C_{l_{\beta_V}}$

(a) اثر زاویه دایه‌درال در ایجاد C_{l_β}

Boeing 737

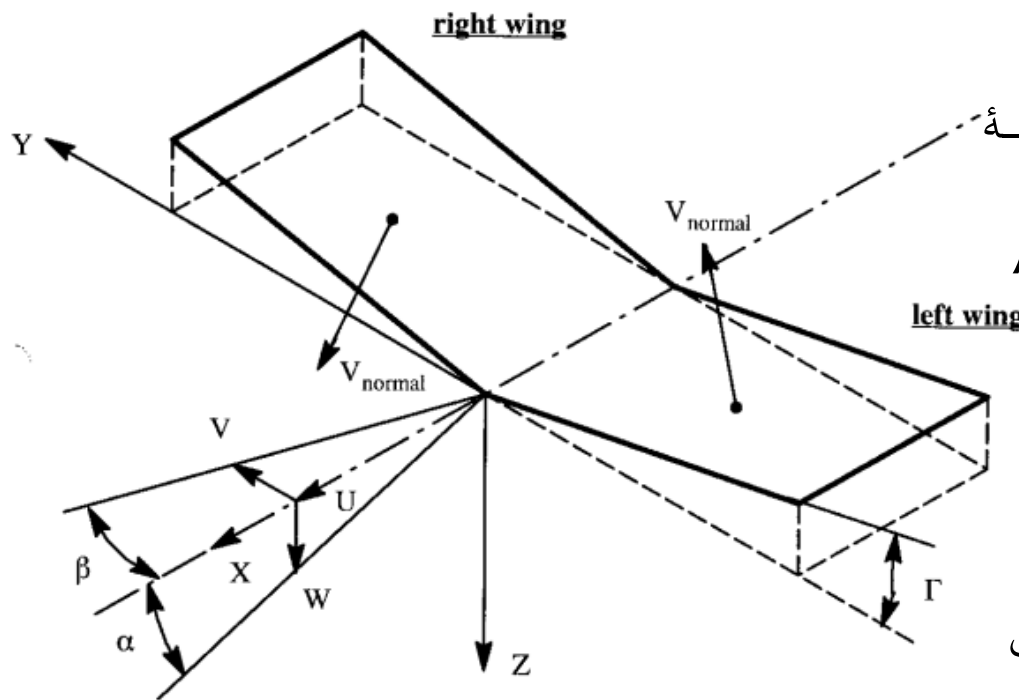


$$C_l = C_{l_0} + C_{l_\beta} \beta + C_{l_{\delta_A}} \delta_A + C_{l_{\delta_R}} \delta_R$$

• گشتاور رول (Rolling Moment)

$$\text{Dihedral Effect: } C_{l_\beta} = C_{l_{\beta_{WB}}} + C_{l_{\beta_H}} + C_{l_{\beta_V}}$$

(a) اثر زاویه دایهدرال در ایجاد C_{l_β}



یک سطح برآزا (بال یا دم افقی) با زاویه

$$\Gamma > 0 \text{ (هفتی شکل) در مواجهه با } \beta > 0$$

دچار رول منفی خواهد شد.

در این حالت بال راست دچار افزایش زاویه حمله

محلی به میزان $\Delta\alpha \simeq \Gamma\beta$ خواهد شد که

موجب افزایش برآ می شود و بال چپ نیز به همین

میزان دچار کاهش زاویه حمله می شود. بنابراین ←

ایجاد رول منفی

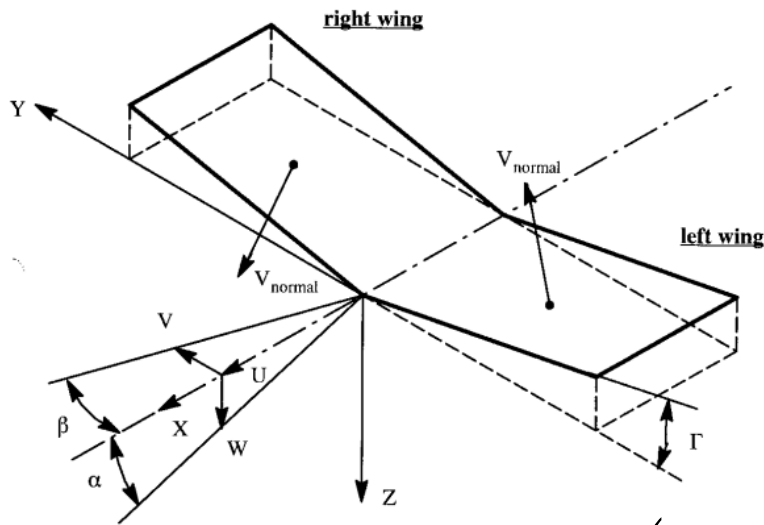
$$V_{n_R} = w \cos \Gamma + v \sin \Gamma = w + v\Gamma \rightarrow \Delta\alpha \simeq \frac{v\Gamma}{V_p} = \frac{V_p \sin(\beta) \Gamma}{V_p} = \Gamma\beta$$

$$C_l = C_{l_0} + C_{l_\beta} \beta + C_{l_{\delta_A}} \delta_A + C_{l_{\delta_R}} \delta_R$$

• گشتاور رول (Rolling Moment)

Dihedral Effect: $C_{l_\beta} = C_{l_{\beta WB}} + C_{l_{\beta H}} + C_{l_{\beta V}}$

(a) اثر زاویه دایهدرال در ایجاد $C_{l_{\beta W}}$



$$C_{l_{\beta W}} \beta \bar{q} S b = -2 \left(C_{L_{\alpha W}} \Delta \alpha \bar{q} S \right) \frac{b}{4} = -C_{L_{\alpha W}} \Gamma \beta \bar{q} S \frac{b}{2} \rightarrow$$

$$C_{l_{\beta W}} = -\frac{\Gamma}{2} C_{L_{\alpha W}}$$

$$C_l = C_{l_0} + C_{l_\beta} \beta + C_{l_{\delta_A}} \delta_A + C_{l_{\delta_R}} \delta_R$$

• گشتاور رول (Rolling Moment)

Dihedral Effect: $C_{l_\beta} = C_{l_{\beta_{WB}}} + C_{l_{\beta_H}} + C_{l_{\beta_V}}$

(b) اثر موقعیت نصب در ایجاد C_{l_β}



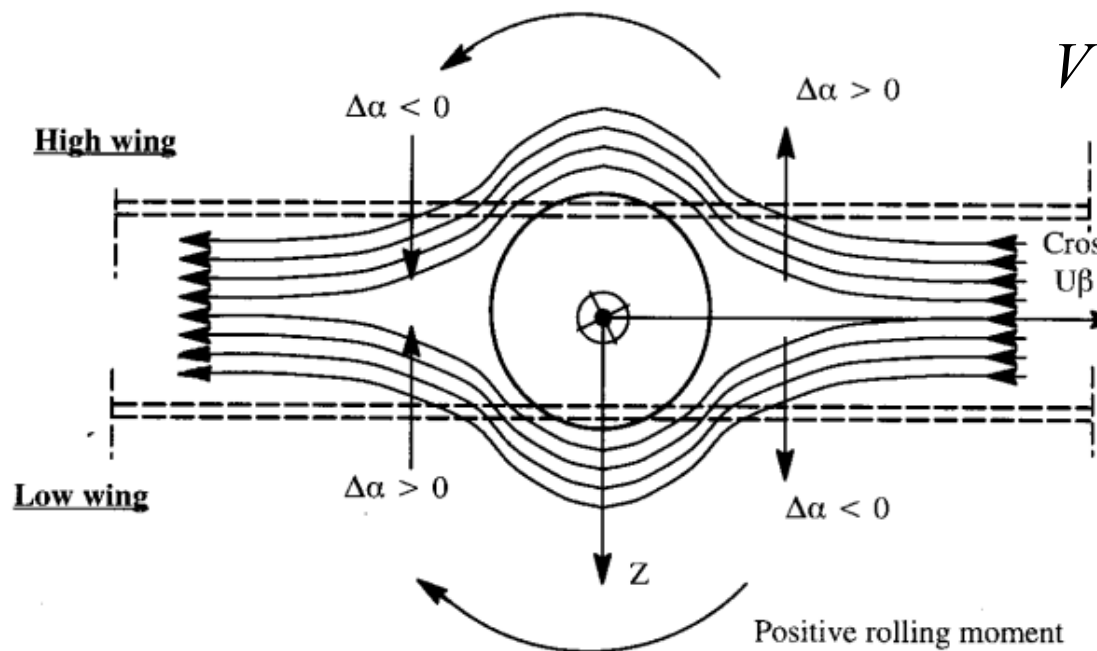
$$C_l = C_{l_0} + C_{l_\beta} \beta + C_{l_{\delta_A}} \delta_A + C_{l_{\delta_R}} \delta_R$$

• گشتاور رول (Rolling Moment)

$$\text{Dihedral Effect: } C_{l_\beta} = C_{l_{\beta_{WB}}} + C_{l_{\beta_H}} + C_{l_{\beta_V}}$$

(b) اثر موقعیت نصب در ایجاد C_{l_β}

با فرض $\beta > 0$ و موقعیت نصب یک سطح برآزا در بالای بدنه هواپیما می توان نشان داد که هواپیما دچار یک رول منفی خواهد شد. با فرض یک جریان پتانسیل روی هواپیما



با جریان عرضی به میزان $V = V_p \beta$

ملاحظه می گردد که بال راست دچار

افزایش سرعت های عمودی محلی y

خواهد شد و بال چپ دچار کاهش.

← ایجاد رول منفی

$$C_l = C_{l_0} + C_{l_\beta} \beta + C_{l_{\delta_A}} \delta_A + C_{l_{\delta_R}} \delta_R$$

• گشتاور رول (Rolling Moment)

Dihedral Effect: $C_{l_\beta} = C_{l_{\beta WB}} + C_{l_{\beta H}} + C_{l_{\beta V}}$

(c) اثر زاویه عقب گرد بال Sweep در ایجاد C_{l_β}

می توان نشان داد که در شرایط $\Lambda > 0$ و $\beta > 0$

افزایش سرعت های محلی عمود بر پیل بال راست

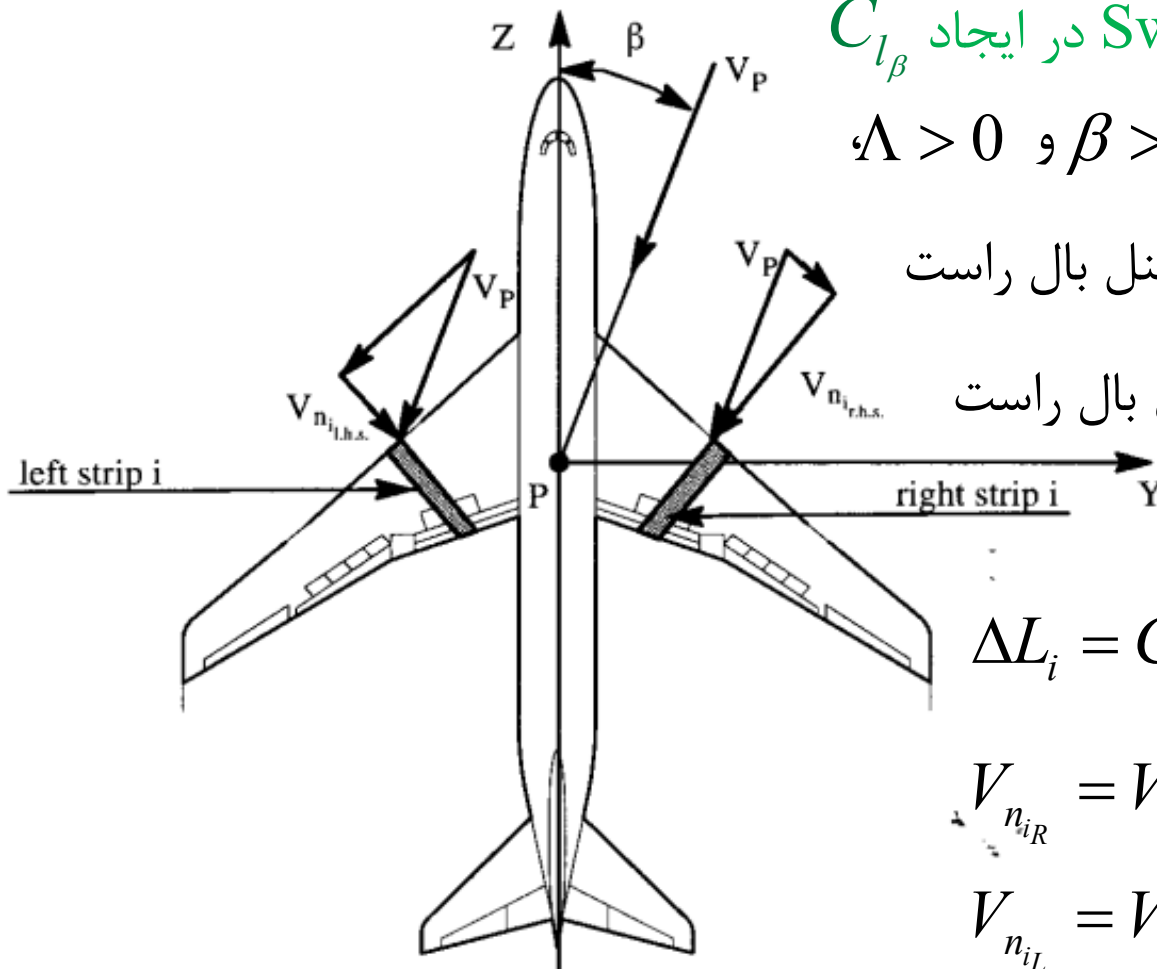
← افزایش فشارهای دینامیکی روی بال راست

← ایجاد رول منفی

$$\Delta L_i = C_{L_i} \bar{q}_i S_i = C_{L_i} S_i \frac{1}{2} \rho V_{n_{iR}}^2$$

$$V_{n_{iR}} = V_{p1} \cos(\Lambda - \beta)$$

$$V_{n_{iL}} = V_{p1} \cos(\Lambda + \beta)$$



$$C_l = C_{l_0} + \color{red}{C_{l_\beta}} \beta + C_{l_{\delta_A}} \delta_A + C_{l_{\delta_R}} \delta_R$$

• گشتاور رول (Rolling Moment)

Dihedral Effect: $C_{l_\beta} = \color{blue}{C_{l_{\beta_{WB}}}} + \color{blue}{C_{l_{\beta_H}}} + C_{l_{\beta_V}}$

(c) اثر زاویه عقب گرد بال Sweep در ایجاد C_{l_β}

$$\begin{aligned} \Delta L (\text{Rolling Moment}) &= -y_i C_{L_i} \frac{1}{2} \rho S_i V_P^2 \left\{ \cos^2 (\Lambda - \beta) - \cos^2 (\Lambda + \beta) \right\} \\ &= -y_i C_{L_i} \bar{q} S_i \{ 2\beta \sin 2\Lambda \} \quad \beta \ll 1 \end{aligned}$$

$$\rightarrow C_{l_\beta} = \frac{\partial \Delta L}{\partial \beta} \propto - \begin{cases} \sin 2\Lambda \\ \text{Lift} \end{cases}$$

که گویای دو نکته است:

– Highly Swept Wings دارای $C_{l_{\beta_W}}$ منفی بزرگ خواهد بود.

50 در مانوآرهای با برای بالا (High Lift) و سرعت کم، $C_{l_{\beta_W}}$ منفی بزرگ خواهد بود.

$$C_l = C_{l_0} + C_{l_\beta} \beta + C_{l_{\delta_A}} \delta_A + C_{l_{\delta_R}} \delta_R$$

• گشتاور رول (Rolling Moment)

Dihedral Effect: $C_{l_\beta} = C_{l_{\beta_{WB}}} + C_{l_{\beta_H}} + C_{l_{\beta_V}}$

(a) اثر زاویه عقب گرد بال Sweep در ایجاد $C_{l_{\beta_W}}$

$$\begin{aligned} \Delta L (\text{Rolling Moment}) &= -y_i C_{L_i} \frac{1}{2} \rho S_i V_P^2 \left\{ \cos^2 (\Lambda - \beta) - \cos^2 (\Lambda + \beta) \right\} \\ &= -y_i C_{L_i} \bar{q} S_i \{ 2\beta \sin 2\Lambda \} \quad \beta \ll 1 \end{aligned}$$

$$C_{l_{\beta_W}} \beta \bar{q} S b = -2 \frac{b}{4} C_{L_W} \bar{q} S \beta \sin 2\Lambda \rightarrow$$

$$\boxed{C_{l_{\beta_W}} = -\frac{1}{2} C_{L_W} \sin 2\Lambda}$$

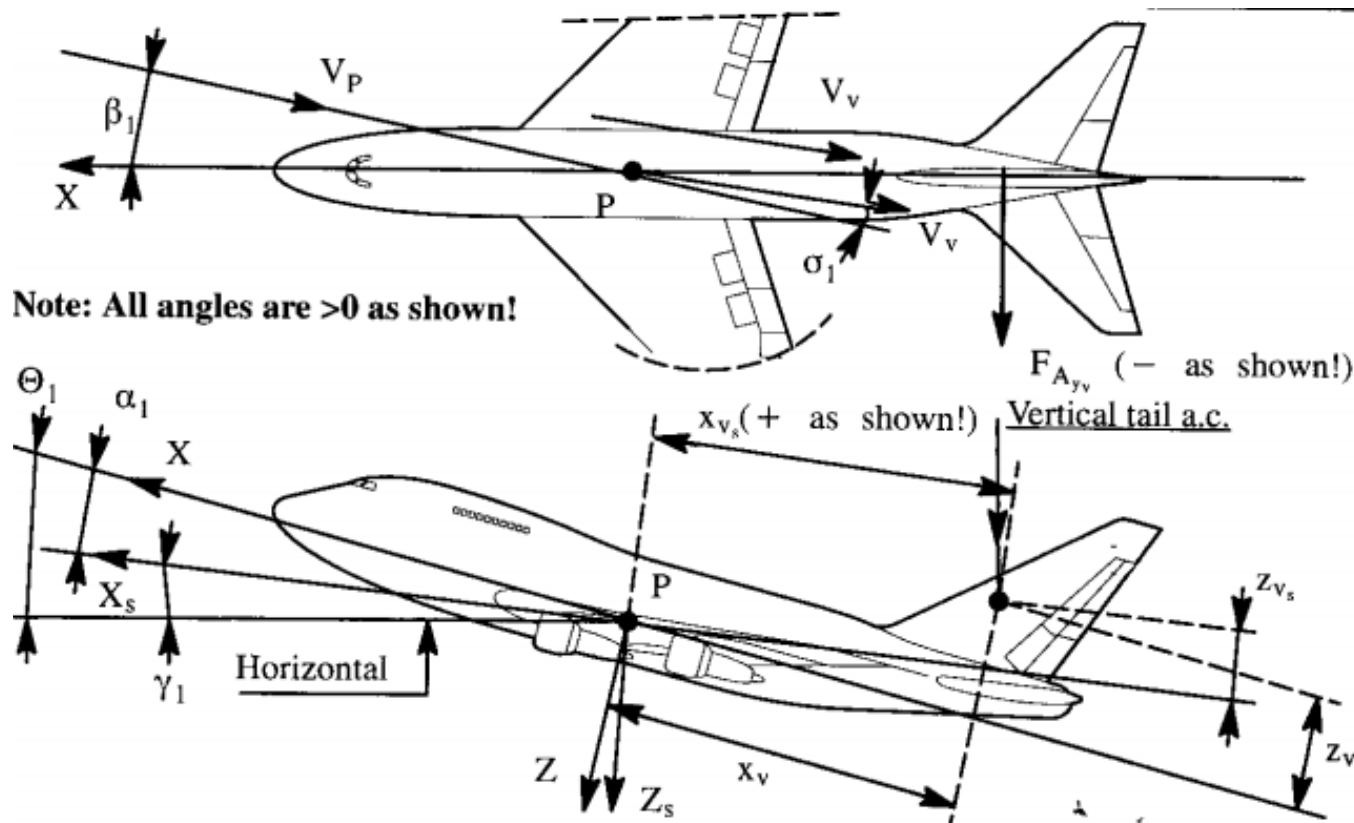
$$C_l = C_{l_0} + C_{l_\beta} \beta + C_{l_{\delta_A}} \delta_A + C_{l_{\delta_R}} \delta_R$$

• گشتاور رول (Rolling Moment)

$$\text{Dihedral Effect: } C_{l_\beta} = C_{l_{\beta_{WB}}} + C_{l_{\beta_H}} + C_{l_{\beta_V}}$$

اثر دم عمودی در ایجاد C_{l_β}

تاثیر دم عمودی در تولید گشتاور رول را می توان در شکل و روابط زیر ملاحظه کرد.



• گشتاور رول (Rolling Moment)

$$C_l = C_{l_0} + C_{l_\beta} \beta + C_{l_{\delta_A}} \delta_A + C_{l_{\delta_R}} \delta_R$$

Dihedral Effect: $C_{l_\beta} = C_{l_{\beta_{WB}}} + C_{l_{\beta_H}} + C_{l_{\beta_V}}$

Sidewash Angle $\sigma = \sigma_0 + \frac{d\sigma}{d\beta} \beta$

$$C_{L_V} = C_{L_{\alpha_V}} (\beta - \sigma) = C_{L_{\alpha_V}} \left(1 - \frac{d\sigma}{d\beta} \right) \beta$$

$$F_V = C_{L_{\alpha_V}} (\beta - \sigma) \bar{q}_V S_V$$

$$C_{l_{\beta_V}} \beta \bar{q} S b = -C_{L_{\alpha_V}} \left(1 - \frac{d\sigma}{d\beta} \right) \beta \bar{q}_V S_V Z_{V_s}$$

$$\Rightarrow \boxed{C_{l_{\beta_V}} = -C_{L_{\alpha_V}} \left(1 - \frac{d\sigma}{d\beta} \right) \eta_V \frac{S_V}{S} \frac{Z_{V_s}}{b}}$$

زمانی که مرکز اثرودینامیک

دم عمودی بالای محور

تعادلی X باشد، ممان رول به

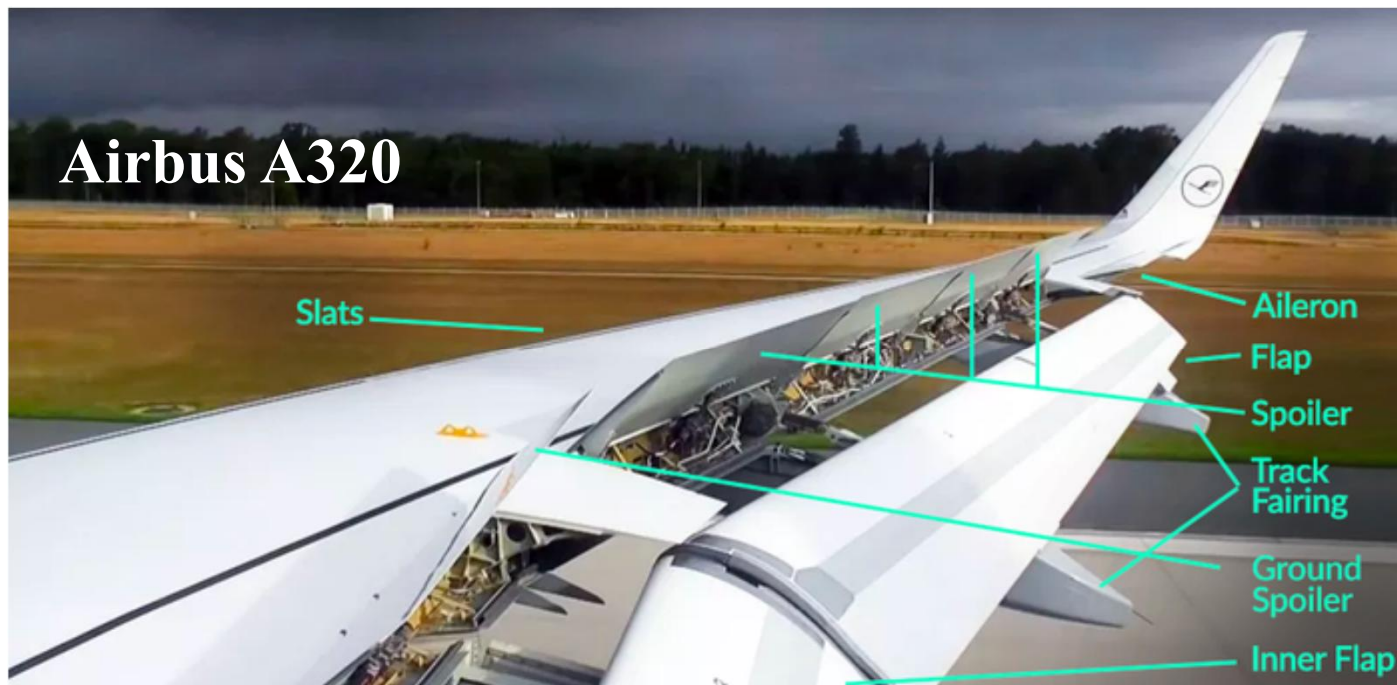
خاطر β تولید خواهد شد.

$$C_l = C_{l_0} + C_{l_\beta} \beta + C_{l_{\delta_A}} \delta_A + C_{l_{\delta_R}} \delta_R$$

• گشتاور رول (Rolling Moment)

کنترل رُل در هواپیما از طریق سطوح زیر امکان پذیر است:

- a) Ailerons
- b) Spoiler
- c) Differential Stabilizer



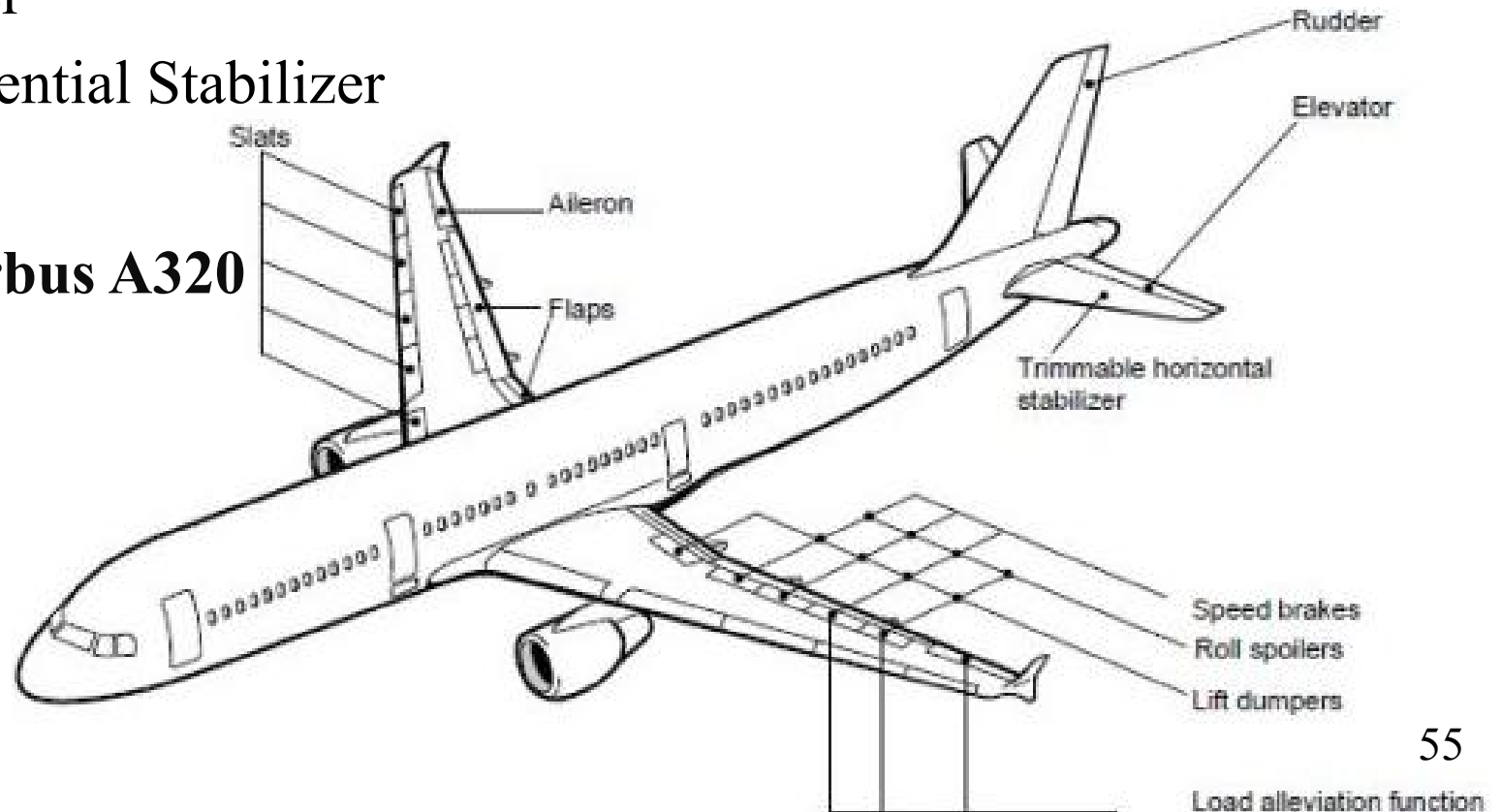
$$C_l = C_{l_0} + C_{l_\beta} \beta + C_{l_{\delta_A}} \delta_A + C_{l_{\delta_R}} \delta_R$$

• گشتاور رول (Rolling Moment)

کنترل رُل در هواپیما از طریق سطوح زیر امکان پذیر است:

- a) Ailerons
- b) Spoiler
- c) Differential Stabilizer

Airbus A320



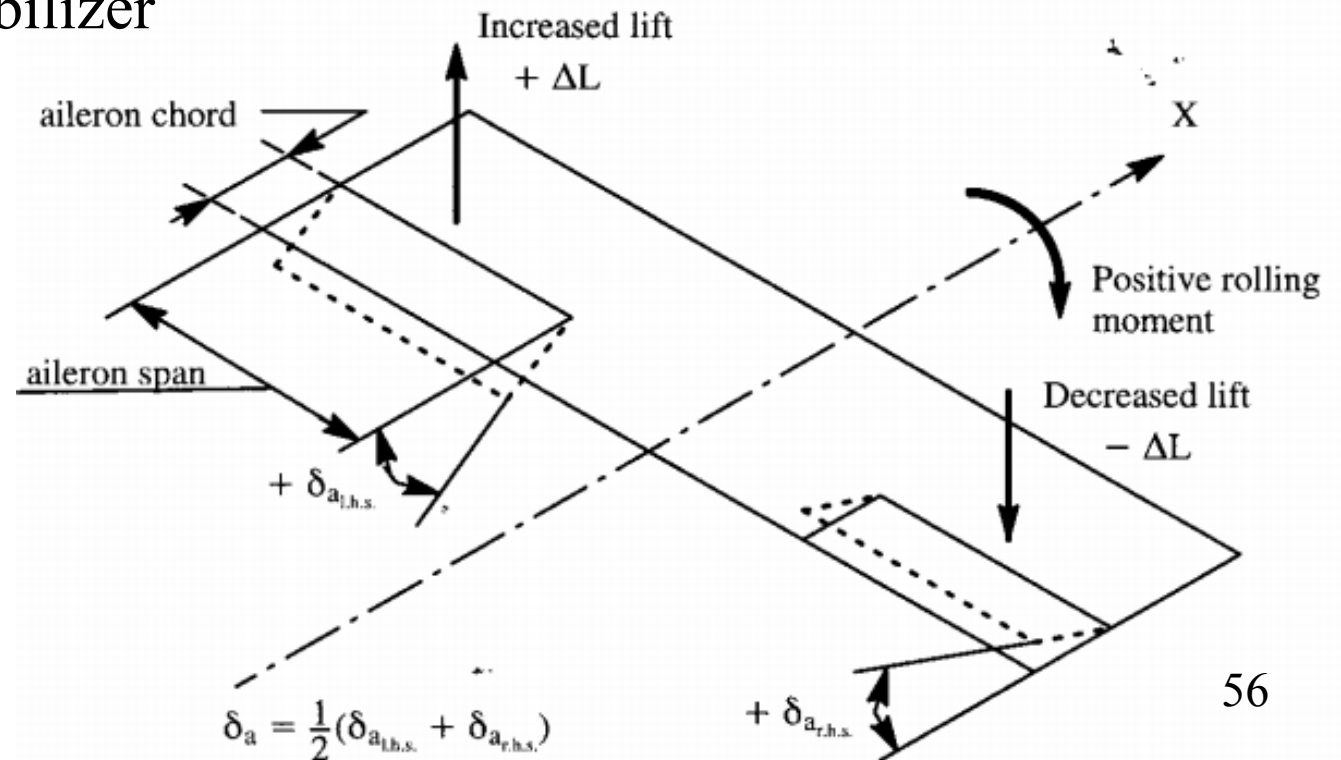
$$C_l = C_{l_0} + C_{l_\beta} \beta + C_{l_{\delta_A}} \delta_A + C_{l_{\delta_R}} \delta_R$$

• گشتاور رول (Rolling Moment)

$C_{l_{\delta_a}}$

کنترل رول در هواپیما از طریق سطوح زیر امکان پذیر است:

- a) Ailerons
- b) Spoiler
- c) Differential Stabilizer



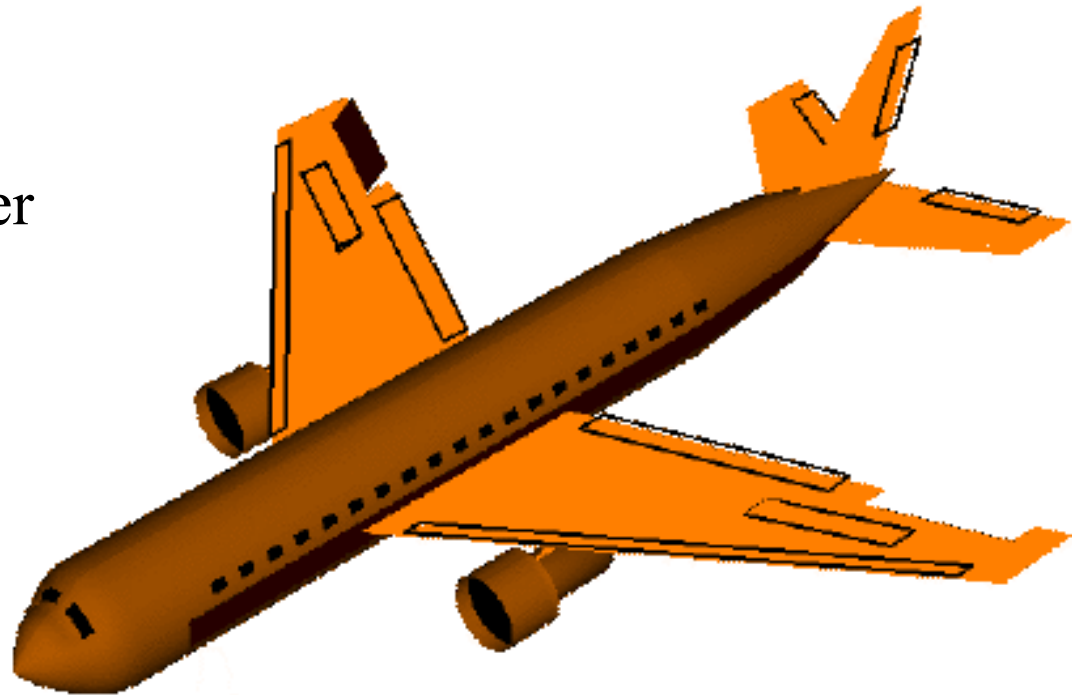
$$C_l = C_{l_0} + C_{l_\beta} \beta + C_{l_{\delta_A}} \delta_A + C_{l_{\delta_R}} \delta_R$$

• گشتاور رول (Rolling Moment)

$C_{l_{\delta_a}}$

کنترل رول در هواپیما از طریق سطوح زیر امکان پذیر است:

- a) Ailerons
- b) Spoiler
- c) Differential Stabilizer



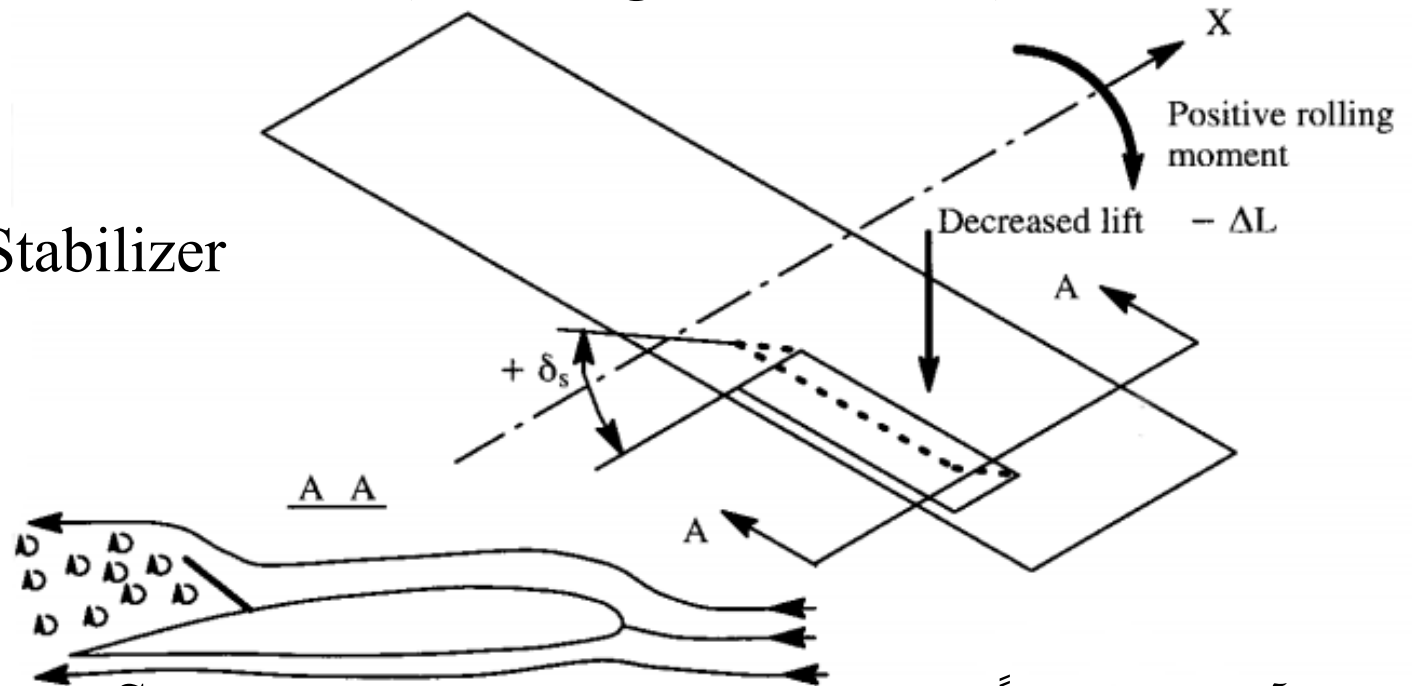
$$C_l = C_{l_0} + C_{l_\beta} \beta + C_{l_{\delta_A}} \delta_A + C_{l_{\delta_R}} \delta_R$$

• گشتاور رول (Rolling Moment)

$C_{l_{\delta_a}}$

- a) Ailerons
- b) Spoiler
- c) Differential Stabilizer

کنترل رول در هواپیما از طریق سطوح زیر امکان پذیر است:



آیلرون ها اکثراً در سرعت های کم و برای زوایای Sweep کوچک استفاده می شوند. در سرعت های بالا و Sweep های نسبتاً زیاد اثرات آیروالاستیسیته از اثرپذیری این سطوح کم کرده و یا مشکلاتی در رابطه با استفاده از آنها ایجاد می کند و در این حالات از Spoiler ها استفاده خواهد شد.

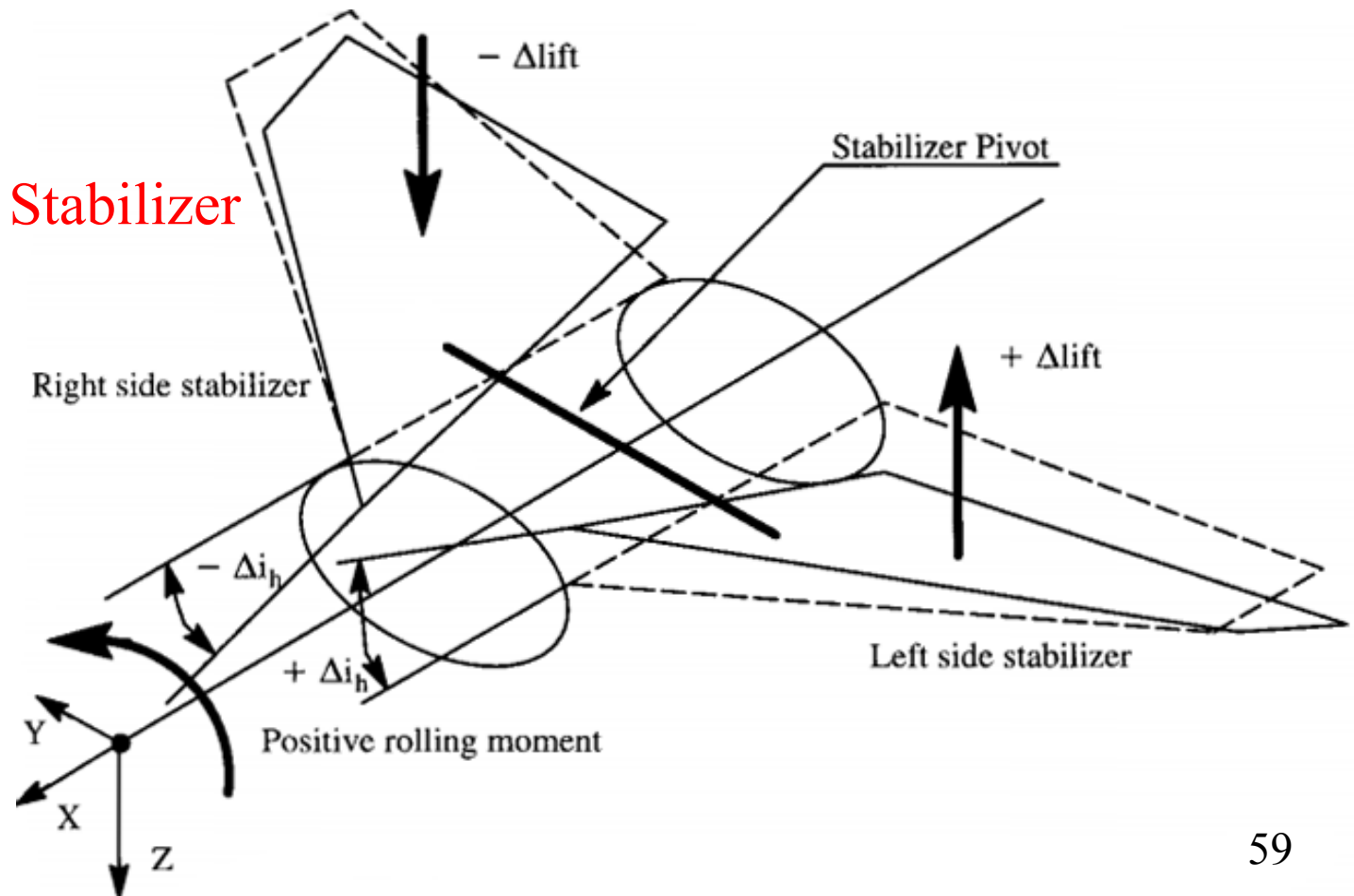
$$C_l = C_{l_0} + C_{l_\beta} \beta + C_{l_{\delta_A}} \delta_A + C_{l_{\delta_R}} \delta_R$$

• گشتاور رول (Rolling Moment)

$C_{l_{\delta_a}}$

کنترل رول در هواپیما از طریق سطوح زیر امکان پذیر است:

- a) Ailerons
- b) Spoiler
- c) Differential Stabilizer

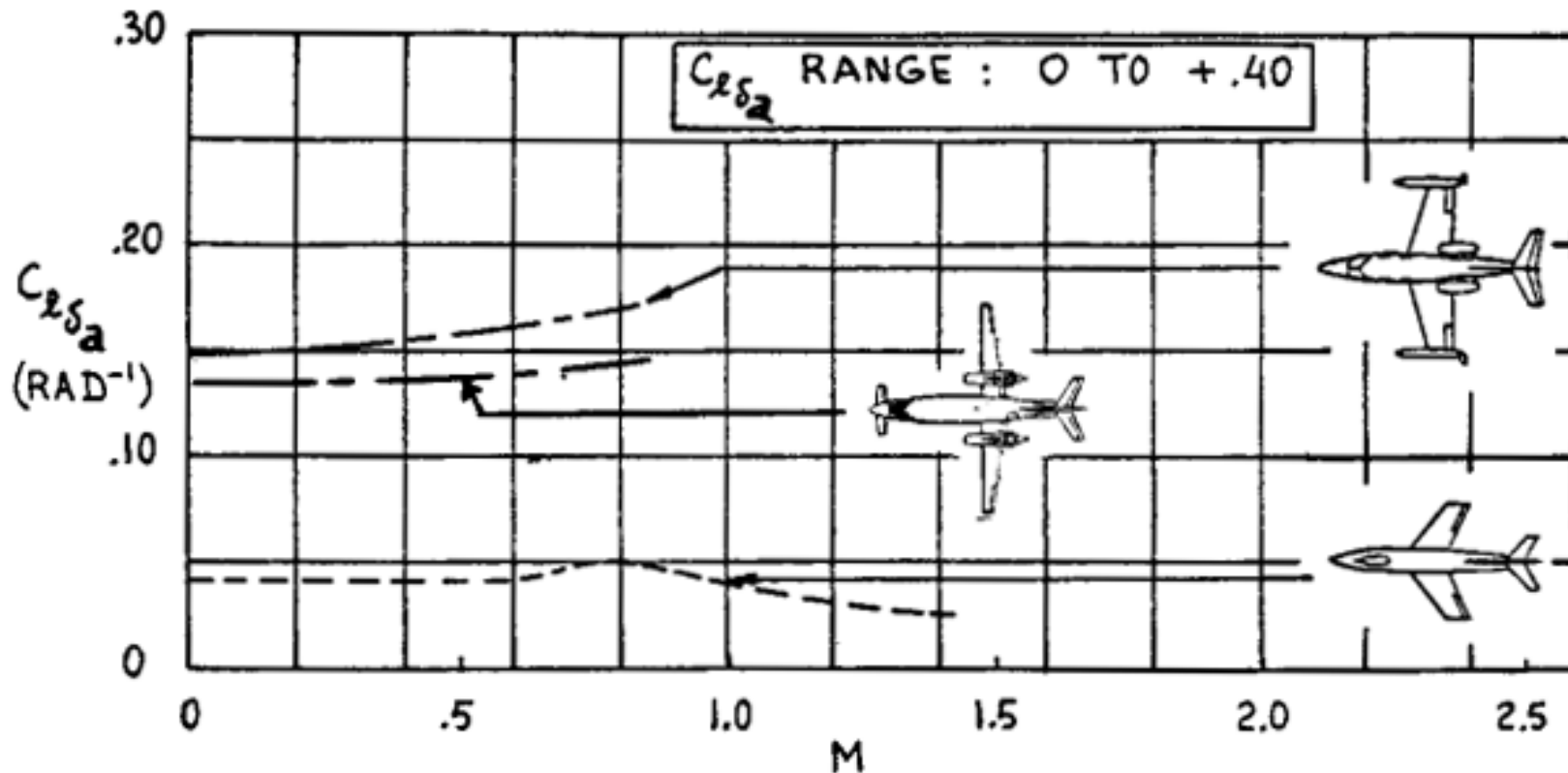


$$C_l = C_{l_0} + C_{l_\beta} \beta + C_{l_{\delta_A}} \delta_A + C_{l_{\delta_R}} \delta_R$$

• گشتاور رول (Rolling Moment)

$C_{l_{\delta_a}}$

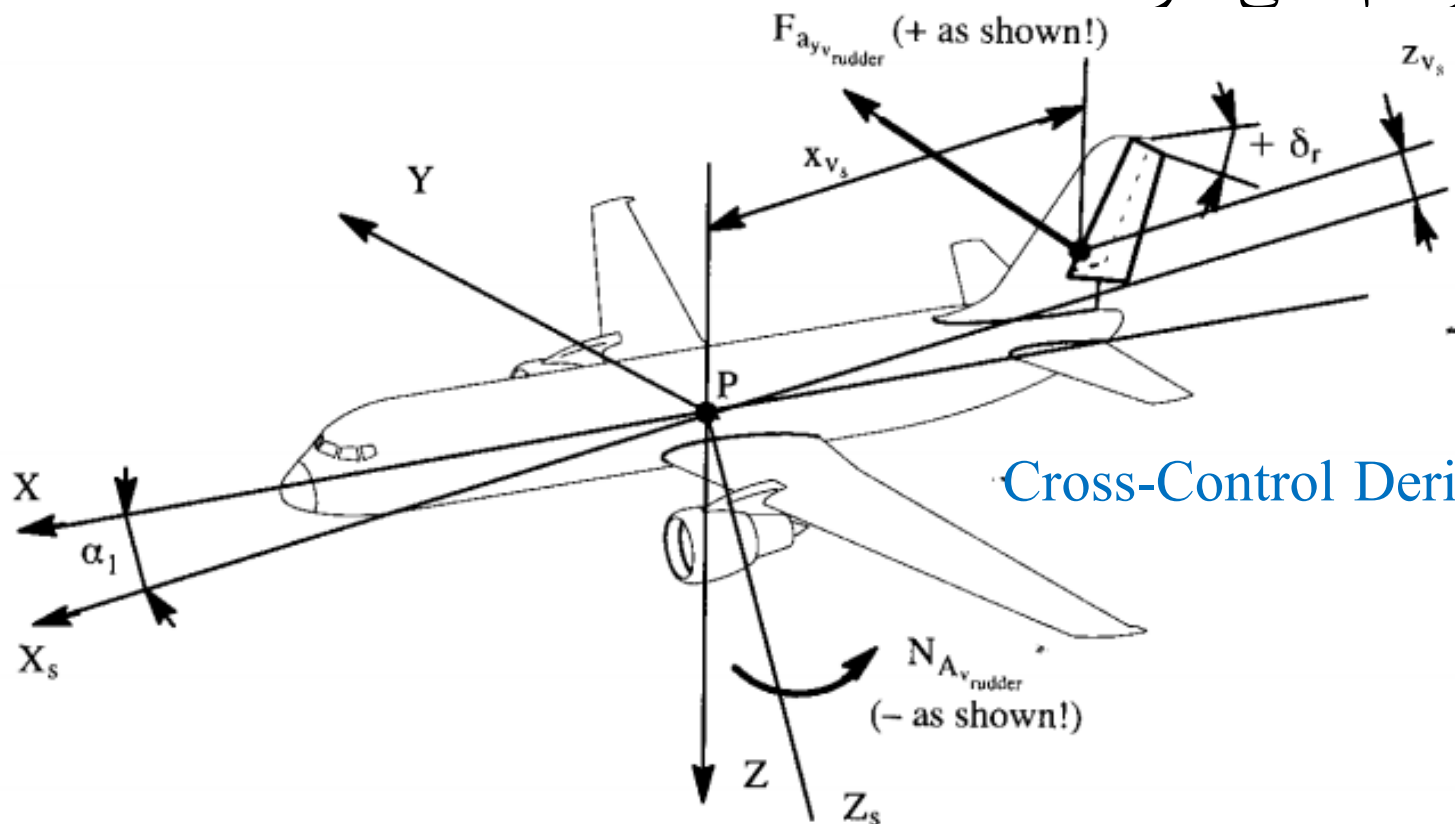
تأثیر عدد ماخ بر روی مشتق $C_{l_{\delta_A}}$ برای چند هواپیمای مختلف



$$C_l = C_{l_0} + C_{l_\beta} \beta + C_{l_{\delta_A}} \delta_A + C_{l_{\delta_R}} \delta_R$$

• گشتاور رول (Rolling Moment)

می توان نشان داد که یک δ_R مثبت (علاوه بر ایجاد Yaw) می تواند در صورت وجود بازوی عمودی Z_{V_s} یک رُل مثبت نیز ایجاد کند که به عنوان یک اثر جانبی مزاحم تلقی خواهد شد.



به این مشتق Cross-Control Derivative

نیز گفته می شود!

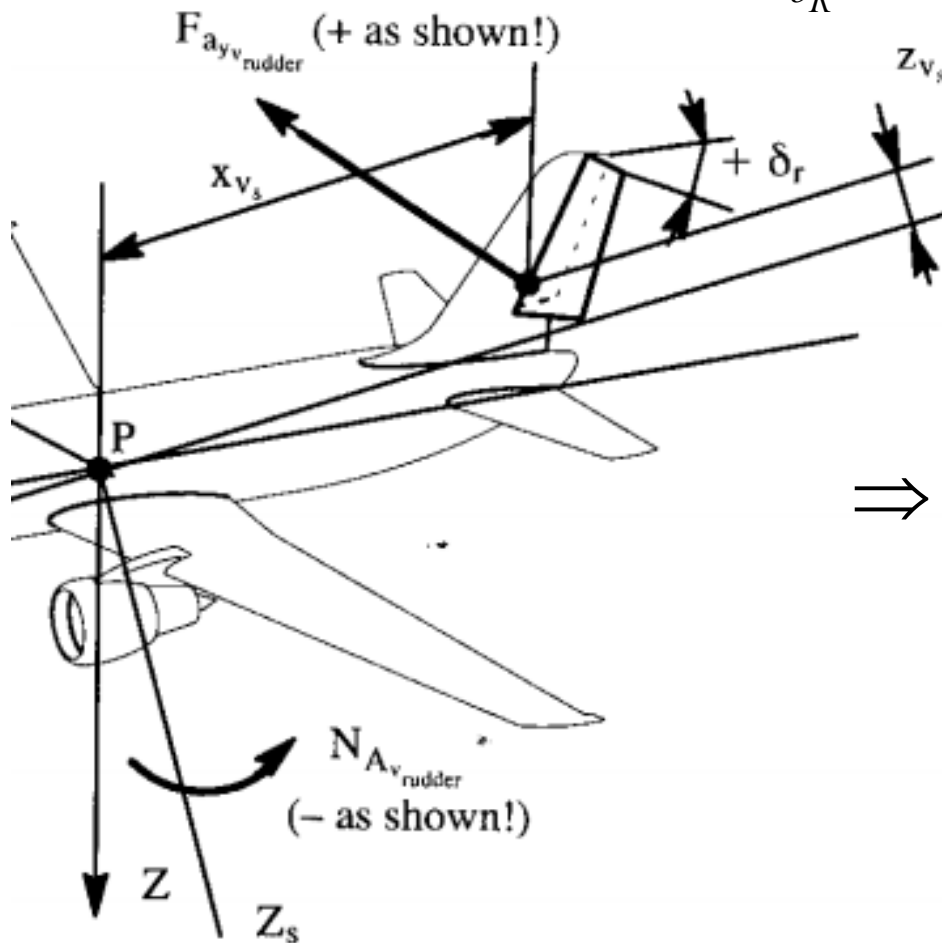
$$C_l = C_{l_0} + C_{l_\beta} \beta + C_{l_{\delta_A}} \delta_A + C_{l_{\delta_R}} \delta_R$$

• گشتاور رول (Rolling Moment)

$C_{l_{\delta_R}}$

$$C_{l_{\delta_R}} \delta_R \bar{q} S b = C_{L_{\alpha_V}} \left[\alpha_{\delta_R} \delta_R \right] \bar{q}_V S_V Z_{V_s}$$

$$\alpha_{\delta_R} = \frac{\partial \alpha_V}{\partial \delta_R} \quad ; \quad 1 \leq \alpha_{\delta_R} \leq 1$$



$$\Rightarrow C_{l_{\delta_R}} = C_{L_{\alpha_V}} \alpha_{\delta_R} \frac{\bar{q}_V}{\bar{q}} \frac{S_V}{S} \frac{Z_{V_s}}{b}$$

• نیروی جانبی (Side Force)

$$F_{A_y} = C_y \bar{q} S$$

$$C_y = C_{y_0} + C_{y_\beta} \beta + C_{y_{\delta_A}} \delta_A + C_{y_{\delta_R}} \delta_R$$

C_{y_0} = Side force coef. for zero β & zero control deflections

(usually it is zero for A/C with xz plane of symmetry)

C_{y_β} = Change in side force coef. due to unit change in sideslip angle

$C_{y_{\delta_A}}$ = Change in C_y due to unit change in aileron deflection

$C_{y_{\delta_R}}$ = Change in C_y due to unit change in rudder deflection

این مشتقات در هر حالت دائم، برای **ماخ ثابت** و **زاویه حمله ثابت** محاسبه شده است.

$$C_y = C_{y_0} + C_{y\beta} \beta + C_{y\delta_A} \delta_A + C_{y\delta_R} \delta_R$$

• نیروی جانبی (Side Force)

این مشتق معمولاً از دو بخش تشکیل می‌گردد:

$$C_{y\beta} = C_{y\beta_{WB}} + C_{y\beta_V}$$

i. $C_{y\beta_{WB}} \triangleq$ Wing-Body Contribution

این مؤلفه (که معمولاً منفی است) از لحاظ مقدار نسبت به $C_{y\beta_V}$ خیلی کوچکتر بوده و همین‌طور به دلیل مشکل بودن محاسبه معمولاً صرف‌نظر می‌شود.

ii. $C_{y\beta_V} \triangleq$ Vertical Tail Contribution

در این حالت زاویه β مانند زاویه α است. این مشتق را می‌توان به صورت زیر محاسبه کرد:

$$C_{L_V} = C_{L_{\alpha_V}} \left(1 - \frac{d\sigma}{d\beta} \right) \beta$$

Sideslip

$$F_V = -C_{L_V} \bar{q}_V S_V = -C_{L_{\alpha_V}} \left(1 - \frac{d\sigma}{d\beta} \right) \beta \bar{q}_V S_V = C_{y\beta_V} \beta \bar{q} S$$

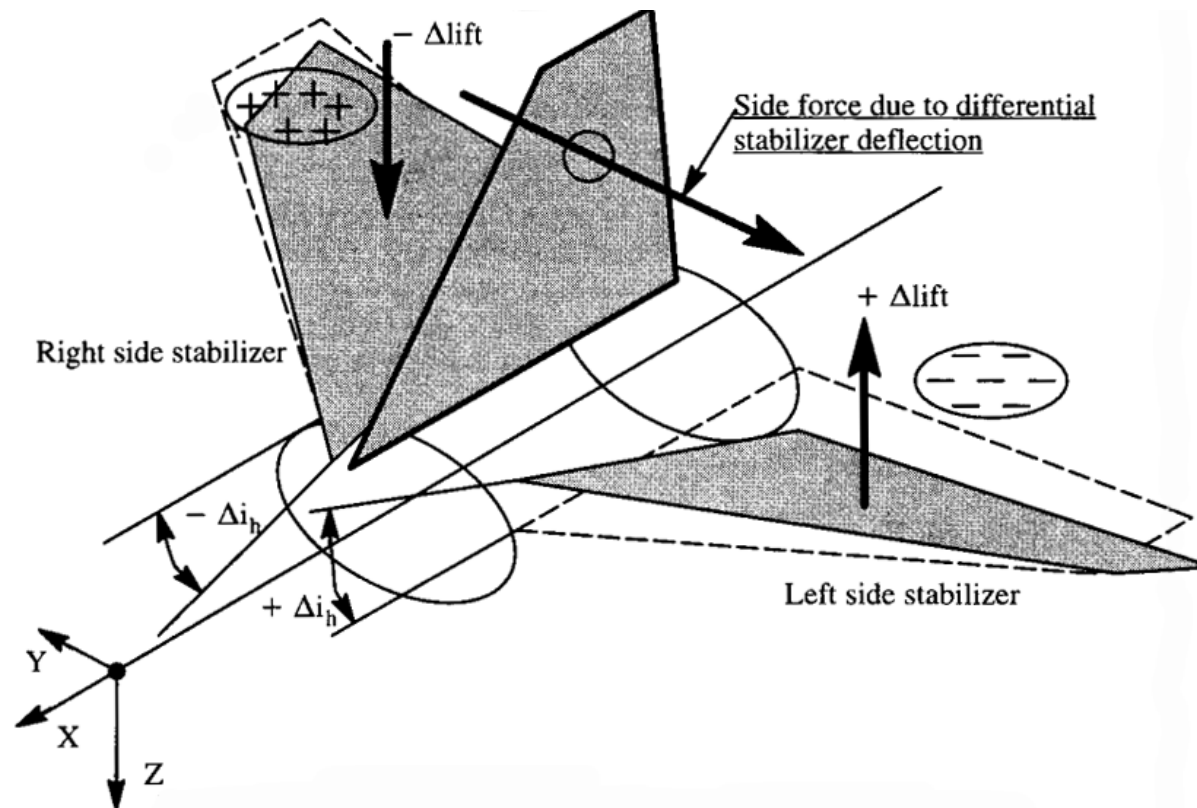
$$\Rightarrow \boxed{C_{y\beta_V} = -C_{L_{\alpha_V}} \left(1 - \frac{d\sigma}{d\beta} \right) \eta_V \frac{S_V}{S}}$$

$$C_y = C_{y_0} + C_{y_\beta} \beta + C_{y_{\delta_A}} \delta_A + C_{y_{\delta_R}} \delta_R$$

• نیروی جانبی (Side Force)

$C_{y_{\delta_A}}$

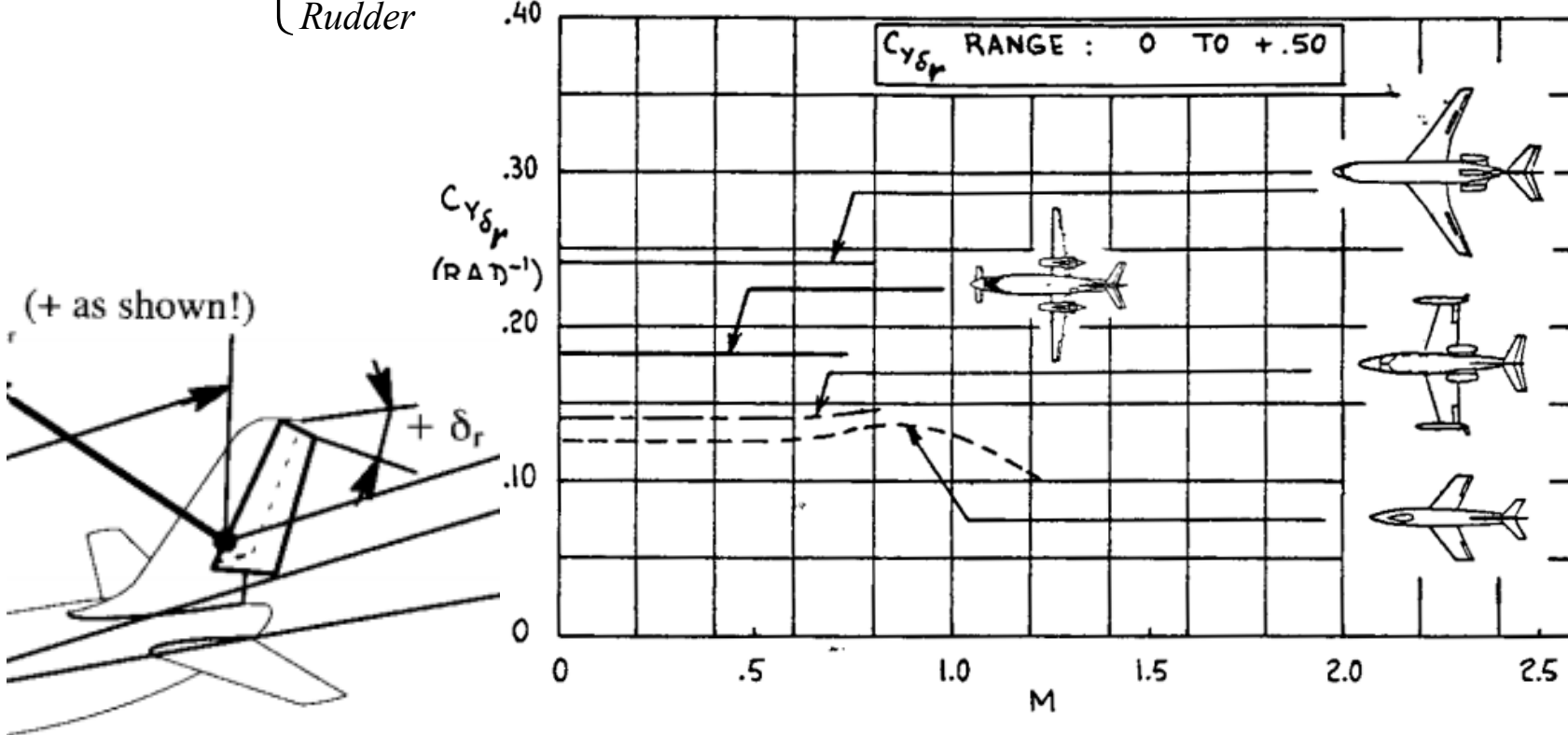
این مشتق معمولاً قابل صرف نظر می باشد، مگر در حالتی که سطوح کنترلی نزدیک دم عمودی باشد و این توزیع فشار روی دم عمودی عمل کرده و باعث Side Force خواهد شد.



$$C_y = C_{y_0} + C_{y_\beta} \beta + C_{y_{\delta_A}} \delta_A + C_{y_{\delta_R}} \delta_R$$

• نیروی جانبی (Side Force)

$$C_{y_{\delta_R}} \left\{ \begin{array}{l} F_{A_Y} = C_{y_{\delta_R}} \delta_R \bar{q} S \\ \text{Rudder} \\ F_{A_Y} = C_{L_{\alpha_V}} \alpha_{\delta_R} \delta_R \bar{q}_V S_V \\ \text{Rudder} \end{array} \right. \Rightarrow C_{y_{\delta_R}} = C_{L_{\alpha_V}} \alpha_{\delta_R} \eta_V \frac{S_V}{S}$$



• گشتاور یاو (Yaw Moment)

$$N_A = C_n \bar{q} S b$$

$$C_n = C_{n_0} + C_{n_\beta} \beta + C_{n_{\delta_A}} \delta_A + C_{n_{\delta_R}} \delta_R$$

C_{n_0} = Yawing moment coef. for zero β & zero control deflections
(zero for A/C with xz plane of symmetry)

C_{n_β} = Change in C_n due to unit β change
(Directional Stability Derivative)

$C_{n_{\delta_R}}$ = Change in C_n due to δ_R
(Directional Control Power Derivative)

$C_{n_{\delta_A}}$ = Change in C_n due to δ_A
(Cross Control Derivative)

$$C_n = C_{n_0} + C_{n_\beta} \beta + C_{n_{\delta_A}} \delta_A + C_{n_{\delta_R}} \delta_R$$

• گشتاور یاو (Yaw Moment)

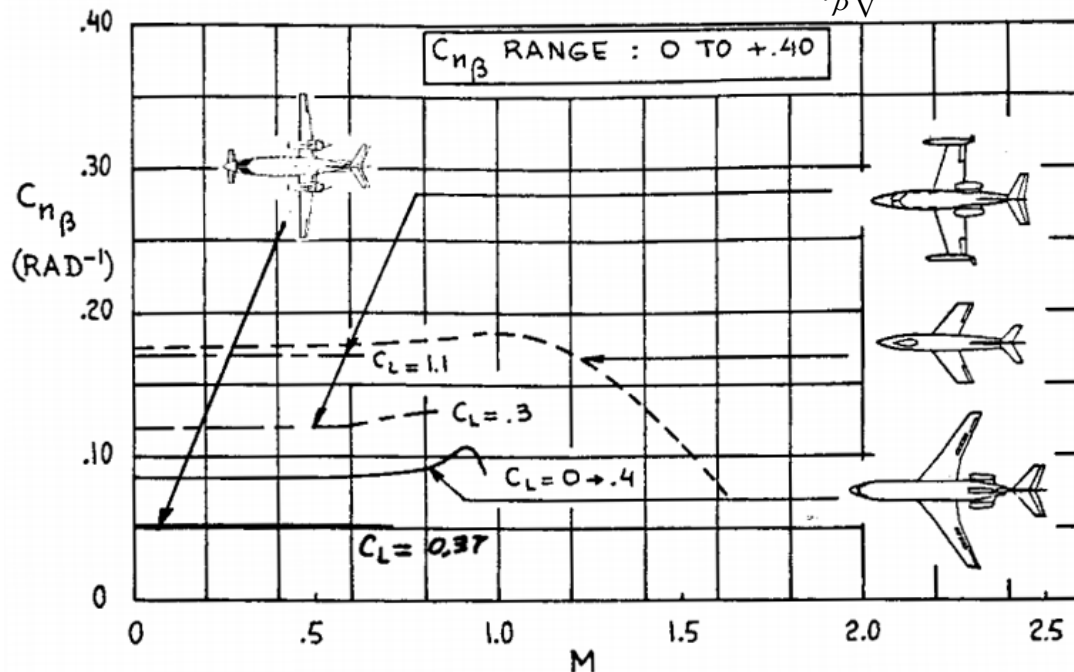
$$C_{n_\beta} = C_{n_{\beta_{WB}}} + C_{n_{\beta_V}}$$

C_{n_β} = Directional Stability Derivative

این مشتق معمولاً از دو بخش تشکیل می گردد:

i. $C_{n_{\beta_{WB}}} \triangleq$ Wing-Body Contribution

ii. $C_{n_{\beta_V}} \triangleq$ Vertical Tail Contribution



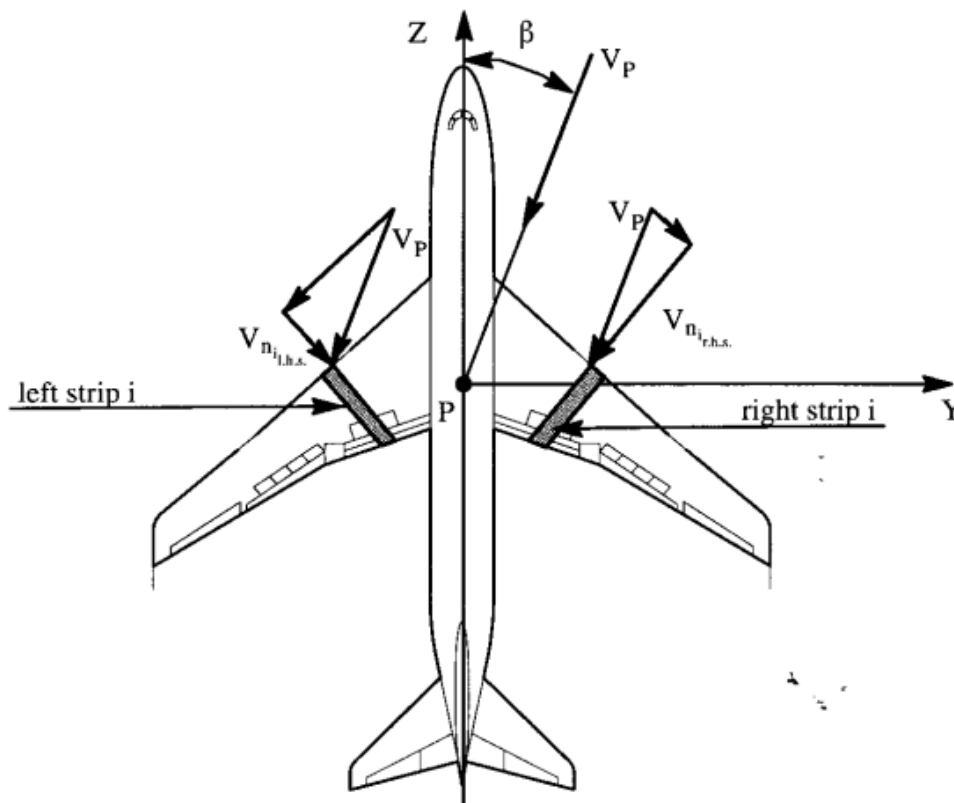
$$C_n = C_{n_0} + C_{n_\beta} \beta + C_{n_{\delta_A}} \delta_A + C_{n_{\delta_R}} \delta_R$$

• گشتاور یاو (Yaw Moment)

$$C_{n_\beta} = C_{n_{\beta_{WB}}} + C_{n_{\beta_V}}$$

$$C_{n_{\beta_{WB}}} = C_{n_{\beta_W}} + C_{n_{\beta_B}}$$

(a) اثر بال: می توان نشان داد که برای یک بال با $\Lambda > 0$ ، $C_{n_{\beta_W}} > 0$ خواهد بود که به نوبه خود در پایداری سمتی مؤثر است.



$$\begin{cases} \beta > 0 \\ \Lambda > 0 \end{cases} \Rightarrow V_{n_{i_R}} > V_{n_{i_L}} \Rightarrow \Delta L_R > \Delta L_L$$

$$\Rightarrow \Delta D_R > \Delta D_L \Rightarrow N > 0$$

• گشتاور یاو (Yaw Moment)

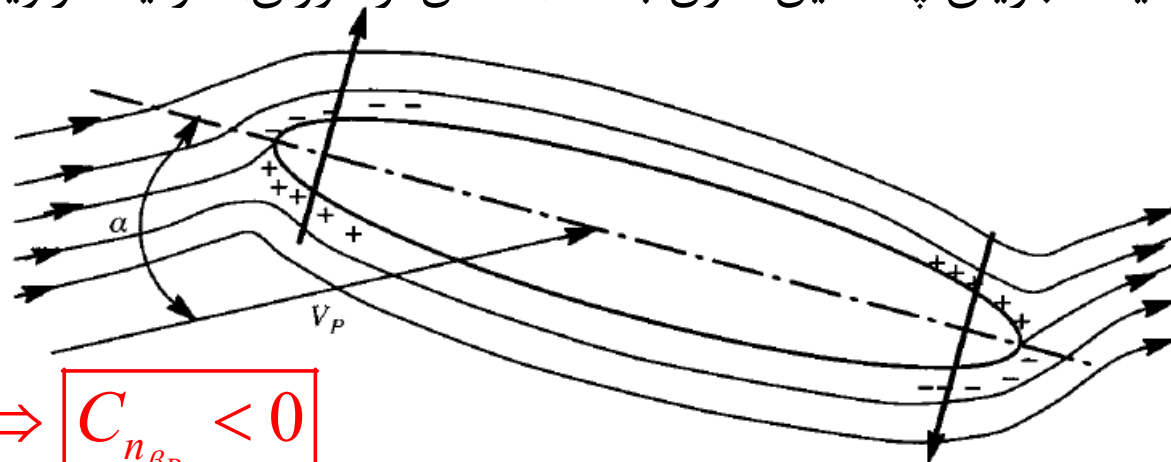
$$C_n = C_{n_0} + C_{n_\beta} \beta + C_{n_{\delta_A}} \delta_A + C_{n_{\delta_R}} \delta_R$$

$$C_{n_\beta} = C_{n_{\beta_{WB}}} + C_{n_{\beta_V}}$$

$$C_{n_{\beta_{WB}}} = C_{n_{\beta_W}} + C_{n_{\beta_B}}$$

(b) اثر بدنه: در C_{n_β} مشابه اثر بدنه در C_{m_α} می باشد و نامطلوب است. می توان از طریق

نقش بدنه در C_{m_α} به نقش بدنه در C_{n_β} نیز دست یافت. برای بررسی نقش بدنه در C_{m_α} به یک جریان پتانسیل حول بدنه (حاصل از دوران) در یک زاویه حمله دقت کنید.



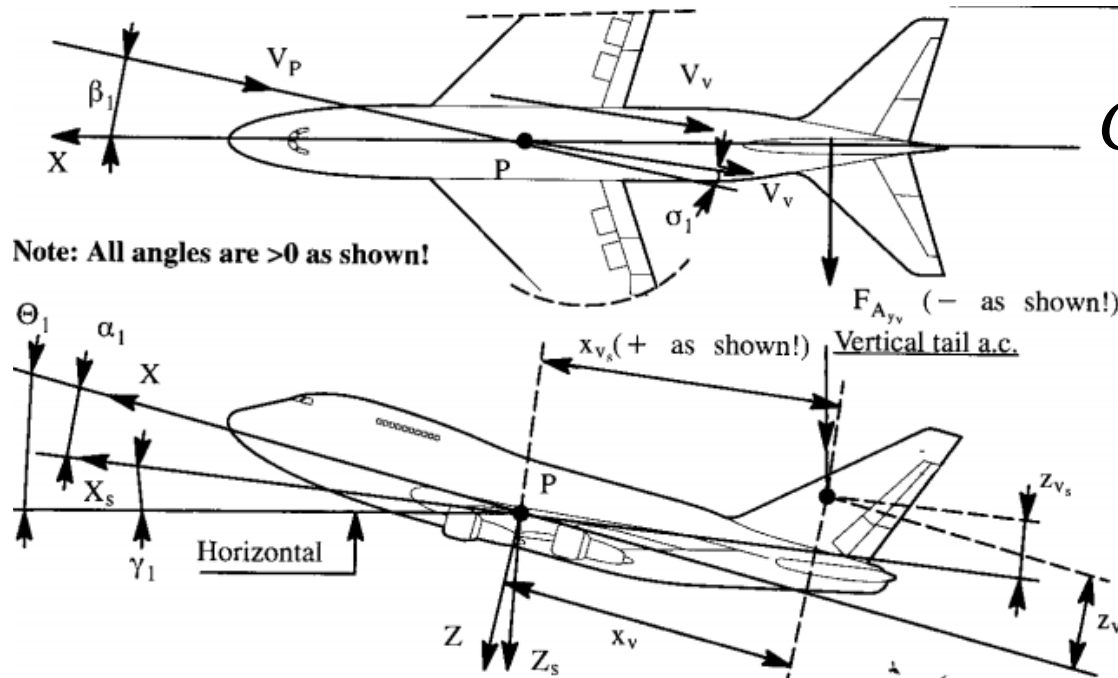
$$\boxed{\beta < 0} \Rightarrow N > 0 \Rightarrow \boxed{C_{n_{\beta_B}} < 0}$$

$$C_n = C_{n_0} + C_{n_\beta} \beta + C_{n_{\delta_A}} \delta_A + C_{n_{\delta_R}} \delta_R$$

• گشتاور یاو (Yaw Moment)

$$C_{n_\beta} = C_{n_{\beta WB}} + C_{n_{\beta V}}$$

ترکیب β با زاویه σ (Sidewash) نیروی برای روی دم عمودی ایجاد کرده که مؤلفه‌ای در جهت منفی Y_s خواهد داشت که باعث ایجاد ممان یاو مثبت خواهد شد به خاطر β که بعضی مواقع به نام اثر Weathercock (Stability) دم عمودی مطرح می‌شود که در



$C_{n_{\beta WB}}$ مواقعی که مقدار آن غلبه بر β کند تمایل به صفر کردن β خواهد داشت و باعث جلوگیری از انحراف مسیر خواهد شد.

هشدار وزش باد

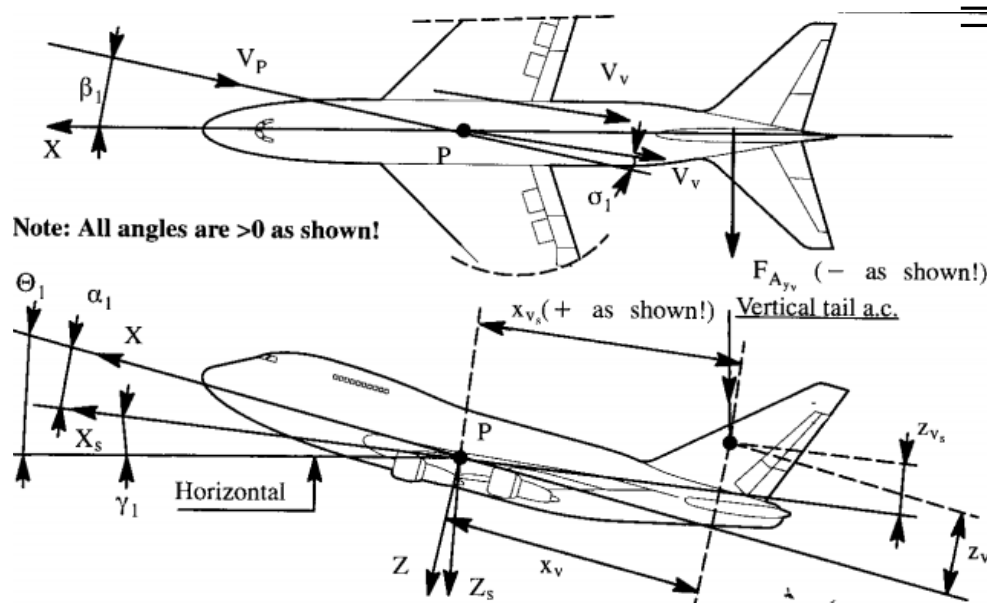
$$C_n = C_{n_0} + C_{n_\beta} \beta + C_{n_{\delta_A}} \delta_A + C_{n_{\delta_R}} \delta_R$$

• گشتاور یاءو (Yaw Moment)

$$C_{n_\beta} = C_{n_{\beta_{WB}}} + C_{n_{\beta_V}}$$

$$N_V = F_{A_{yV}} X_{V_S} = C_{L_{\alpha_V}} \left(1 - \frac{d\sigma}{d\beta} \right) \beta \bar{q}_V S_V X_{V_S} = C_{n_{\beta_V}} \beta \bar{q} S b$$

Sideslip Sideslip



$$C_{n_{\beta_V}} = C_{L_{\alpha_V}} \left(1 - \frac{d\sigma}{d\beta} \right) \eta_V \frac{S_V X_{V_S}}{S b}$$

کمیت $\bar{\eta}_V = \frac{S_V X_{V_S}}{S b}$ به عنوان

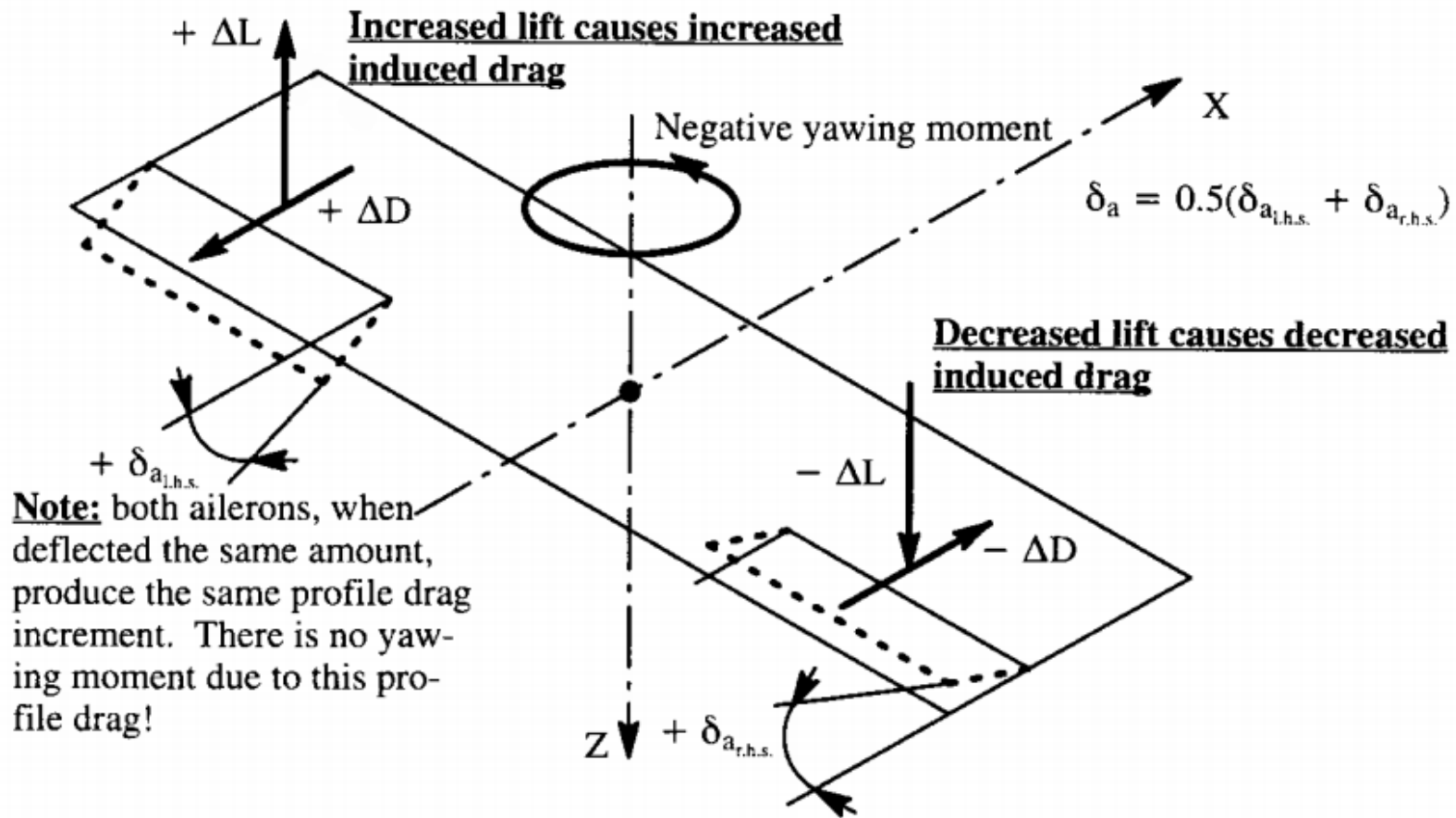
شناخته Vertical Tail Volume Coef.

می شود (اهمیت در طراحی اولیه دم عمودی)

$$C_n = C_{n_0} + C_{n_\beta} \beta + C_{n_{\delta_A}} \delta_A + C_{n_{\delta_R}} \delta_R$$

• گشتاور یاو (Yaw Moment)

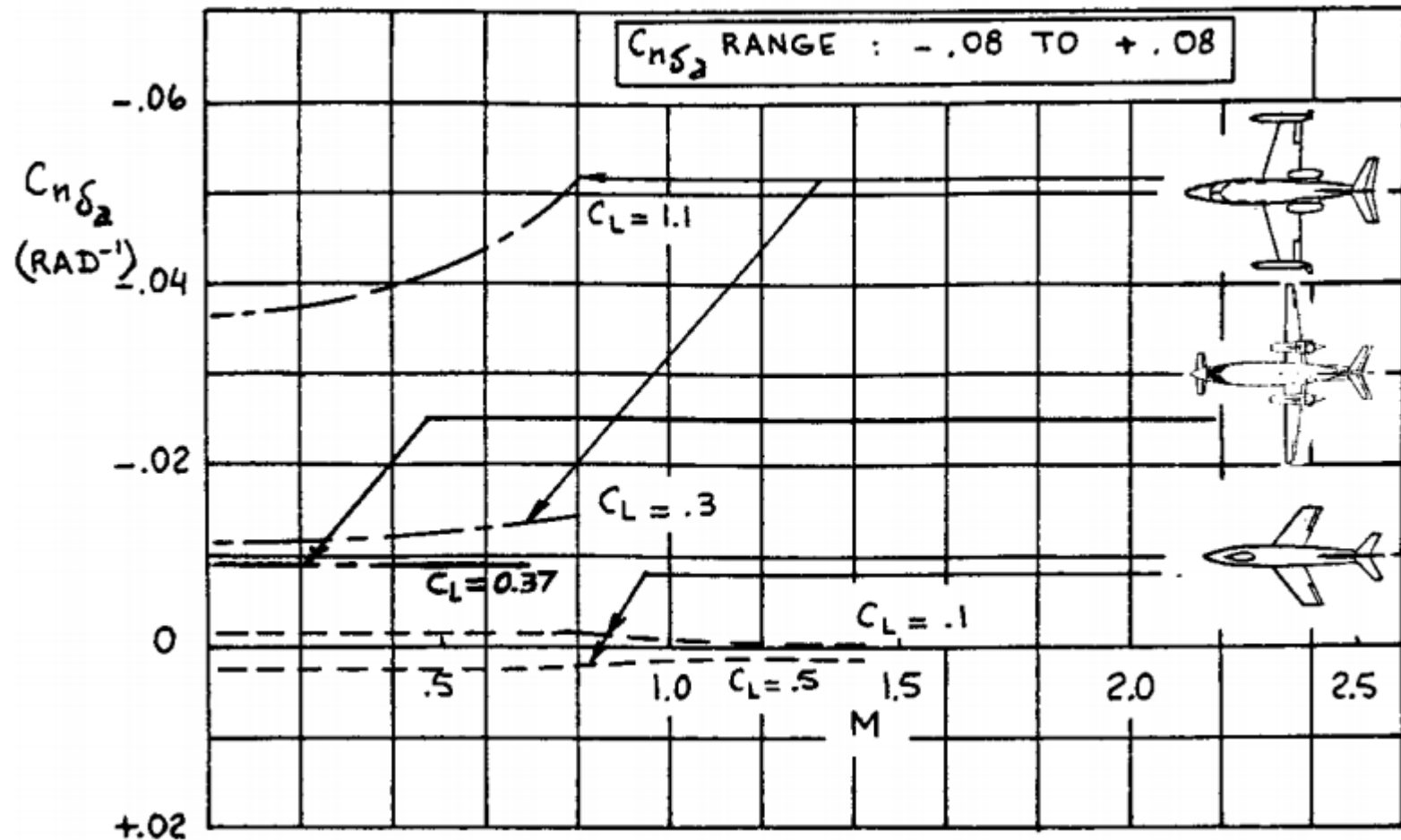
$C_{n_{\delta_a}}$



$$C_n = C_{n_0} + C_{n_\beta} \beta + C_{n_{\delta_A}} \delta_A + C_{n_{\delta_R}} \delta_R$$

• گشتاور یاو (Yaw Moment)

$C_{n_{\delta_a}}$



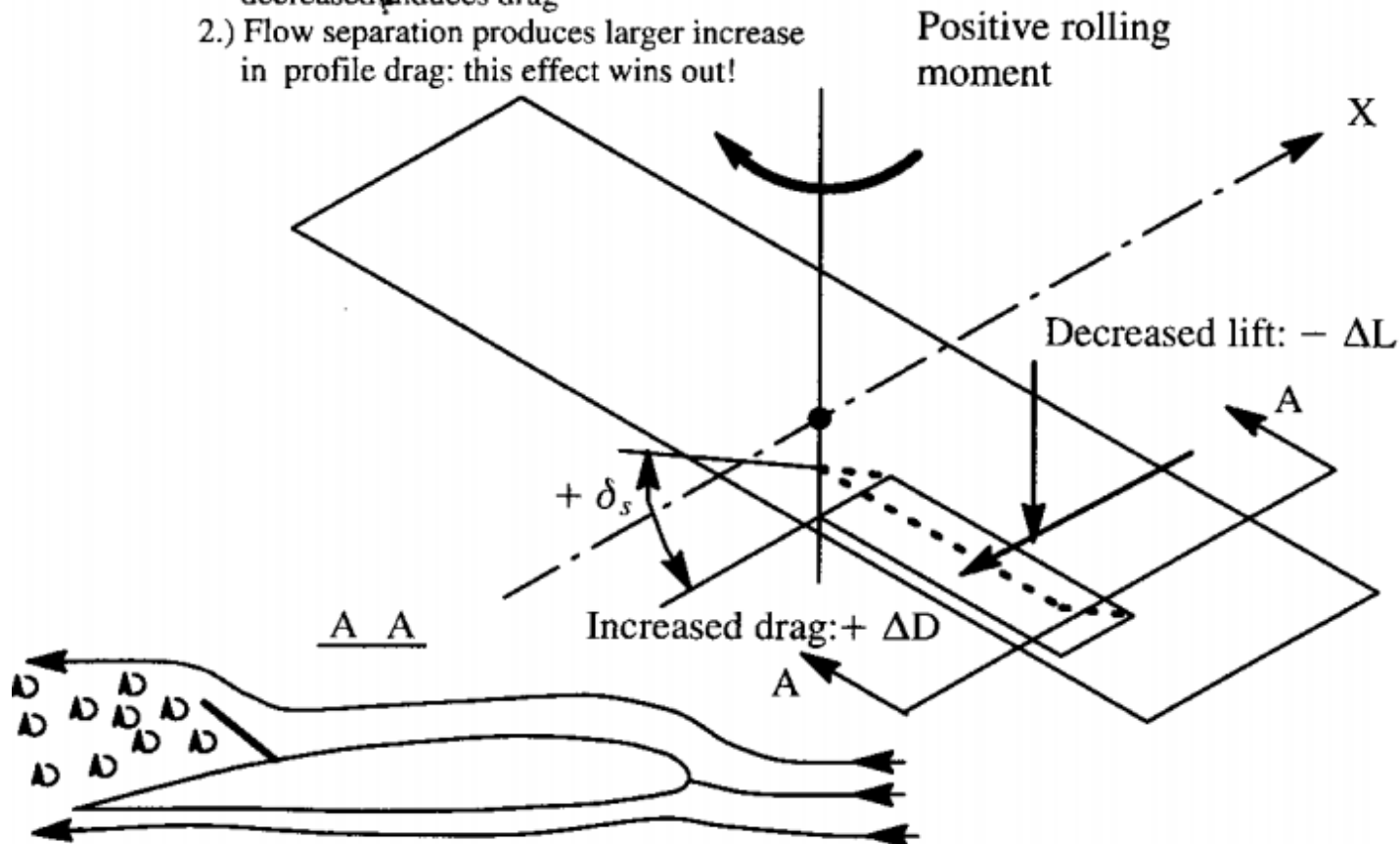
$$C_n = C_{n_0} + C_{n_\beta} \beta + C_{n_{\delta_A}} \delta_A + C_{n_{\delta_R}} \delta_R$$

• گشتاور یاو (Yaw Moment)

$C_{n_{\delta_s}}$

$\delta_s \triangleq$ Spoiler Deflection

- Notes: 1.) Decreased lift on r.h.s. wing produces decreased induced drag
2.) Flow separation produces larger increase in profile drag: this effect wins out!

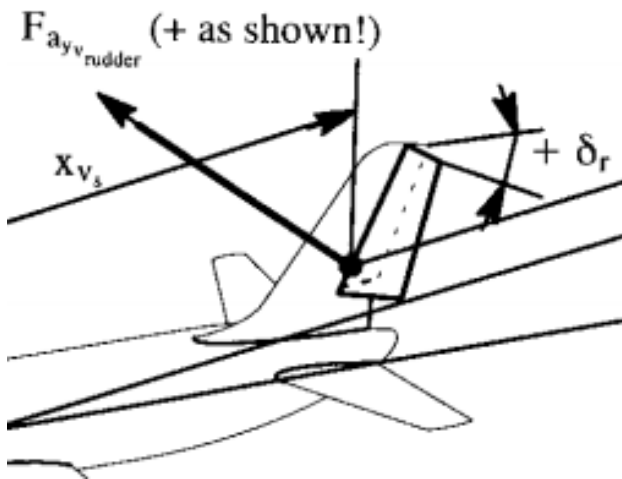


$$C_n = C_{n_0} + C_{n_\beta} \beta + C_{n_{\delta_A}} \delta_A + C_{n_{\delta_R}} \delta_R$$

• گشتاور یاو (Yaw Moment)

$C_{n_{\delta_R}}$

نیروی کناری در جهت Y_s به خاطر انحراف مثبت δ_R ایجاد شده باعث ایجاد ممان سمتی منفی می شود.



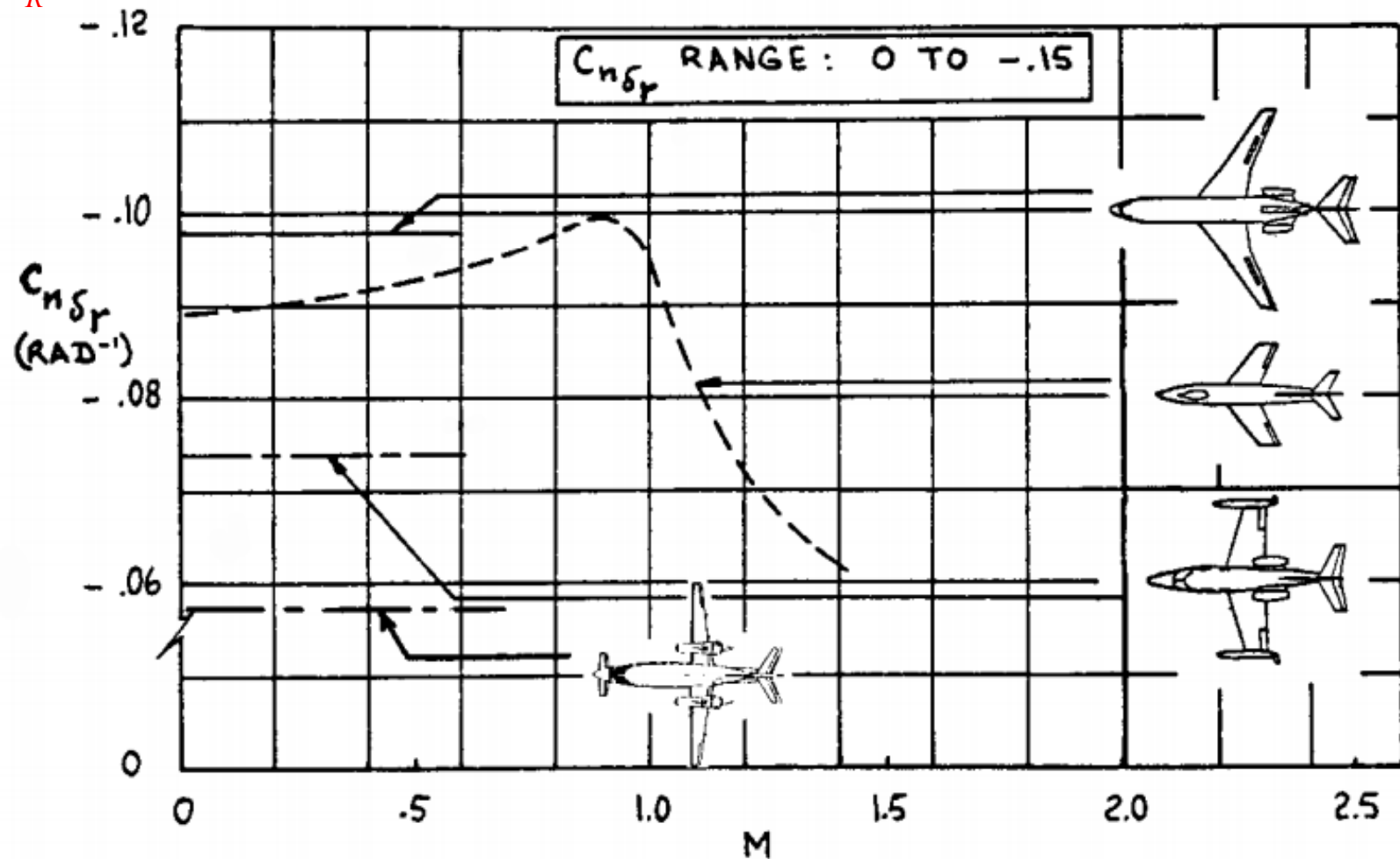
$$N_{Rudder} = -C_{L_{\alpha_V}} \alpha_{\delta_R} \delta_R \bar{q}_V S_V X_{V_S} = C_{n_{\delta_R}} \delta_R \bar{q} S b$$

$$\Rightarrow C_{n_{\delta_R}} = -C_{L_{\alpha_V}} \alpha_{\delta_R} \eta_V \frac{S_V X_{V_S}}{S b}$$

$$C_n = C_{n_0} + C_{n_\beta} \beta + C_{n_{\delta_A}} \delta_A + C_{n_{\delta_R}} \delta_R$$

• گشتاور یاو (Yaw Moment)

$C_{n_{\delta_R}}$



مدل سازی نیروها و گشتاورهای آیرودینامیکی

	مشتق کنترلی مهم	مشتق پایداری و علامت مطلوب
Longitudinal	$C_{m_{\delta E}}$	$C_{m_{\alpha}} < 0$
Lateral	$C_{l_{\delta A}}$	$C_{l_{\beta}} < 0$
Directional	$C_{n_{\delta R}}$	$C_{n_{\beta}} > 0$

مدل سازی نیروها و گشتاورهای آیرودینامیکی - حالت اختلالی

- جهت بررسی اثر اختلالات روی نیرو و گشتاورها و تولید الگوی لازم، اختلالات حول مسیر مرجع «پرواز دائم متقارن» در نظر گرفته می شوند: $V_1 = W_1 = P_1 = R_1 = 0$

$$\begin{cases} F_{A_{y1}} = L_{A_1} = N_{A_1} = 0 \end{cases}$$
- الگوی نیرو و ممان های اختلالی بر اساس حساسیت سنجی (از نیرو و ممان های اصلی نسبت به اختلالات بدون بعد شده) با استفاده از **فرضیه شبه-دائم** توسعه می یابند. Quasi-Steady Theory
- مشابه قبل با بسط تیلور برای نیروها و گشتاورهای آیرودینامیکی داریم:

Longitudinal:

$$f_{A_x} = \sum \frac{\partial F_{A_x}}{\partial \bar{x}_i} \bar{x}_i; \quad f_{A_z} = \sum \frac{\partial F_{A_z}}{\partial \bar{x}_i} \bar{x}_i; \quad m_A = \sum \frac{\partial M_A}{\partial \bar{x}_i} \bar{x}_i; \quad \text{Where } \bar{x}_i = \frac{u}{U_1}, \alpha, \frac{\dot{\alpha} \bar{c}}{2U_1}, \frac{q\bar{c}}{2U_1}, \delta_E$$

Lateral - Directional:

$$f_{A_y} = \sum \frac{\partial F_{A_y}}{\partial \bar{y}_i} \bar{y}_i; \quad l_A = \sum \frac{\partial L_A}{\partial \bar{y}_i} \bar{y}_i; \quad n_A = \sum \frac{\partial N_A}{\partial \bar{y}_i} \bar{y}_i; \quad \text{Where } \bar{y}_i = \beta, \frac{\dot{\beta} b}{2U_1}, \frac{pb}{2U_1}, \frac{rb}{2U_1}, \delta_A, \delta_R$$

مدل سازی نیروها و گشتاورهای آیرودینامیکی - حالت اختلالی

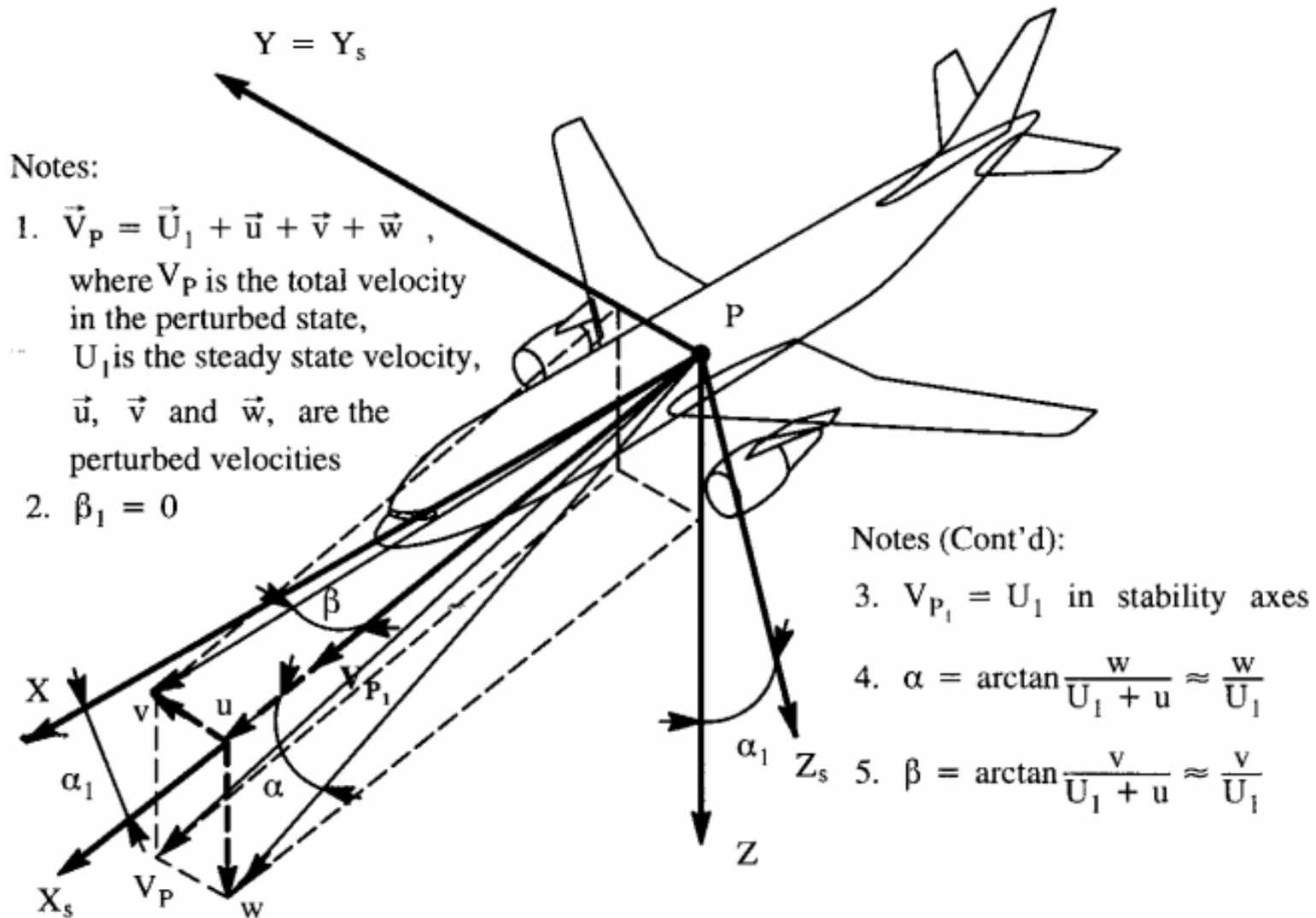
Variable	Direct Variables								Derived Variables				Control Variables			
	u	v	w	p	q	r	\dot{v}	\dot{w}	$\beta = \frac{v}{U_1}$	$\alpha = \frac{w}{U_1}$	$\dot{\beta} = \frac{\dot{v}}{U_1}$	$\dot{\alpha} = \frac{\dot{w}}{U_1}$	δ_a	δ_e	δ_r	δ_f
f_{A_x}	$\frac{\partial F_{A_x}}{\partial u}$		$\frac{\partial F_{A_x}}{\partial w}$		$\frac{\partial F_{A_x}}{\partial q}$			$\frac{\partial F_{A_x}}{\partial \dot{w}}$		$\frac{\partial F_{A_x}}{\partial \alpha}$		$\frac{\partial F_{A_x}}{\partial \dot{\alpha}}$		$\frac{\partial F_{A_x}}{\partial \delta_e}$		$\frac{\partial F_{A_x}}{\partial \delta_f}$
f_{A_y}		$\frac{\partial F_{A_y}}{\partial v}$		$\frac{\partial F_{A_y}}{\partial p}$		$\frac{\partial F_{A_y}}{\partial r}$	$\frac{\partial F_{A_y}}{\partial \dot{v}}$		$\frac{\partial F_{A_y}}{\partial \beta}$		$\frac{\partial F_{A_y}}{\partial \dot{\beta}}$		$\frac{\partial F_{A_y}}{\partial \delta_a}$		$\frac{\partial F_{A_y}}{\partial \delta_r}$	
f_{A_z}	$\frac{\partial F_{A_z}}{\partial u}$		$\frac{\partial F_{A_z}}{\partial w}$		$\frac{\partial F_{A_z}}{\partial q}$			$\frac{\partial F_{A_z}}{\partial \dot{w}}$		$\frac{\partial F_{A_z}}{\partial \alpha}$		$\frac{\partial F_{A_z}}{\partial \dot{\alpha}}$		$\frac{\partial F_{A_z}}{\partial \delta_e}$		$\frac{\partial F_{A_z}}{\partial \delta_f}$
l_A		$\frac{\partial L_A}{\partial v}$		$\frac{\partial L_A}{\partial p}$		$\frac{\partial L_A}{\partial r}$	$\frac{\partial L_A}{\partial \dot{v}}$		$\frac{\partial L_A}{\partial \beta}$		$\frac{\partial L_A}{\partial \dot{\beta}}$		$\frac{\partial L_A}{\partial \delta_a}$		$\frac{\partial L_A}{\partial \delta_r}$	
m_A	$\frac{\partial M_A}{\partial u}$		$\frac{\partial M_A}{\partial w}$		$\frac{\partial M_A}{\partial q}$			$\frac{\partial M_A}{\partial \dot{w}}$		$\frac{\partial M_A}{\partial \alpha}$		$\frac{\partial M_A}{\partial \dot{\alpha}}$		$\frac{\partial M_A}{\partial \delta_e}$		$\frac{\partial M_A}{\partial \delta_f}$
n_A		$\frac{\partial N_A}{\partial v}$		$\frac{\partial N_A}{\partial p}$		$\frac{\partial N_A}{\partial r}$	$\frac{\partial N_A}{\partial \dot{v}}$		$\frac{\partial N_A}{\partial \beta}$		$\frac{\partial N_A}{\partial \dot{\beta}}$		$\frac{\partial N_A}{\partial \delta_a}$		$\frac{\partial N_A}{\partial \delta_r}$	

Notes: 1. All perturbations are taken relative to a symmetrical steady state: $V_1 = P_1 = R_1 = 0$

2. Blanks in the table indicate that there is no effect, to a first order of approximation

مدل سازی نیروها و گشتاورهای آیرودینامیکی - حالت اختلالی

شکل زیر در نمایش متغیرهای حرکتی اختلالی نسبت به دائم کمک می کند.



• کانال طولی

$$f_{A_x} = \sum \frac{\partial F_{A_x}}{\partial \bar{x}_i} \bar{x}_i; \quad f_{A_z} = \sum \frac{\partial F_{A_z}}{\partial \bar{x}_i} \bar{x}_i; \quad m_A = \sum \frac{\partial M_A}{\partial \bar{x}_i} \bar{x}_i$$

$$\bar{x}_i = \frac{u}{U_1}, \alpha, \frac{\dot{\alpha} \bar{c}}{2U_1}, \frac{q \bar{c}}{2U_1}, \delta_E, \delta_F$$

$$f_{A_x} = \frac{\partial F_{A_x}}{\partial \left(\frac{u}{U_1} \right)} \left(\frac{u}{U_1} \right) + \frac{\partial F_{A_x}}{\partial \alpha} \alpha + \frac{\partial F_{A_x}}{\partial \left(\frac{\dot{\alpha} \bar{c}}{2U_1} \right)} \left(\frac{\dot{\alpha} \bar{c}}{2U_1} \right) + \frac{\partial F_{A_x}}{\partial \left(\frac{q \bar{c}}{2U_1} \right)} \left(\frac{q \bar{c}}{2U_1} \right) + \frac{\partial F_{A_x}}{\partial \delta_E} \delta_E + \frac{\partial F_{A_x}}{\partial \delta_F} \delta_F$$

$$f_{A_z} = \frac{\partial F_{A_z}}{\partial \left(\frac{u}{U_1} \right)} \left(\frac{u}{U_1} \right) + \frac{\partial F_{A_z}}{\partial \alpha} \alpha + \frac{\partial F_{A_z}}{\partial \left(\frac{\dot{\alpha} \bar{c}}{2U_1} \right)} \left(\frac{\dot{\alpha} \bar{c}}{2U_1} \right) + \frac{\partial F_{A_z}}{\partial \left(\frac{q \bar{c}}{2U_1} \right)} \left(\frac{q \bar{c}}{2U_1} \right) + \frac{\partial F_{A_z}}{\partial \delta_E} \delta_E + \frac{\partial F_{A_z}}{\partial \delta_F} \delta_F$$

$$m_A = \frac{\partial M_A}{\partial \left(\frac{u}{U_1} \right)} \left(\frac{u}{U_1} \right) + \frac{\partial M_A}{\partial \alpha} \alpha + \frac{\partial M_A}{\partial \left(\frac{\dot{\alpha} \bar{c}}{2U_1} \right)} \left(\frac{\dot{\alpha} \bar{c}}{2U_1} \right) + \frac{\partial M_A}{\partial \left(\frac{q \bar{c}}{2U_1} \right)} \left(\frac{q \bar{c}}{2U_1} \right) + \frac{\partial M_A}{\partial \delta_E} \delta_E + \frac{\partial M_A}{\partial \delta_F} \delta_F$$

• کانال عرضی-سمتی

$$f_{A_y} = \sum \frac{\partial F_{A_y}}{\partial \bar{y}_i} \bar{y}_i; \quad l_A = \sum \frac{\partial L_A}{\partial \bar{y}_i} \bar{y}_i; \quad n_A = \sum \frac{\partial N_A}{\partial \bar{y}_i} \bar{y}_i$$

$$\bar{y}_i = \beta, \frac{\dot{\beta}b}{2U_1}, \frac{pb}{2U_1}, \frac{rb}{2U_1}, \delta_a, \delta_r$$

$$f_{A_y} = \frac{\partial F_{A_y}}{\partial \beta} \beta + \frac{\partial F_{A_y}}{\partial \left(\frac{\dot{\beta}b}{2U_1} \right)} \left(\frac{\dot{\beta}b}{2U_1} \right) + \frac{\partial F_{A_y}}{\partial \left(\frac{pb}{2U_1} \right)} \left(\frac{pb}{2U_1} \right) + \frac{\partial F_{A_y}}{\partial \left(\frac{rb}{2U_1} \right)} \left(\frac{rb}{2U_1} \right) + \frac{\partial F_{A_y}}{\partial \delta_a} \delta_a + \frac{\partial F_{A_y}}{\partial \delta_r} \delta_r$$

$$l_A = \frac{\partial L_A}{\partial \beta} \beta + \frac{\partial L_A}{\partial \left(\frac{\dot{\beta}b}{2U_1} \right)} \left(\frac{\dot{\beta}b}{2U_1} \right) + \frac{\partial L_A}{\partial \left(\frac{pb}{2U_1} \right)} \left(\frac{pb}{2U_1} \right) + \frac{\partial L_A}{\partial \left(\frac{rb}{2U_1} \right)} \left(\frac{rb}{2U_1} \right) + \frac{\partial L_A}{\partial \delta_a} \delta_a + \frac{\partial L_A}{\partial \delta_r} \delta_r$$

$$n_A = \frac{\partial N_A}{\partial \beta} \beta + \frac{\partial N_A}{\partial \left(\frac{\dot{\beta}b}{2U_1} \right)} \left(\frac{\dot{\beta}b}{2U_1} \right) + \frac{\partial N_A}{\partial \left(\frac{pb}{2U_1} \right)} \left(\frac{pb}{2U_1} \right) + \frac{\partial N_A}{\partial \left(\frac{rb}{2U_1} \right)} \left(\frac{rb}{2U_1} \right) + \frac{\partial N_A}{\partial \delta_a} \delta_a + \frac{\partial N_A}{\partial \delta_r} \delta_r$$

• u-Stability Derivatives

$$\begin{aligned}
 F_{A_x} &= C_x \bar{q} S \\
 F_{A_z} &= C_z \bar{q} S \\
 M_A &= C_m \bar{q} S \bar{c}
 \end{aligned}
 \qquad
 \begin{aligned}
 \frac{\partial F_{A_x}}{\partial \left(\frac{u}{U_1} \right)} \bigg|_1 &= \frac{\partial C_x}{\partial \left(\frac{u}{U_1} \right)} \bar{q}_1 S + \frac{\partial \bar{q}}{\partial \left(\frac{u}{U_1} \right)} \bigg|_1 C_{x_1} S \\
 \frac{\partial F_{A_z}}{\partial \left(\frac{u}{U_1} \right)} \bigg|_1 &= \frac{\partial C_z}{\partial \left(\frac{u}{U_1} \right)} \bar{q}_1 S + \frac{\partial \bar{q}}{\partial \left(\frac{u}{U_1} \right)} \bigg|_1 C_{z_1} S \\
 \frac{\partial M_A}{\partial \left(\frac{u}{U_1} \right)} \bigg|_1 &= \frac{\partial C_m}{\partial \left(\frac{u}{U_1} \right)} \bar{q}_1 S \bar{c} + \frac{\partial \bar{q}}{\partial \left(\frac{u}{U_1} \right)} \bigg|_1 C_{m_1} S \bar{c}
 \end{aligned}$$

از آنجا که تمامی مشتق‌ها نسبت به یک شرایط دائم تعریف شده‌اند، باید در همان شرایط سنجیده شوند.

u-Stability Derivatives •

حساسیت فشار دینامیکی نسبت به اختلالات

$$\left. \frac{\partial F_{A_x}}{\partial \left(\frac{u}{U_1} \right)} \right|_1 = \frac{\partial C_x}{\partial \left(\frac{u}{U_1} \right)} \bar{q}_1 S + \left. \frac{\partial \bar{q}}{\partial \left(\frac{u}{U_1} \right)} \right|_1 C_{x_1} S$$

$$\vec{V}_p = (U_1 + u, v, w)$$

$$\bar{q} = \frac{1}{2} \rho \left| \vec{V}_p \right|^2 = \frac{1}{2} \rho [(U_1 + u)^2 + v^2 + w^2] = \frac{1}{2} \rho [(U_1 + u)^2 + (U_1 \beta)^2 + (U_1 \alpha)^2]$$

$$\left. \frac{\partial \bar{q}}{\partial \left(\frac{u}{U_1} \right)} \right|_1 = U_1 \left. \frac{\partial \bar{q}}{\partial u} \right|_1 = U_1 \left(2 \times \frac{1}{2} \rho (U_1 + u) \right) \Big|_1 = \rho U_1^2 = 2 \bar{q}_1$$

$$\left. \frac{\partial \bar{q}}{\partial \left(\frac{v}{U_1} \right)} \right|_1 = \left. \frac{\partial \bar{q}}{\partial \left(\frac{w}{U_1} \right)} \right|_1 = \left. \frac{\partial \bar{q}}{\partial \beta} \right|_1 = \left. \frac{\partial \bar{q}}{\partial \alpha} \right|_1 = \left. \frac{\partial \bar{q}}{\partial \left(\frac{\dot{\alpha} \bar{c}}{2U_1} \right)} \right|_1 = \left. \frac{\partial \bar{q}}{\partial (\bullet)} \right|_1 = 0$$

Where: • = All Other Perturbation Quantities

مدل سازی نیروها و گشتاورهای آیرودینامیکی - حالت اختلالی - کانال طولی

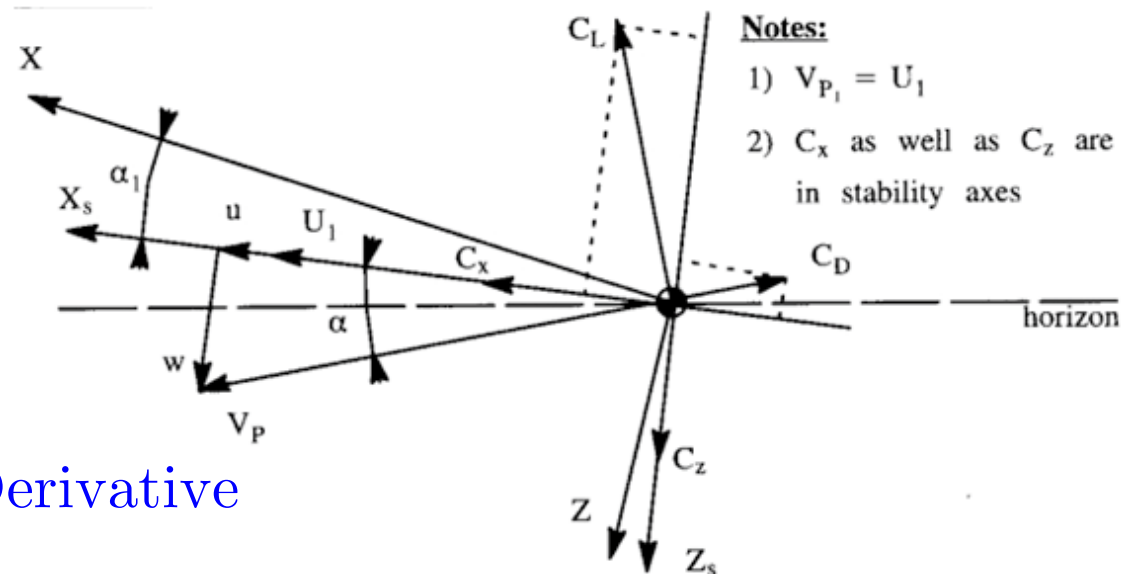
• u-Stability Derivatives

ارتباط C_x با ضرائب آیرودینامیکی $C_x = C_L \sin \alpha - C_D \cos \alpha \cong C_L \alpha - C_D$

$$\left. \frac{\partial C_x}{\partial \left(\frac{u}{U_1} \right)} \right|_1 = \left. \frac{\partial C_L}{\partial \left(\frac{u}{U_1} \right)} \right|_1 \alpha \Big|_1 + C_L \frac{\partial \alpha}{\partial \left(\frac{u}{U_1} \right)} - \left. \frac{\partial C_D}{\partial \left(\frac{u}{U_1} \right)} \right|_1 = C_{L_u} [0] + C_L [0] - C_{D_u} = -C_{D_u}$$

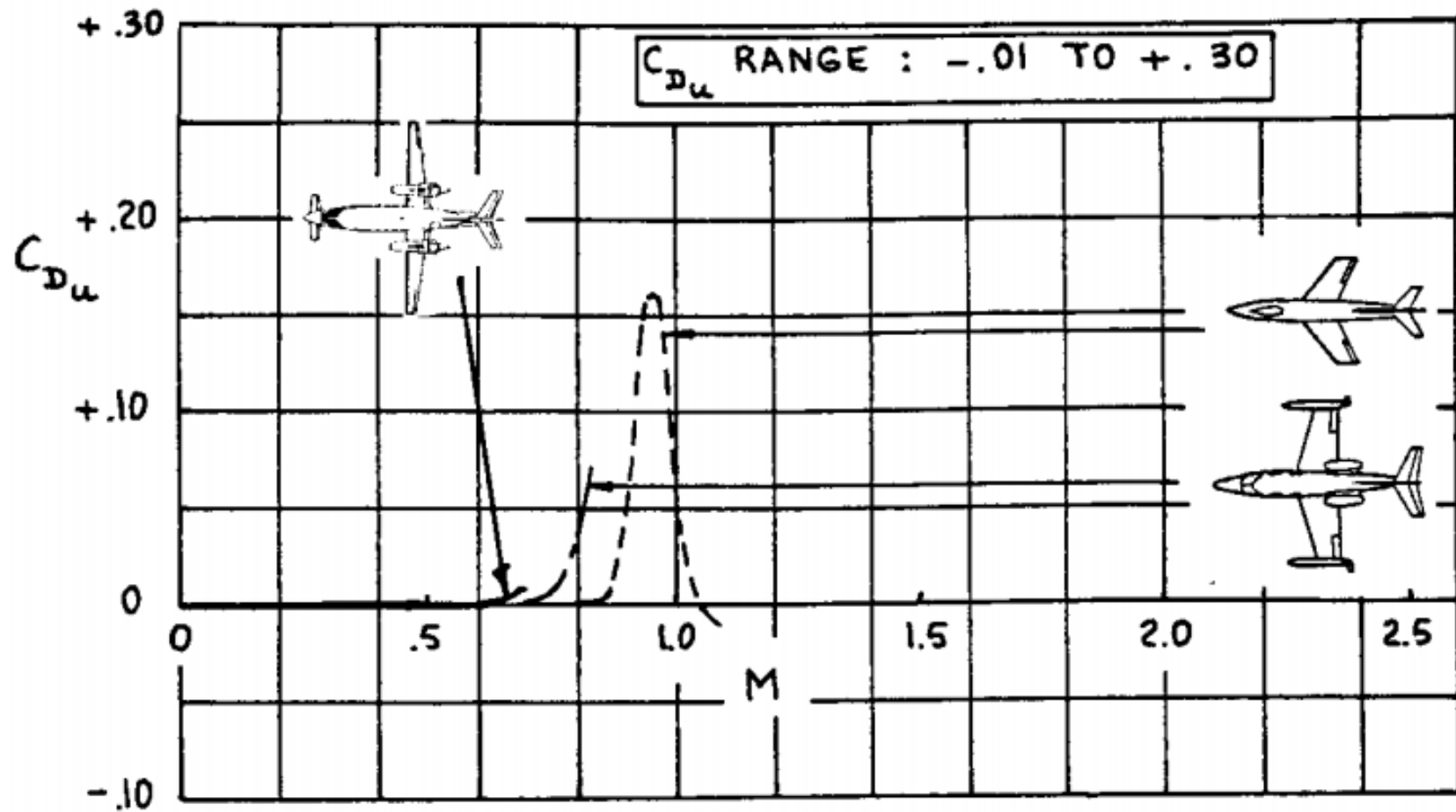
$$\left. \frac{\partial F_{A_x}}{\partial \left(\frac{u}{U_1} \right)} \right|_1 = \left. \frac{\partial C_x}{\partial \left(\frac{u}{U_1} \right)} \right|_1 \bar{q}_1 S + \left. \frac{\partial \bar{q}}{\partial \left(\frac{u}{U_1} \right)} \right|_1 C_{x_1} S$$

$$\left. \frac{\partial F_{A_x}}{\partial \left(\frac{u}{U_1} \right)} \right|_1 = - (C_{D_u} + 2C_{D_1}) \bar{q}_1 S$$



$C_{D_u} \triangleq$ Speed Damping Derivative

u-Stability Derivatives •



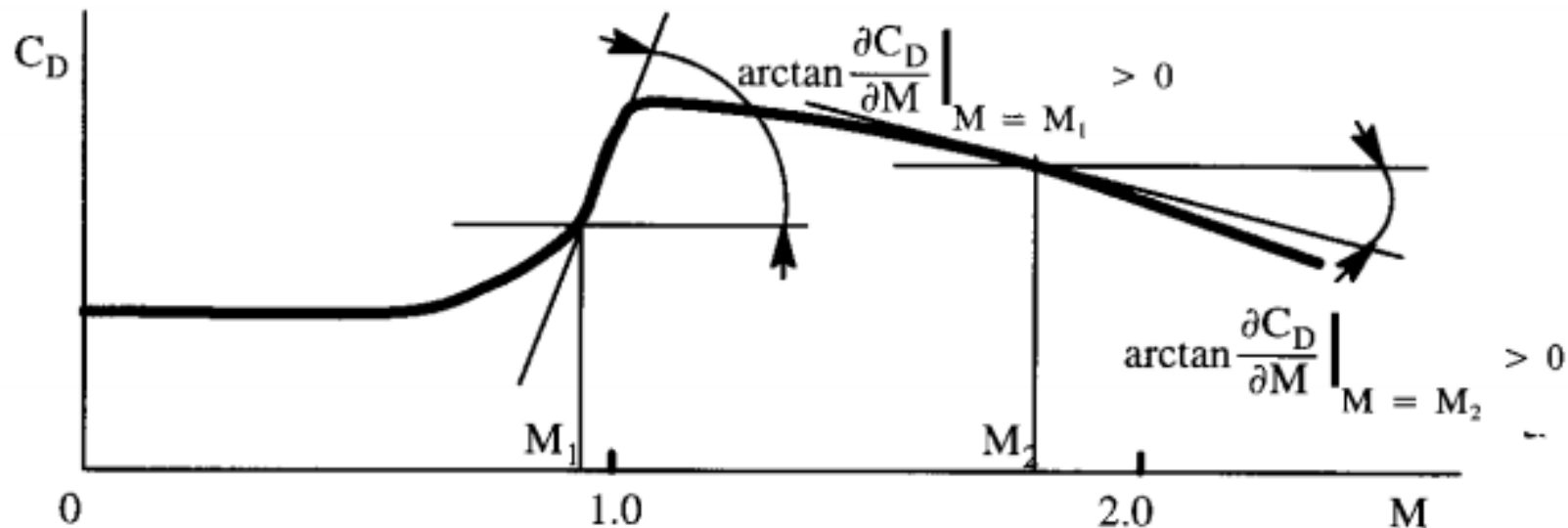
مدل سازی نیروها و گشتاورهای آیرودینامیکی - حالت اختلالی - کانال طولی

$$C_{D_u} = \frac{\partial C_D}{\partial \left(\frac{u}{U_1}\right)} = \frac{U_1}{a} \frac{\partial C_D}{\partial \left(\frac{u}{a}\right)} = M_1 \frac{\partial C_D}{\partial M} \quad \bullet \text{ u-Stability Derivatives}$$

$$M_1 < 1 \xrightarrow{\frac{\partial C_D}{\partial M} > 0} C_{D_u} > 0$$

$$M_1 > 1 \xrightarrow{\frac{\partial C_D}{\partial M} < 0} C_{D_u} < 0$$

برای بسیاری از هواپیماهای متعارف،
روند تغییر C_D نسبت به M به صورت
زیر است.



u-Stability Derivatives •

ارتباط C_z با ضرائب آیرودینامیکی

$$C_z = -C_L \cos \alpha - C_D \sin \alpha \cong -C_L - C_D \alpha$$

$$\left. \frac{\partial C_z}{\partial \left(\frac{u}{U_1} \right)} \right|_1 = - \left. \frac{\partial C_L}{\partial \left(\frac{u}{U_1} \right)} \right|_1 - C_D \left. \frac{\partial \alpha}{\partial \left(\frac{u}{U_1} \right)} \right|_1 - \left. \frac{\partial C_D}{\partial \left(\frac{u}{U_1} \right)} \right|_1 \alpha \Big|_1 = -C_{L_u} - C_D [0] - C_{D_u} [0] = -C_{L_u}$$

$$\frac{\partial F_{A_z}}{\partial \left(\frac{u}{U_1} \right)} \Big|_1 = \frac{\partial C_z}{\partial \left(\frac{u}{U_1} \right)} \bar{q}_1 S + \frac{\partial \bar{q}}{\partial \left(\frac{u}{U_1} \right)} \Big|_1 C_{z_1} S \rightarrow \boxed{\frac{\partial F_{A_z}}{\partial \left(\frac{u}{U_1} \right)} \Big|_1 = - \left(C_{L_u} + 2C_{L_1} \right) \bar{q}_1 S}$$

$$C_{L_u} = \frac{\partial C_L}{\partial \left(\frac{u}{U_1} \right)} = \frac{U_1}{a} \frac{\partial C_L}{\partial \left(\frac{u}{a} \right)} = M_1 \frac{\partial C_L}{\partial M} = \frac{M_1^2}{1 - M_1^2} C_{L_1}$$

$$\text{Prandtl-Glauert Transformation } C_L = \frac{C_L|_{M=0}}{(1 - M^2)^{1/2}} \rightarrow \frac{\partial C_L}{\partial M} = \frac{M}{1 - M^2} \frac{C_L|_{M=0}}{(1 - M^2)^{1/2}} = \frac{M}{1 - M^2} C_L \quad 89$$

• u-Stability Derivatives

$$\frac{\partial M_A}{\partial \left(\frac{u}{U_1} \right)} = \frac{\partial C_m}{\partial \left(\frac{u}{U_1} \right)} \bar{q}_1 S \bar{c} + C_{m_1} S \bar{c} \rho U_1^2$$

$$\xrightarrow{C_{m_u} \triangleq \frac{\partial C_m}{\partial \left(\frac{u}{U_1} \right)} \bigg|_1} \boxed{\frac{\partial M_A}{\partial \left(\frac{u}{U_1} \right)} \bigg|_1 = (C_{m_u} + 2C_{m_1}) \bar{q}_1 S \bar{c}}$$

برای هواپیما یا گلایدر در پرواز خطی دائم

- اگر تراست در ممان پیچ نقش نداشته باشد، داریم: $C_{m_1} = 0$
- و در صورتی که تراست، نقش یا اعانه داشته باشد: $C_{m_1} = -C_{m_{T_1}}$

u-Stability Derivatives •

$$C_{m_u} = \frac{\partial C_m}{\partial \left(\frac{u}{U_1} \right)} = \frac{U_1}{a} \frac{\partial C_m}{\partial \left(\frac{u}{a} \right)} = M_1 \frac{\partial C_m}{\partial M}$$

برای تغییرات C_m با عدد ماخ به خاطر تغییر در مرکز آیرودینامیک می توان نوشت

$$\Delta C_m \Big|_{\text{Due to } \Delta M} = - \Delta \bar{x}_{ac_A} \Big|_{\text{Due to } \Delta M} C_{L_1} \quad \text{For aft shift or: } \Delta X_{ac} > 0$$

$$\Rightarrow \frac{\partial C_m}{\partial M} = -C_{L_1} \frac{\partial \bar{x}_{ac_A}}{\partial M} \xrightarrow{C_{m_u} = M_1 \frac{\partial C_m}{\partial M}}$$

$$C_{m_u} = -M_1 C_{L_1} \frac{\partial \bar{x}_{ac_A}}{\partial M}$$

u-Stability Derivatives •

جمع بندی در فرم ماتریسی

$$\left. \frac{\partial F_{A_x}}{\partial \left(\frac{u}{U_1} \right)} \right|_1 = -(C_{D_u} + 2C_{D_1}) \bar{q}_1 S \quad ; \quad \left. \frac{\partial F_{A_z}}{\partial \left(\frac{u}{U_1} \right)} \right|_1 = -(C_{L_u} + 2C_{L_1}) \bar{q}_1 S \quad ; \quad \left. \frac{\partial M_A}{\partial \left(\frac{u}{U_1} \right)} \right|_1 = (C_{m_u} + 2C_{m_1}) \bar{q}_1 S \bar{c}$$

$$\begin{bmatrix} \frac{f_{A_x}}{\bar{q}_1 S} \\ \frac{f_{A_z}}{\bar{q}_1 S} \\ \frac{m_A}{\bar{q}_1 S \bar{c}} \end{bmatrix} = \begin{bmatrix} -(C_{D_u} + 2C_{D_1}) \\ -(C_{L_u} + 2C_{L_1}) \\ C_{m_u} + 2C_{m_1} \end{bmatrix} \begin{bmatrix} \frac{u}{U_1} \end{bmatrix}$$

• α -Stability Derivatives

$$\begin{aligned}
 F_{A_x} &= C_x \bar{q} S & \frac{\partial F_{A_x}}{\partial \alpha} \bigg|_1 &= \frac{\partial C_x}{\partial \alpha} \bigg|_1 \bar{q}_1 S + \cancel{\frac{\partial \bar{q}}{\partial \alpha} \bigg|_1}^{=0} C_{x_1} S \\
 F_{A_z} &= C_z \bar{q} S & \frac{\partial F_{A_z}}{\partial \alpha} \bigg|_1 &= \frac{\partial C_z}{\partial \alpha} \bigg|_1 \bar{q}_1 S + \cancel{\frac{\partial \bar{q}}{\partial \alpha} \bigg|_1}^{=0} C_{z_1} S \\
 M_A &= C_m \bar{q} S \bar{c} & \frac{\partial M_A}{\partial \alpha} \bigg|_1 &= \frac{\partial C_m}{\partial \alpha} \bigg|_1 \bar{q}_1 S \bar{c} + \cancel{\frac{\partial \bar{q}}{\partial \alpha} \bigg|_1}^{=0} C_{m_1} S \bar{c}
 \end{aligned}$$

• α -Stability Derivatives

$$\left. \frac{\partial F_{A_x}}{\partial \alpha} \right|_1 = \left. \frac{\partial C_x}{\partial \alpha} \right|_1 \bar{q}_1 S \quad ; \quad C_x = -C_{D_\alpha} + C_{L_\alpha} \alpha$$

$$\left. \frac{\partial C_x}{\partial \alpha} \right|_1 = -C_{D_\alpha} + C_{L_\alpha} \alpha_1^{=0} + C_{L_1}$$

$$\Rightarrow \boxed{\left. \frac{\partial F_{A_x}}{\partial \alpha} \right|_1 = (C_{L_1} - C_{D_\alpha}) \bar{q}_1 S}$$

$$C_D = C_{D_0} + \frac{C_L^2}{\pi A R e} \Rightarrow C_{D_\alpha} = \frac{2C_{L_1}}{\pi A R e} C_{L_\alpha}$$

α -Stability Derivatives •

$$\left. \frac{\partial F_{A_z}}{\partial \alpha} \right|_1 = \left. \frac{\partial C_z}{\partial \alpha} \right|_1 \bar{q}_1 S \quad ; \quad C_z = -C_L - C_D \alpha$$

$$\left. \frac{\partial C_z}{\partial \alpha} \right|_1 = -C_{L_\alpha} - C_{D_1} - C_{D_\alpha} \alpha \Big|_1 = 0 \Rightarrow \boxed{\left. \frac{\partial F_{A_z}}{\partial \alpha} \right|_1 = (-C_{L_\alpha} - C_{D_1}) \bar{q}_1 S}$$

$$\left. \frac{\partial M_A}{\partial \alpha} \right|_1 = \left. \frac{\partial C_m}{\partial \alpha} \right|_1 \bar{q}_1 S \bar{c} \Rightarrow \boxed{\left. \frac{\partial M_A}{\partial \alpha} \right|_1 = C_{m_\alpha} \bar{q}_1 S \bar{c}}$$

• α -Stability Derivatives

جمع بندی در فرم ماتریسی

$$\left. \frac{\partial F_{A_x}}{\partial \alpha} \right|_1 = (C_{L_1} - C_{D_\alpha}) \bar{q}_1 S \quad ; \quad \left. \frac{\partial F_{A_z}}{\partial \alpha} \right|_1 = (-C_{L_\alpha} - C_{D_1}) \bar{q}_1 S \quad ; \quad \frac{\partial M_A}{\partial \alpha} = C_{m_\alpha} \bar{q}_1 S \bar{c}$$

$$\begin{bmatrix} \frac{f_{A_x}}{\bar{q}_1 S} \\ \frac{f_{A_z}}{\bar{q}_1 S} \\ \frac{m_A}{\bar{q}_1 S \bar{c}} \end{bmatrix} = \begin{bmatrix} C_{L_1} - C_{D_\alpha} \\ -(C_{L_\alpha} + C_{D_1}) \\ C_{m_\alpha} \end{bmatrix} [\alpha]$$

• $\dot{\alpha}$ -Stability Derivatives

$$\begin{aligned}
 F_{A_x} &= C_x \bar{q} S & \frac{\partial F_{A_x}}{\partial \left(\frac{\dot{\alpha} \bar{c}}{2U_1} \right)} \bigg|_1 &= \frac{\partial C_x}{\partial \left(\frac{\dot{\alpha} \bar{c}}{2U_1} \right)} \bigg|_1 \bar{q}_1 S + \cancel{\frac{\partial \bar{q}}{\partial \left(\frac{\dot{\alpha} \bar{c}}{2U_1} \right)} \bigg|_1 C_{x_1} S}^{=0} \\
 F_{A_z} &= C_z \bar{q} S & \frac{\partial F_{A_z}}{\partial \left(\frac{\dot{\alpha} \bar{c}}{2U_1} \right)} \bigg|_1 &= \frac{\partial C_z}{\partial \left(\frac{\dot{\alpha} \bar{c}}{2U_1} \right)} \bigg|_1 \bar{q}_1 S + \cancel{\frac{\partial \bar{q}}{\partial \left(\frac{\dot{\alpha} \bar{c}}{2U_1} \right)} \bigg|_1 C_{z_1} S}^{=0} \\
 M_A &= C_m \bar{q} S \bar{c} & \frac{\partial M_A}{\partial \left(\frac{\dot{\alpha} \bar{c}}{2U_1} \right)} \bigg|_1 &= \frac{\partial C_m}{\partial \left(\frac{\dot{\alpha} \bar{c}}{2U_1} \right)} \bigg|_1 \bar{q}_1 S \bar{c} + \cancel{\frac{\partial \bar{q}}{\partial \left(\frac{\dot{\alpha} \bar{c}}{2U_1} \right)} \bigg|_1 C_{m_1} S \bar{c}}^{=0}
 \end{aligned}$$

مدل سازی نیروها و گشتاورهای آیرودینامیکی - حالت اختلالی - کانال طولی

$$\frac{\partial F_{A_x}}{\partial \left(\frac{\dot{\alpha} \bar{c}}{2U_1} \right)} \bigg|_1 = \frac{\partial C_x}{\partial \left(\frac{\dot{\alpha} \bar{c}}{2U_1} \right)} \bigg|_1 \bar{q}_1 S \quad ; \quad C_x = -C_D + C_L \alpha \quad \dot{\alpha} \text{-Stability Derivatives} \bullet$$

$$\frac{\partial C_x}{\partial \left(\frac{\dot{\alpha} \bar{c}}{2U_1} \right)} \bigg|_1 = -C_{D_{\dot{\alpha}}} + C_{L_{\dot{\alpha}}} \cancel{\alpha_1}^{=0} \Rightarrow \boxed{\frac{\partial F_{A_x}}{\partial \left(\frac{\dot{\alpha} \bar{c}}{2U_1} \right)} \bigg|_1 = -C_{D_{\dot{\alpha}}} \bar{q}_1 S}$$

$$\frac{\partial F_{A_z}}{\partial \left(\frac{\dot{\alpha} \bar{c}}{2U_1} \right)} \bigg|_1 = \frac{\partial C_z}{\partial \left(\frac{\dot{\alpha} \bar{c}}{2U_1} \right)} \bigg|_1 \bar{q}_1 S \quad ; \quad C_z = -C_L - C_D \alpha$$

$$\frac{\partial C_z}{\partial \left(\frac{\dot{\alpha} \bar{c}}{2U_1} \right)} \bigg|_1 = -C_{L_{\dot{\alpha}}} - C_{D_{\dot{\alpha}}} \cancel{\alpha_1}^{=0} \Rightarrow \boxed{\frac{\partial F_{A_z}}{\partial \left(\frac{\dot{\alpha} \bar{c}}{2U_1} \right)} \bigg|_1 = -C_{L_{\dot{\alpha}}} \bar{q}_1 S}$$

$$\frac{\partial M_A}{\partial \left(\frac{\dot{\alpha} \bar{c}}{2U_1} \right)} \bigg|_1 = \frac{\partial C_m}{\partial \left(\frac{\dot{\alpha} \bar{c}}{2U_1} \right)} \bigg|_1 \bar{q}_1 S \bar{c} \Rightarrow \boxed{\frac{\partial M_A}{\partial \left(\frac{\dot{\alpha} \bar{c}}{2U_1} \right)} \bigg|_1 = C_{m_{\dot{\alpha}}} \bar{q}_1 S \bar{c}}$$

• $\dot{\alpha}$ -Stability Derivatives

جمع بندی در فرم ماتریسی

$$\left. \frac{\partial F_{A_x}}{\partial \left(\frac{\dot{\alpha} \bar{c}}{2U_1} \right)} \right|_1 = -C_{D_{\dot{\alpha}}} \bar{q}_1 S \quad ; \quad \left. \frac{\partial F_{A_z}}{\partial \left(\frac{\dot{\alpha} \bar{c}}{2U_1} \right)} \right|_1 = -C_{L_{\dot{\alpha}}} \bar{q}_1 S \quad ; \quad \left. \frac{\partial M_A}{\partial \left(\frac{\dot{\alpha} \bar{c}}{2U_1} \right)} \right|_1 = C_{m_{\dot{\alpha}}} \bar{q}_1 S \bar{c}$$

$$\begin{bmatrix} \frac{f_{A_x}}{\bar{q}_1 S} \\ \frac{f_{A_z}}{\bar{q}_1 S} \\ \frac{m_A}{\bar{q}_1 S \bar{c}} \end{bmatrix} = \begin{bmatrix} -C_{D_{\dot{\alpha}}} \\ -C_{L_{\dot{\alpha}}} \\ C_{m_{\dot{\alpha}}} \end{bmatrix} \left[\frac{\dot{\alpha} \bar{c}}{2U_1} \right]$$

• α -Stability Derivatives فرضیه شبه دائم

- در روش اتخاذ شده برای استخراج روابط نیرو و گشتاورهای اختلالی، فرض می‌گردد که نیرو و گشتاورهای آیرودینامیکی صرفاً به مقادیر لحظه‌ای کمیت‌های اختلالی (و نه تاریخچه زمانی آنها) وابسته باشند. (فرض تنظیم سریع توزیع فشار)

- این فرضیه برای حرکت‌های با فرکانس کاهش یافته کم (طبق تعریف زیر) معقول است:

$$\text{Reduced Frequency: } k = \frac{\dot{\alpha} \bar{c}}{2U_1} < 0.04$$

• $\dot{\alpha}$ -Stability Derivatives

محاسبه $C_{L\dot{\alpha}}$

در واقع جزء اصلی در تولید این مشتق، دم افقی است. $C_{L\dot{\alpha}} = C_{L\dot{\alpha}_{WB}} + C_{L\dot{\alpha}_H} \approx C_{L\dot{\alpha}_H}$. با توجه به فرضیه شبه دائم، از تغییر زاویه ε دم افقی در اثر $\dot{\alpha}$ استفاده خواهد شد. توجه به این نکته ضروری است که فرض می شود فروزش، مربوط به $\alpha(t - \Delta t)$ می باشد.

$$\varepsilon = \varepsilon_0 + \frac{d\varepsilon}{d\alpha} \alpha \rightarrow \Delta\varepsilon = \frac{d\varepsilon}{d\alpha} \Delta\alpha = \frac{d\varepsilon}{d\alpha} \left(-\frac{d\alpha}{dt} \Delta t \right) = -\frac{d\varepsilon}{d\alpha} \dot{\alpha} \frac{X_H}{U_1}$$

که X_H فاصله مرکز آیرودینامیکی دم تا مرکز ثقل هواپیما می باشد: $X_H = x_{ac_H} - x_{CG}$

$$\left\{ \begin{array}{l} \text{Model: } C_{L\dot{\alpha}} \frac{\dot{\alpha} \bar{c}}{2U_1} \bar{q} S \\ \text{Physics: } C_{L\alpha_H} (-\Delta\varepsilon) \bar{q}_H S_H = C_{L\alpha_H} \left(\frac{d\varepsilon}{d\alpha} \dot{\alpha} \frac{X_H}{U_1} \right) \bar{q}_H S_H \end{array} \right. \Rightarrow \boxed{C_{L\dot{\alpha}} = 2C_{L\alpha_H} \frac{d\varepsilon}{d\alpha} \eta_H \bar{V}_H}$$

توجه: عبارت قرمز، ناشی از تغییرات اختلالی C_{LH} بر حسب تغییرات فروزش است.

$$\bar{V}_H = \frac{X_H}{\bar{c}} \frac{S_H}{S} \quad \text{ضریب حجمی دم افقی}$$

• $\dot{\alpha}$ -Stability Derivatives

$$\left\{ \begin{array}{l} \text{Model: } C_{m_{\dot{\alpha}}} \frac{\dot{\alpha} \bar{c}}{2U_1} \bar{q} S \bar{c} \\ \text{Physics: } -C_{L_{\alpha_H}} (-\Delta \varepsilon) \bar{q}_H S_H X_H = C_{L_{\alpha_H}} \left(\frac{d\varepsilon}{d\alpha} \dot{\alpha} \frac{X_H}{U_1} \right) \bar{q}_H S_H X_H \end{array} \right. \Rightarrow$$

$C_{m_{\dot{\alpha}}}$ محاسبه

$$\boxed{C_{m_{\dot{\alpha}}} = -2C_{L_{\alpha_H}} \eta_H \bar{V}_H \frac{d\varepsilon}{d\alpha} \frac{X_H}{\bar{c}}}$$

• q -Stability Derivatives

$$\begin{aligned}
 F_{A_x} &= C_x \bar{q} S & \frac{\partial F_{A_x}}{\partial \left(\frac{q\bar{c}}{2U_1} \right)} \bigg|_1 &= \frac{\partial C_x}{\partial \left(\frac{q\bar{c}}{2U_1} \right)} \bigg|_1 \bar{q}_1 S + \cancel{\frac{\partial \bar{q}}{\partial \left(\frac{q\bar{c}}{2U_1} \right)} \bigg|_1 C_{x_1} S}^{=0} \\
 F_{A_z} &= C_z \bar{q} S & \frac{\partial F_{A_z}}{\partial \left(\frac{q\bar{c}}{2U_1} \right)} \bigg|_1 &= \frac{\partial C_z}{\partial \left(\frac{q\bar{c}}{2U_1} \right)} \bigg|_1 \bar{q}_1 S + \cancel{\frac{\partial \bar{q}}{\partial \left(\frac{q\bar{c}}{2U_1} \right)} \bigg|_1 C_{z_1} S}^{=0} \\
 M_A &= C_m \bar{q} S \bar{c} & \frac{\partial M_A}{\partial \left(\frac{q\bar{c}}{2U_1} \right)} \bigg|_1 &= \frac{\partial C_m}{\partial \left(\frac{q\bar{c}}{2U_1} \right)} \bigg|_1 \bar{q}_1 S \bar{c} + \cancel{\frac{\partial \bar{q}}{\partial \left(\frac{q\bar{c}}{2U_1} \right)} \bigg|_1 C_{m_1} S \bar{c}}^{=0}
 \end{aligned}$$

مدل سازی نیروها و گشتاورهای آیرودینامیکی - حالت اختلالی - کانال طولی

$$\frac{\partial F_{A_x}}{\partial \left(\frac{q\bar{c}}{2U_1} \right)} \bigg|_1 = \frac{\partial C_x}{\partial \left(\frac{q\bar{c}}{2U_1} \right)} \bigg|_1 \bar{q}_1 S \quad ; \quad C_x = -C_D + C_L \alpha \quad \bullet \text{ } q\text{-Stability Derivatives}$$

$$\frac{\partial C_x}{\partial \left(\frac{q\bar{c}}{2U_1} \right)} \bigg|_1 = -C_{D_q} + C_{L_q} \cancel{\alpha_1}^{=0} \Rightarrow \boxed{\frac{\partial F_{A_x}}{\partial \left(\frac{q\bar{c}}{2U_1} \right)} \bigg|_1 = -C_{D_q} \bar{q}_1 S}$$

$$\frac{\partial F_{A_z}}{\partial \left(\frac{q\bar{c}}{2U_1} \right)} \bigg|_1 = \frac{\partial C_z}{\partial \left(\frac{q\bar{c}}{2U_1} \right)} \bigg|_1 \bar{q}_1 S \quad ; \quad C_z = -C_L - C_D \alpha$$

$$\frac{\partial C_z}{\partial \left(\frac{q\bar{c}}{2U_1} \right)} \bigg|_1 = -C_{L_q} - C_{D_q} \cancel{\alpha_1}^{=0} \Rightarrow \boxed{\frac{\partial F_{A_z}}{\partial \left(\frac{q\bar{c}}{2U_1} \right)} \bigg|_1 = -C_{L_q} \bar{q}_1 S}$$

$$\frac{\partial M_A}{\partial \left(\frac{q\bar{c}}{2U_1} \right)} \bigg|_1 = \frac{\partial C_m}{\partial \left(\frac{q\bar{c}}{2U_1} \right)} \bigg|_1 \bar{q}_1 S \bar{c} \Rightarrow \boxed{\frac{\partial M_A}{\partial \left(\frac{q\bar{c}}{2U_1} \right)} \bigg|_1 = C_{m_q} \bar{q}_1 S \bar{c}}$$

• q -Stability Derivatives

جمع بندی در فرم ماتریسی

$$\left. \frac{\partial F_{A_x}}{\partial \left(\frac{q\bar{c}}{2U_1} \right)} \right|_1 = -C_{D_q} \bar{q}_1 S \quad ; \quad \left. \frac{\partial F_{A_z}}{\partial \left(\frac{q\bar{c}}{2U_1} \right)} \right|_1 = -C_{L_q} \bar{q}_1 S \quad ; \quad \left. \frac{\partial M_A}{\partial \left(\frac{q\bar{c}}{2U_1} \right)} \right|_1 = C_{m_q} \bar{q}_1 S \bar{c}$$

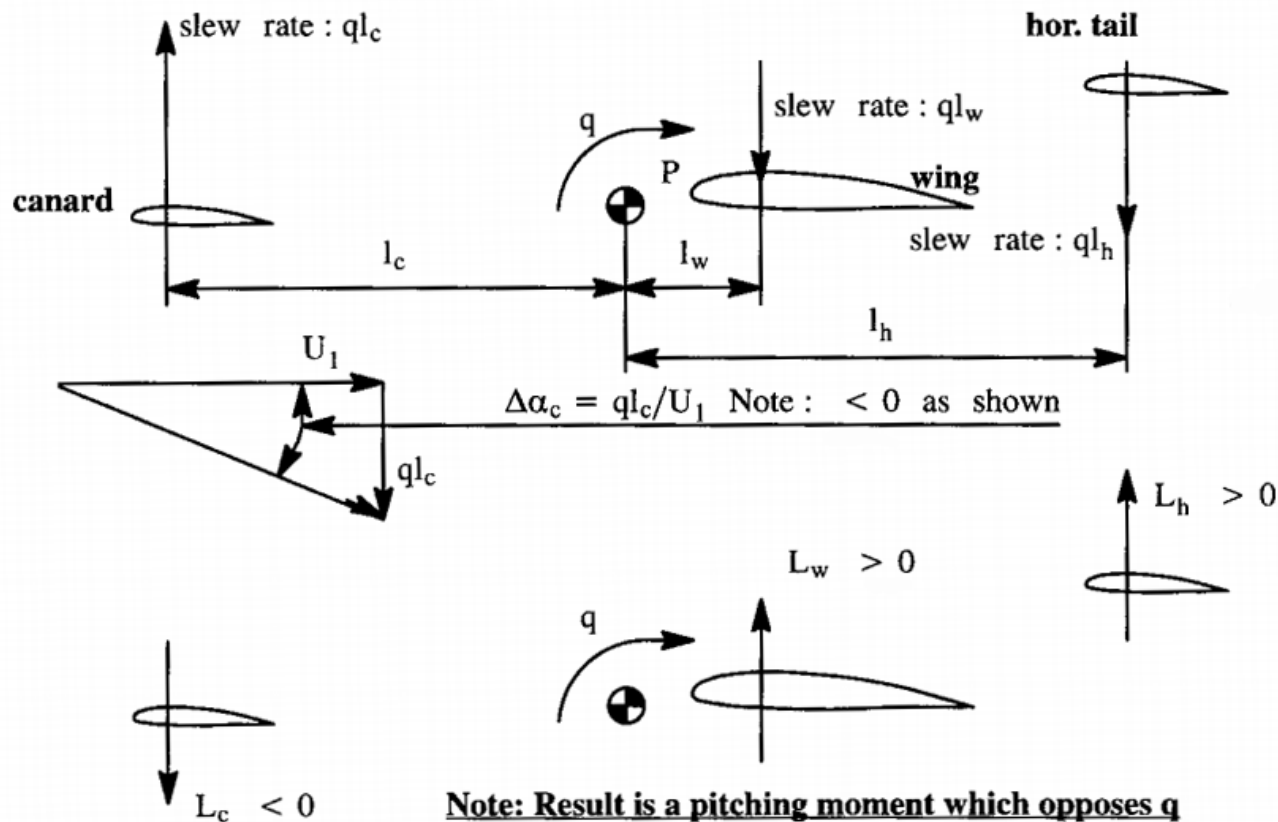
$$\begin{bmatrix} \frac{f_{A_x}}{\bar{q}_1 S} \\ \frac{f_{A_z}}{\bar{q}_1 S} \\ \frac{m_A}{\bar{q}_1 S \bar{c}} \end{bmatrix} = \begin{bmatrix} -C_{D_q} \\ -C_{L_q} \\ C_{m_q} \end{bmatrix} \left[\frac{q\bar{c}}{2U_1} \right]$$

• q -Stability Derivatives

$$C_{L_q} = C_{L_{qWB}} + C_{L_{qH}} \approx C_{L_{qH}}$$

محاسبه C_{L_q}

معمولاً برای غالب هواپیماها مرکز ثقل در نقطه‌ای از \bar{c} می‌باشد که برای آنها اعانهٔ بال در مقایسه با اعانهٔ دم افقی در C_{L_q} ، C_{m_q} ناچیز خواهد بود.



• q -Stability Derivatives

محاسبه C_{L_q}

در واقع جزء اصلی در تولید این مشتق، دم افقی است. با استفاده از فرضیه شبه دائم:

$$\left\{ \begin{array}{l} \text{Physics: } C_{L_{\alpha_H}} \Delta \alpha_H \bar{q}_H S_H = C_{L_{\alpha_H}} \left(\frac{X_H q}{U_1} \right) \bar{q}_H S_H \end{array} \right.$$

$$\bar{V}_H = \frac{X_H}{\bar{c}} \frac{S_H}{S}$$

ضریب حجمی دم افقی

$$\left\{ \begin{array}{l} \text{Model: } C_{L_q} \frac{q \bar{c}}{2U_1} \bar{q} S \end{array} \right. \rightarrow \boxed{C_{L_q} = 2C_{L_{\alpha_H}} \eta_H \bar{V}_H}$$

محاسبه C_{m_q}

مشابه قبل با استفاده از فرضیه شبه دائم، استفاده خواهد شد (معمول است که برای در نظر

گرفتن اثرات Wing-Body معادله مربوط به دم افقی را در فاکتور 1.1 ضرب می کنند):

$$\left\{ \begin{array}{l} \text{Physics: } -1.1C_{L_{\alpha_H}} \Delta \alpha_H \bar{q}_H S_H X_H = -1.1C_{L_{\alpha_H}} \left(\frac{X_H q}{U_1} \right) \bar{q}_H S_H X_H \end{array} \right.$$

$$\left\{ \begin{array}{l} \text{Model: } C_{m_q} \frac{q \bar{c}}{2U_1} \bar{q} S \bar{c} \end{array} \right. \rightarrow \boxed{C_{m_q} = -2.2C_{L_{\alpha_H}} \eta_H \bar{V}_H \frac{X_H}{\bar{c}}}$$

δ_E, δ_F -Stability Derivatives •

$$F_{A_x} = C_x \bar{q} S$$

$$F_{A_z} = C_z \bar{q} S$$

$$M_A = C_m \bar{q} S \bar{c}$$

$$\left. \frac{\partial F_{A_x}}{\partial \delta} \right|_1 = \left. \frac{\partial C_x}{\partial \delta} \right|_1 \bar{q}_1 S + \left. \frac{\partial \bar{q}}{\partial \delta} \right|_1^{=0} C_{x_1} S$$

$$\left. \frac{\partial F_{A_z}}{\partial \delta} \right|_1 = \left. \frac{\partial C_z}{\partial \delta} \right|_1 \bar{q}_1 S + \left. \frac{\partial \bar{q}}{\partial \delta} \right|_1^{=0} C_{z_1} S$$

$$\left. \frac{\partial M_A}{\partial \delta} \right|_1 = \left. \frac{\partial C_m}{\partial \delta} \right|_1 \bar{q}_1 S \bar{c} + \left. \frac{\partial \bar{q}}{\partial \delta} \right|_1^{=0} C_{m_1} S \bar{c}$$

δ_E, δ_F -Stability Derivatives •

جمع بندی در فرم ماتریسی

$$\left. \frac{\partial F_{A_x}}{\partial \delta} \right|_1 = -C_{D_\delta} \bar{q}_1 S \quad ; \quad \left. \frac{\partial F_{A_z}}{\partial \delta} \right|_1 = -C_{L_\delta} \bar{q}_1 S \quad ; \quad \frac{\partial M_A}{\partial \delta} = C_{m_\delta} \bar{q}_1 S \bar{c}$$

$$\begin{bmatrix} \frac{f_{A_x}}{\bar{q}_1 S} \\ \frac{f_{A_z}}{\bar{q}_1 S} \\ \frac{m_A}{\bar{q}_1 S \bar{c}} \end{bmatrix} = \begin{bmatrix} -C_{D_\delta} \\ -C_{L_\delta} \\ C_{m_\delta} \end{bmatrix} [\delta]$$

• جمع بندی نهایی در فرم ماتریسی

$$\begin{bmatrix} \frac{f_{A_x}}{\bar{q}_1 S} \\ \frac{f_{A_z}}{\bar{q}_1 S} \\ \frac{m_A}{\bar{q}_1 S \bar{c}} \end{bmatrix} = \begin{bmatrix} -(C_{D_u} + 2C_{D_1}) & -C_{D_\alpha} + C_{L_1} & -C_{D_{\dot{\alpha}}} & \underbrace{-C_{D_q}}_{\approx 0} & -C_\delta \\ -(C_{L_u} + 2C_{L_1}) & -C_{L_\alpha} - C_{D_1} & -C_{L_{\dot{\alpha}}} & -C_{L_q} & -C_{L_\delta} \\ C_{m_u} + 2C_{m_1} & C_{m_\alpha} & C_{m_{\dot{\alpha}}} & C_{m_q} & C_{m_\delta} \end{bmatrix} \begin{bmatrix} \frac{u}{U_1} \\ \alpha \\ \frac{\dot{\alpha} \bar{c}}{2U_1} \\ \frac{q \bar{c}}{2U_1} \\ \delta \end{bmatrix}$$

• کانال عرضی-سمتی

$$f_{A_y} = \sum \frac{\partial F_{A_y}}{\partial \bar{y}_i} \bar{y}_i; \quad l_A = \sum \frac{\partial L_A}{\partial \bar{y}_i} \bar{y}_i; \quad n_A = \sum \frac{\partial N_A}{\partial \bar{y}_i} \bar{y}_i$$

$$\bar{y}_i = \beta, \frac{\dot{\beta}b}{2U_1}, \frac{pb}{2U_1}, \frac{rb}{2U_1}, \delta_A, \delta_R$$

$$\left. \frac{\partial F_{A_y}}{\partial \bar{y}_i} \right|_1 = \left. \frac{\partial C_y}{\partial \bar{y}_i} \right|_1 \bar{q}_1 S + \left. \frac{\partial \bar{q}}{\partial \bar{y}_i} \right|_1^{=0} C_{y_1} S$$

$$\left. \frac{\partial L_A}{\partial \bar{y}_i} \right|_1 = \left. \frac{\partial C_l}{\partial \bar{y}_i} \right|_1 \bar{q}_1 S + \left. \frac{\partial \bar{q}}{\partial \bar{y}_i} \right|_1^{=0} C_{l_1} S$$

$$\left. \frac{\partial N_A}{\partial \bar{y}_i} \right|_1 = \left. \frac{\partial C_n}{\partial \bar{y}_i} \right|_1 \bar{q}_1 S \bar{c} + \left. \frac{\partial \bar{q}}{\partial \bar{y}_i} \right|_1^{=0} C_{n_1} S \bar{c}$$

• جمع بندی نهایی در فرم ماتریسی

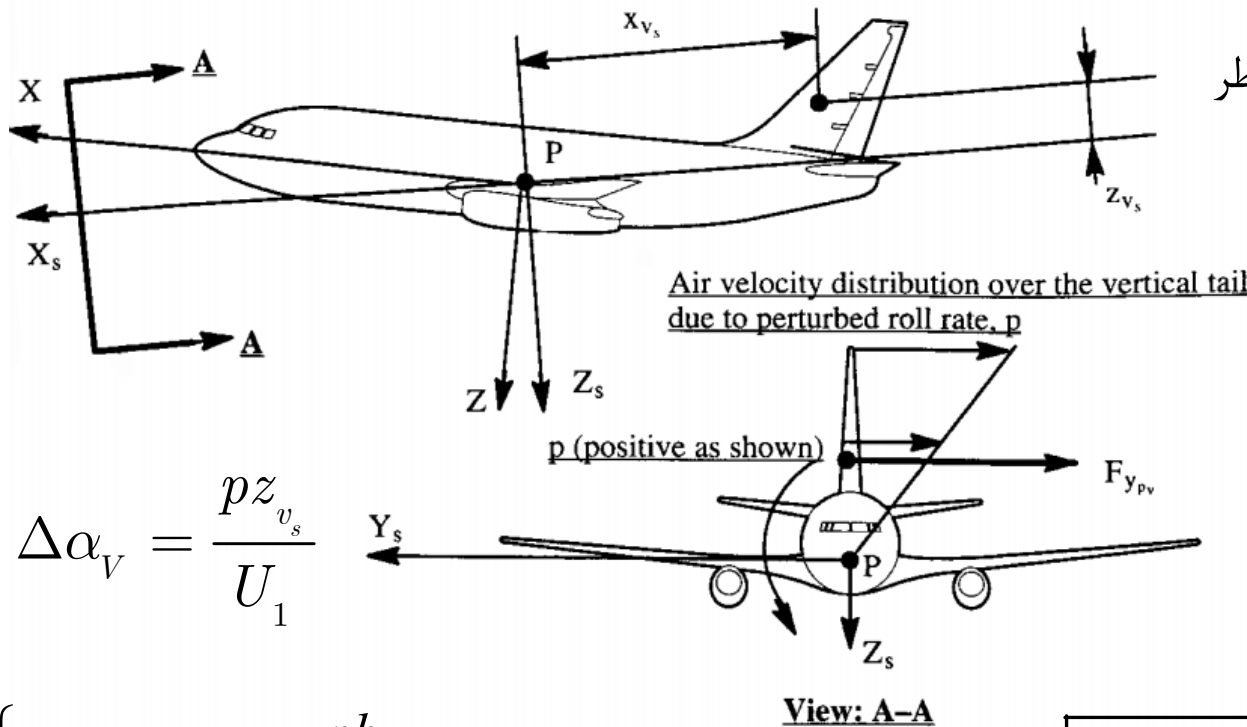
$$\begin{bmatrix} \frac{f_{A_y}}{\bar{q}_1 S} \\ \frac{l_A}{\bar{q}_1 S b} \\ \frac{n_A}{\bar{q}_1 S b} \end{bmatrix} = \begin{bmatrix} C_{y_\beta} & C_{y_{\dot{\beta}}} & C_{y_p} & C_{y_r} & C_{y_{\delta_A}} & C_{y_{\delta_R}} \\ C_{l_\beta} & C_{l_{\dot{\beta}}} & C_{l_p} & C_{l_r} & C_{l_{\delta_A}} & C_{l_{\delta_R}} \\ C_{n_\beta} & C_{n_{\dot{\beta}}} & C_{n_p} & C_{n_r} & C_{n_{\delta_A}} & C_{n_{\delta_R}} \end{bmatrix} \begin{bmatrix} \frac{\beta}{2U_1} \\ \frac{\dot{\beta} b}{pb} \\ \frac{r b}{2U_1} \\ \delta_A \\ \delta_R \end{bmatrix}$$

مدل سازی نیروها و گشتاورهای آیرودینامیکی - حالت اختلالی کانال عرضی-سمتی

• محاسبه برخی مشتقات کانال عرضی-سمتی

$$C_{y_p} = \overbrace{C_{y_{pWBH}}}^{\text{Tip Suction Effect}} + C_{y_{pV}} \simeq C_{y_{pV}}$$

محاسبه C_{y_p}



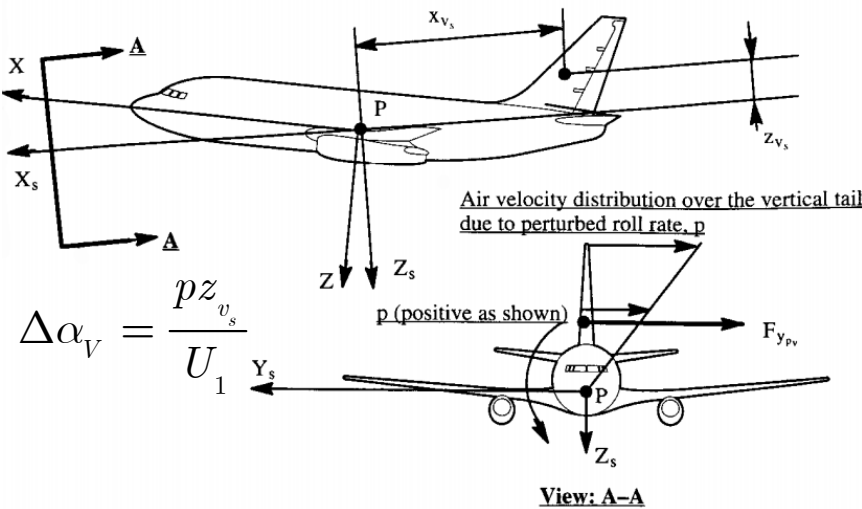
z_{v_s} : فاصله از مرکز فشار (به خاطر توزیع آن در اثر p) تا مرکز ثقل.

$$\Delta\alpha_V = \frac{pz_{v_s}}{U_1}$$

$$\left\{ \begin{array}{l} \text{Model: } C_{y_p} \frac{pb}{2U_1} \bar{q} S \\ \text{Physics: } -C_{L_{\alpha_V}} \Delta\alpha_V \bar{q}_V S_V = -C_{L_{\alpha_V}} \left(\frac{pz_{v_s}}{U_1} \right) \bar{q}_V S_V \end{array} \right. \rightarrow \boxed{C_{y_p} = -2C_{L_{\alpha_V}} \eta_V \frac{S_V}{S} \frac{z_{v_s}}{b}}$$

مدل سازی نیروها و گشتاورهای آیرودینامیکی - حالت اختلالی کانال عرضی-سمتی

• محاسبه برخی مشتقات کانال عرضی-سمتی $C_{l_{p_v}}$ محاسبه



$$\left\{ \begin{array}{l} \text{Model: } C_{l_p} \frac{pb}{2U_1} \bar{q} S b \\ \text{Physics: } -C_{L_{\alpha_V}} \left(\frac{pz_{v_s}}{U_1} \right) \bar{q}_V S_V z_{v_s} \end{array} \right.$$

$$\rightarrow C_{l_{p_V}} = -2C_{L_{\alpha_V}} \eta_V \frac{S_V}{S} \left(\frac{z_{v_s}}{b} \right)^2$$

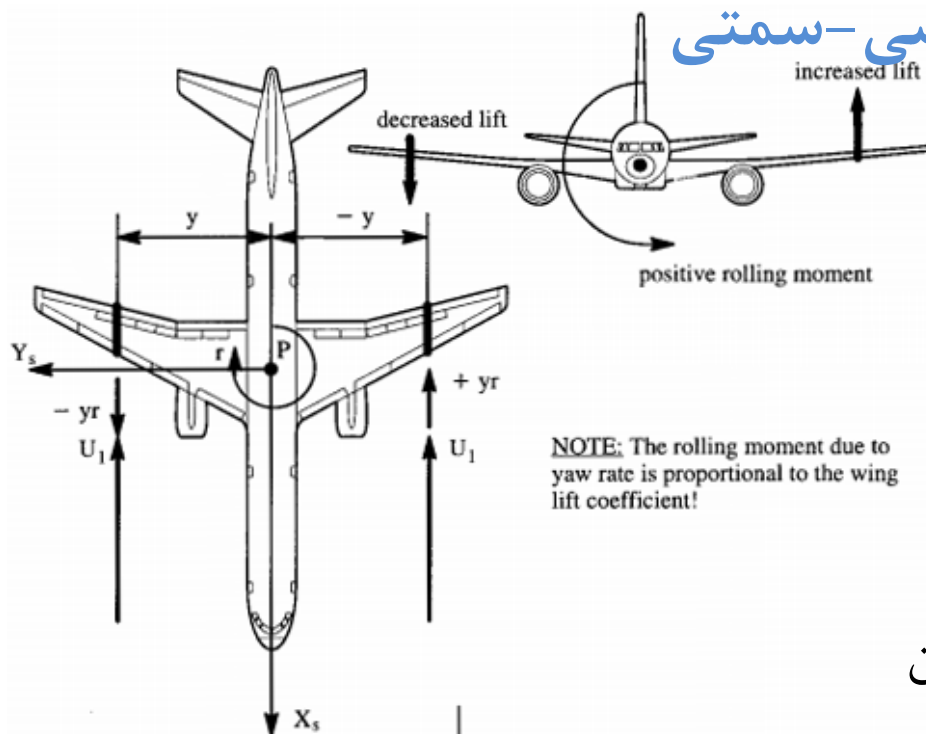
$$C_{l_p} = C_{l_{p_{WB}}} + C_{l_{p_H}} + C_{l_{p_v}} \quad C_{l_{p_H}} \text{ محاسبه}$$

$$\underbrace{\bar{C}_{l_{p_H}} \left(\frac{pb_H}{2U_1} \right) \bar{q}_H S_H b_H}_{\text{Local Model}} = \underbrace{C_{l_{p_H}} \left(\frac{pb}{2U_1} \right) \bar{q} S b}_{\text{Global Model}} \Rightarrow C_{l_{p_H}} = \bar{C}_{l_{p_H}} \frac{b_H^2}{b^2} \frac{S_H}{S}$$

مدل سازی نیروها و گشتاورهای آیرودینامیکی - حالت اختلالی کانال عرضی-سمتی

محاسبه برخی مشتقات کانال عرضی-سمتی

محاسبه C_{l_r}



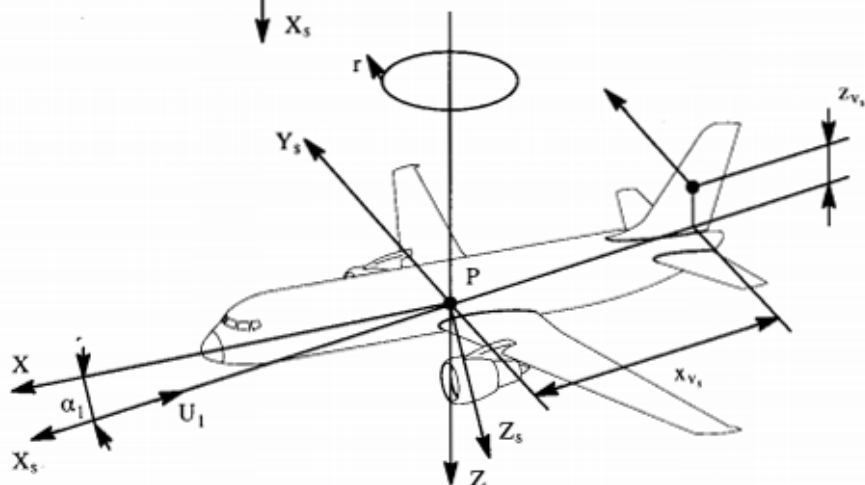
$$C_{l_r} = C_{l_{rWB}} + C_{l_{rH}} + C_{l_{rV}}$$

$$C_{l_{rV}} = 2C_{L_{\alpha V}} \frac{x_{v_s} z_{v_s}}{b^2} \eta_V \frac{S_V}{S}$$

معمولاً C_{l_r} هواپیما مثبت می باشد که در آن

اعانه WB معمولاً مثبت است. اعانه یا سهم دم

افقی در برابر بقیه ناچیز است.



مدل سازی نیروها و گشتاورهای آیرودینامیکی - حالت اختلالی - کانال عرضی-سمتی

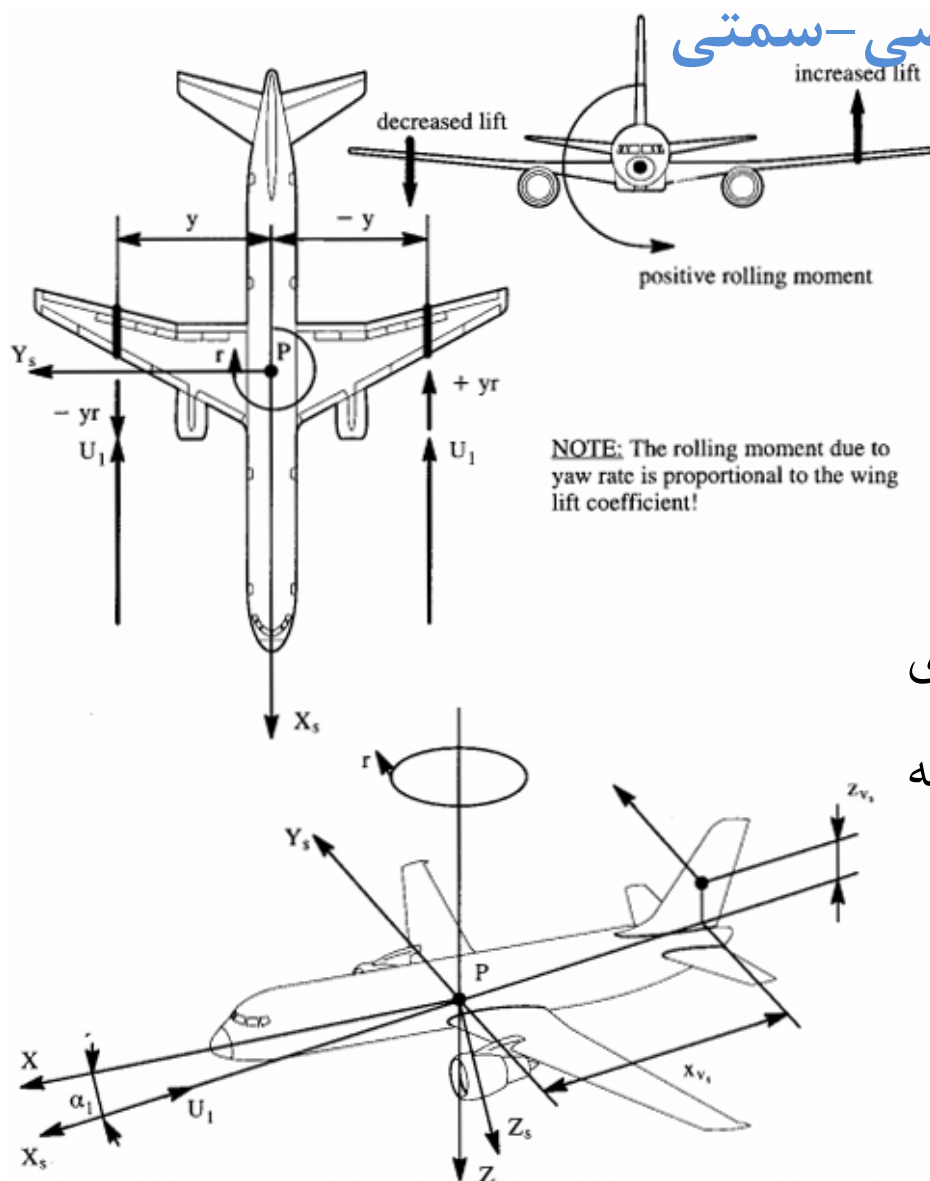
• محاسبه برخی مشتقات کانال عرضی-سمتی

محاسبه Yaw Damping Derivative C_{n_r}

$$C_{n_r} = C_{n_{rWB}} + C_{n_{rH}} + C_{n_{rV}}$$

$$C_{n_{rV}} = -2C_{L_{\alpha V}} \left(\frac{x_{v_s}^2}{b^2} \right) \eta_V \frac{S_V}{S}$$

این مشتق تاثیر مهمی بر کیفیت های پروازی هواپیما دارد. اعانه یا سهم دم افقی در برابر بقیه ناچیز است.



• نیروها و گشتاورهای اختلالی مربوط به تراست

در این حالت صرفاً متغیرهای u ، α و β در ایجاد نیرو و ممان‌های منبعث از تراست مهم هستند. بدین ترتیب می‌توان نوشت:

$$\begin{cases} F_{T_x} = C_{T_x} \bar{q} S \\ F_{T_z} = C_{T_z} \bar{q} S \\ M_T = C_{m_T} \bar{q} S \bar{c} \end{cases} ; \begin{cases} F_{T_y} = C_{T_y} \bar{q} S \\ L_T = C_{l_T} \bar{q} S b \\ N_T = C_{n_T} \bar{q} S b \end{cases}$$

Longitudinal:

$$f_{T_x} = \frac{\partial F_{T_x}}{\partial \left(\frac{u}{U_1} \right)} \left(\frac{u}{U_1} \right) + \frac{\partial F_{T_x}}{\partial \alpha} \alpha; \quad f_{T_z} = \frac{\partial F_{T_z}}{\partial \left(\frac{u}{U_1} \right)} \left(\frac{u}{U_1} \right) + \frac{\partial F_{T_z}}{\partial \alpha} \alpha; \quad m_T = \frac{\partial M_T}{\partial \left(\frac{u}{U_1} \right)} \left(\frac{u}{U_1} \right) + \frac{\partial M_T}{\partial \alpha} \alpha$$

Lateral-Directional:

$$f_{T_y} = \frac{\partial F_{T_y}}{\partial \beta} \beta, \quad l_T = \frac{\partial L_T}{\partial \beta} \beta, \quad n_T = \frac{\partial N_T}{\partial \beta} \beta$$

u -Stability Derivatives •

$$F_{T_x} = C_{T_x} \bar{q} S$$

$$F_{T_z} = C_{T_z} \bar{q} S$$

$$M_T = C_{m_T} \bar{q} S \bar{c}$$

$$\frac{\partial F_{T_x}}{\partial \left(\frac{u}{U_1} \right)} = \frac{\partial C_{T_x}}{\partial \left(\frac{u}{U_1} \right)} \bar{q}_1 S + C_{T_{x_1}} \rho U_1^2 S = \left(C_{T_{x_u}} + 2C_{T_{x_1}} \right) \bar{q}_1 S$$

$$\frac{\partial F_{T_z}}{\partial \left(\frac{u}{U_1} \right)} = \frac{\partial C_{T_z}}{\partial \left(\frac{u}{U_1} \right)} \bar{q}_1 S + C_{T_{z_1}} \rho U_1^2 S = \left(C_{T_{z_u}} + 2C_{T_{z_1}} \right) \bar{q}_1 S$$

$$\frac{\partial M_T}{\partial \left(\frac{u}{U_1} \right)} = \frac{\partial C_{M_T}}{\partial \left(\frac{u}{U_1} \right)} \bar{q}_1 S + C_{M_{T_1}} \rho U_1^2 S = \left(C_{M_{T_u}} + 2C_{M_{T_1}} \right) \bar{q}_1 S$$

• α -Stability Derivatives

$$F_{T_x} = C_{T_x} \bar{q} S$$

$$F_{T_z} = C_{T_z} \bar{q} S$$

$$M_T = C_{m_T} \bar{q} S \bar{c}$$

$$\frac{\partial F_{T_x}}{\partial \alpha} = \frac{\partial C_{T_x}}{\partial \alpha} \bar{q}_1 S + C_{T_{x_1}} \left. \frac{\partial \bar{q}_1}{\partial \alpha} \right|_1 \bar{q}_1 S = C_{T_{x_\alpha}} \bar{q}_1 S$$

$$\frac{\partial F_{T_z}}{\partial \alpha} = \frac{\partial C_{T_z}}{\partial \alpha} \bar{q}_1 S + C_{T_{z_1}} \left. \frac{\partial \bar{q}_1}{\partial \alpha} \right|_1 \bar{q}_1 S = C_{T_{z_\alpha}} \bar{q}_1 S$$

$$\frac{\partial M_T}{\partial \alpha} = \frac{\partial C_{M_T}}{\partial \alpha} \bar{q}_1 S + C_{M_{T_1}} \left. \frac{\partial \bar{q}_1}{\partial \alpha} \right|_1 \bar{q}_1 S = C_{M_{T_\alpha}} \bar{q}_1 S$$

و به طور مشابه برای β

مدل سازی نیروها و گشتاورهای آیرودینامیکی - حالت اختلالی مربوط به تراست

• جمع بندی نهایی در فرم ماتریسی

$$\begin{bmatrix} f_{T_x} / \bar{q}_1 S \\ f_{T_z} / \bar{q}_1 S \\ m_T / \bar{q}_1 S \bar{c} \end{bmatrix} = \begin{bmatrix} C_{T_{x_u}} + 2C_{T_{x_1}} & \overbrace{C_{T_{x_\alpha}}}^{\approx 0} \\ \overbrace{C_{T_{z_u}} + 2C_{T_{z_1}}}^{\approx 0} & \overbrace{C_{T_{z_\alpha}}}^{\approx 0} \\ C_{m_{T_u}} + 2C_{m_{T_1}} & C_{m_{T_\alpha}} \end{bmatrix} \begin{Bmatrix} \frac{u}{U_1} \\ \alpha \end{Bmatrix} \Rightarrow \boxed{\begin{bmatrix} f_{T_x} / \bar{q}_1 S \\ f_{T_z} / \bar{q}_1 S \\ m_T / \bar{q}_1 S \bar{c} \end{bmatrix} = \begin{bmatrix} C_{T_{x_u}} + 2C_{T_{x_1}} & 0 \\ 0 & 0 \\ C_{m_{T_u}} + 2C_{m_{T_1}} & C_{m_{T_\alpha}} \end{bmatrix} \begin{Bmatrix} \frac{u}{U_1} \\ \alpha \end{Bmatrix}}$$

$$\begin{bmatrix} f_{T_y} / \bar{q}_1 S \\ l_T / \bar{q}_1 S b \\ n_T / \bar{q}_1 S b \end{bmatrix} = \begin{bmatrix} \overbrace{C_{T_{y_\beta}}}^{\approx 0} \\ \overbrace{C_{l_{T_\beta}}}^{\approx 0} \\ C_{n_{T_\beta}} \end{bmatrix} \{\beta\} \Rightarrow \boxed{\begin{bmatrix} f_{T_y} \\ l_T \\ n_T \end{bmatrix} = \begin{bmatrix} 0 \\ 0 \\ C_{n_{T_\beta}} \end{bmatrix} \{\beta\}}$$

مدل سازی نیروها و گشتاورهای آیرودینامیکی - حالت اختلالی

• جمع بندی نهایی مشتقات

	Perturbed Variables							
Forces and moments	u	v	w	$\beta = \frac{v}{U_1}$	$\alpha = \frac{w}{U_1}$	p	q	r
$F_{A_x} + F_{T_x}$	$\frac{\partial(F_{A_x} + F_{T_x})}{\partial u} < 0$ $\approx C_{D_u} > 0$			تعریف پایداری دائم استاتیکی: این پایداری به منزله قدرت یا تمایل هواپیما در به وجود آوردن نیرو و ممان هایی است که مستقیماً با اختلالات لحظه ای (نسبت به یک شرایط پروازی دائم) مخالفت کنند.				
$F_{A_y} + F_{T_y}$		$\frac{\partial(F_{A_y} + F_{T_y})}{\partial v} < 0$ $\approx C_{y_\beta} < 0$						
$F_{A_z} + F_{T_z}$			$\frac{\partial(F_{A_z} + F_{T_z})}{\partial w} < 0$ $\approx C_{L_\alpha} > 0$					
$L_A + L_T$				$\frac{\partial(L_A + L_T)}{\partial \beta} < 0$ $\approx C_{l_\beta} < 0$		$\frac{\partial(L_A + L_T)}{\partial p} < 0$ $\approx C_{l_p} < 0$		
$M_A + M_T$	$\frac{\partial(M_A + M_T)}{\partial u} > 0$ $\approx C_{m_u} > 0$				$\frac{\partial(M_A + M_T)}{\partial \alpha} < 0$ $\approx C_{m_\alpha} < 0$		$\frac{\partial(M_A + M_T)}{\partial q} < 0$ $\approx C_{m_q} < 0$	
$N_A + N_T$				$\frac{\partial(N_A + N_T)}{\partial \beta} > 0$ $\approx C_{n_\beta} > 0$				$\frac{\partial(N_A + N_T)}{\partial r} < 0$ $\approx C_{n_r} < 0$
Notes: 1. All perturbations are taken relative to a steady state: $U_1, V_1, W_1, P_1, Q_1, R_1$ 2. Blanks in the table indicate that there is no stability consequence								

پایان فصل